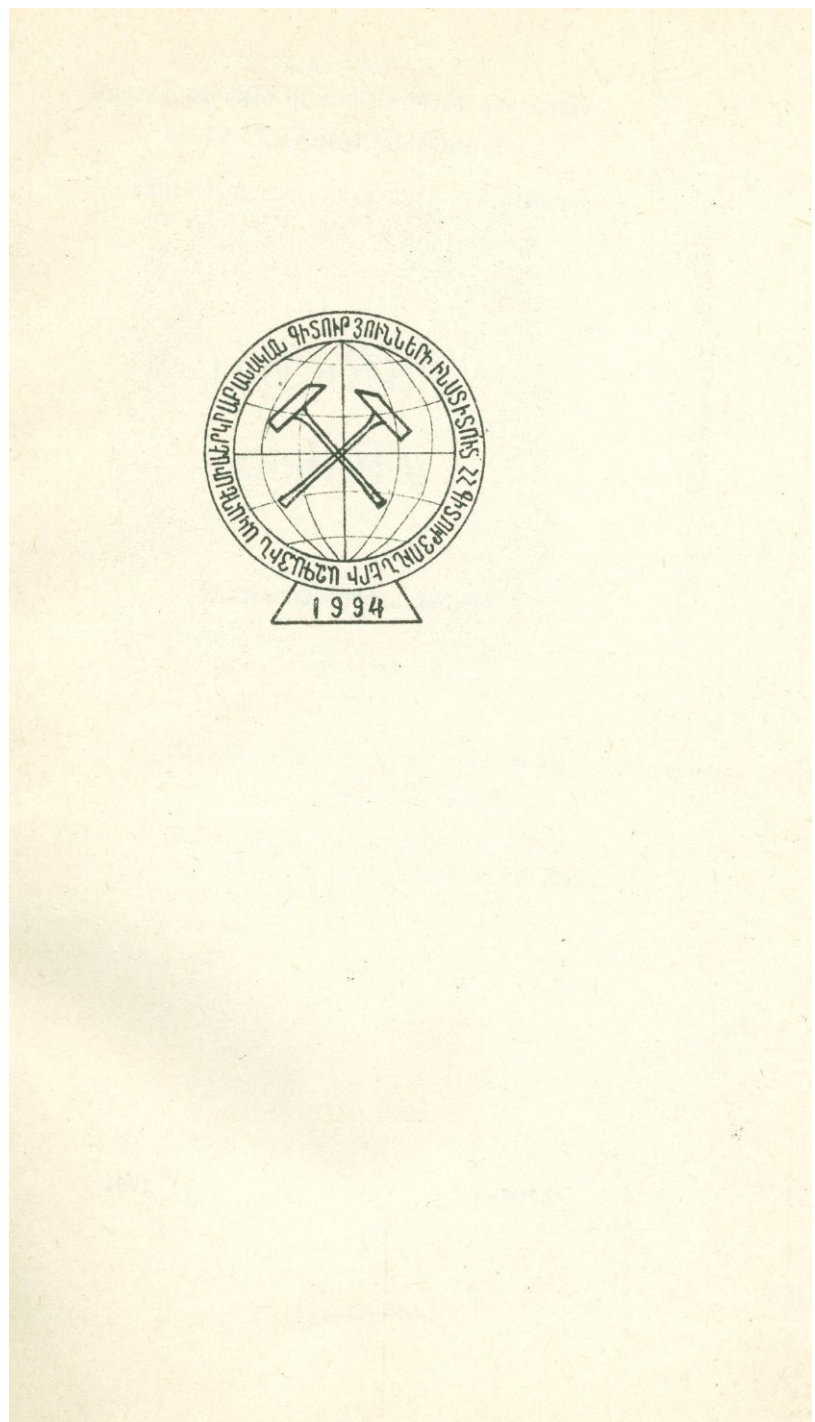


НАЦИОНАЛЬНАЯ АКАДЕМИЯ НАУК
РЕСПУБЛИКИ АРМЕНИЯ
ИНСТИТУТ ГЕОЛОГИЧЕСКИХ НАУК

**ГЕОЛОГИЯ
СЕВАНА**

ЕРЕВАН

1994



ՀԱՅԱՍՏԱՆԻ ՀԱՆՐԱՊԵՏՈՒԹՅԱՆ ԳԻՏՈՒԹՅՈՒՆՆԵՐԻ
ԱԶԳԱՅԻՆ ԱԿԱԴԵՄԻԱ

ԵՐԱՐԱԲԱՆԱԿԱՆ ԳԻՏՈՒԹՅՈՒՆՆԵՐԻ ԽԱՍՏԱՏՈՒԹՅՈՒՆ

ՄԵՎԱՆԻ ԵՐԱՐԱԲԱՆՈՒԹՅՈՒՆԸ

ԵՐԵՎԱՆ

1994

Посвящается памяти
КОНСТАНТИНА НИКОЛАЕВИЧА ПАФЕНГОЛЬЦА
(1893-1983) - выдающегося ученого-
геолога, одного из первых исследо-
вателей геологии Севана.

Книгу рекомендовал к печати рецензент, проф. Вегуни А. Т.

В монографии рассмотрены состав и строение, особенности геохимии донных осадков, вопросы их стратиграфии, а также миоценовой молассы прибрежных равнин, строение формаций горного обрамления озера. Обсуждаются вопросы сейсмотектоники, геоморфологии, а также некоторые полезные ископаемые. Рассмотрены в свете новых геологического-геофизических данных условия возникновения и развития озерной котловины, а также ее обрамления. Монография предназначена для специалистов в области региональной геологии, литологии и тектоники.

В В Е Д Е Н И Е

Основы геологических знаний о бассейне озера Севан заложены в конце 20-х и в начале 30-х годов исследованиями комплексной геолого-гидрографической экспедиции АН СССР под руководством академика Левинсона-Лессинга Ф., а также геосъемочными работами Паффенгольца К.Н.

В предвоенные и послевоенные годы в бассейне озера проводились исследования по стратиграфии меловых отложений (Паффенгольц К.Н., Ренгартен В.П., Акопян В.Т. и др.); третичных отложений (Паффенгольц К.Н., Габриелян А.А., Саркисян О.А., Григорян С.М. и др.); по тектонике (Паффенгольц К.Н., Милановский Е.Е., Габриелян А.А., Асланян А.Т. и др.); по петрографии (Татевосян Т.Ш., Абовян С.Б., Соловкин А.Н. и др.).

Тектоника восточной части басс.оз. Севан многократно обсуждалась по мере разработки гипотезы аллохтонного размещения офиолитов в структуре континентов (Пейве А.В., Книппер А.Л., Ломизе М.Г. и др.).

С конца 30-х годов и в послевоенные годы проводились исследования по литологии и палеогеографии мезо-кайнозоя (Леснтьев Л.Н., Тихомиров В.В., Хайн В.Е., Ренгартен В.П., Габриелян А.А.), специализированные литологические исследования меловых и палеогеновых отложений начали проводиться с середины 50-х годов (Сатиан М.А. Степанян Ж.О., Саркисян О.А.). В начале 60-х годов завершились исследования минералогии и некоторых особенностей химизма обнажившихся прибрежных осадков голоцен (Саркисян С.Г., Гаспарян И.Г.), в последующие годы были продолжены эти исследования в центральной части котловины с бурением вибропоршневых трубок (Сатиан М.А., Жамагорцян В.Н.). Изучались вопросы стратиграфии голоцен (Саядян Ю.В. и др.). Особо много новой геологической информации дало бурение гидрогеологических и структурных скважин в предгорно-равнинной части бассейна озера (Вегуни В.Т. и др.). Значительный вклад в геологию бассейна внесен геосъемочными работами на площади обрамления (Чубарян Г.А., Харәзян Э.Х., Амарян В.М. и др.), изучением петрологии и вулканологии кайнозойского вулканизма (Казарян Г.А., Карапетян К.И. и Карапетян С.Г., Джрабашян Р.Т. и др.). Вдоль восточной и южной частей озера проведено сейсмическое профилирование (ст. "Земля" и "Черепаха", Егоркина Г.Л., Осипова И.Б. и др.), позволившее рассмотреть глубинное строение коры, оказавшееся особо своеоб-

разным в олиолитовых пересечениях.

В связи с обилием новой геологической информации возникла неотъемлемая необходимость вновь оценить геологические особенности строения озерного бассейна, причины его возникновения и колебания уровня, сейсмоактивность бассейна. Все эти проблемы имеют прямое отношение к комплексному освоению и экологической защите озерного бассейна, особенно остро вставшим в связи с увеличением численности населения в городах Раздан, Камо, Мартуни, Варденис, также как в связи с волной беженцев из соседней республики. Должны быть переоценены поэтому возможности рационального использования известных промышленных месторождений в обрамлении озера и создания местных промыслов, в том числе и горных, притом без значительного ущерба для экологии бассейна.

Сегодняшний этап исследований геологии басс.оз. Севан особо важен для оценки воздействия человека на природу озерного бассейна, сохранения озера - крупнейшего резервуара пресной воды Закавказья, источника уникальных рыбных богатств.

Монография составлена коллективом авторов Института геологических наук НАН РА и "Госупрнедра".

Проблема геологии басс.оз. Севан и далее останется одной из наиболее актуальных в геологии и экономике республики, и надо полагать, что приведенные материалы и результаты их обсуждения будут полезны в последующих исследованиях и планировании работ научно-исследовательского и прикладного значения.

Авторы благодарят Е.Е.Милановского, А.Т.Вегуни, ознакомившихся с рукописью, за критические замечания и пожелания.

Глава I. ГЕОЛОГИЧЕСКОЕ СТРОЕНИЕ И ОСАДКИ АКВАТОРИИ ОЗЕРА СЕВАН

Изучение осадков на глубину от дна на 4,5 м стало возможным с получением в распоряжение Института водных проблем бурильного вибропоршневого аппарата, конструкция и возможности бурения которого подробно рассмотрены /38/. Бурение дна озера было проведено для оценки грунтов 20-й изобаты, которая рассматривалась в 60-ые годы как наиболее подходящая для обводного канала в схеме спуска уровня озера. В основном бурение потому было проведено на площади Б.Севана, где планировалось сооружение обводного канала. Единичные трубы были пробурены на М.Севане и на Нор-Баязетском взлете. Обработка кернового материала в целях изучения литологии проводилась в Институте геологических наук. Радиологические датировки колонки осадков, к сожалению, не были сделаны, и возраст в первом приближении определялся, исходя из сезонной микрослоистости /12/.

I.I. О разрезе донных осадков акватории оз.Севан

Бурение дна вибропоршневыми трубками длиной 4,5 м наиболее подробно было осуществлено в акватории Б.Севана, где пробы были отобраны по 8 створам на глубинах 5, 10 и 20 м, и был пройден перечный профиль через котловину (рис.2).

В низах разреза трубками чаще вскрываются коричневато-серые и желтовато-серые глины (пачка I), плотные, сильно комковатые, нередко высококарбонатные (до 30% CaCO_3), содержащие прослои полимиктовых песков. Вскрытая их мощность достигает первых нескольких десятков см. Выше следуют заметно менее литифицированные зеленовато-серые глины, алевритистые, с карбонатностью до 10-15%, сменяющиеся в верхней части песками и замещаемые ими к берегу (пачка II). Выше по разрезу следуют черные, при высыхании темно-серые, пластичные глины (пачка III), насыщенные органическим веществом и содержащие значительную примесь диатомей, в разной мере алевритистые. Они менее карбонатные (до 10-12%). По направлению к берегу их сменяют пески.

Разрез трубок, суммарной мощностью до 4,5 м, завершается глинисто-песчаными, темно-серыми илиами, мощностью до 0,3-0,5 м, особенно разжиженными в верхней части и замещаемыми песками к берегу.

Мощность зеленовато-серых и черных глин варьирует от нескольких десятков см до 2-2,5 м, размещение их по дну озера имеет до-

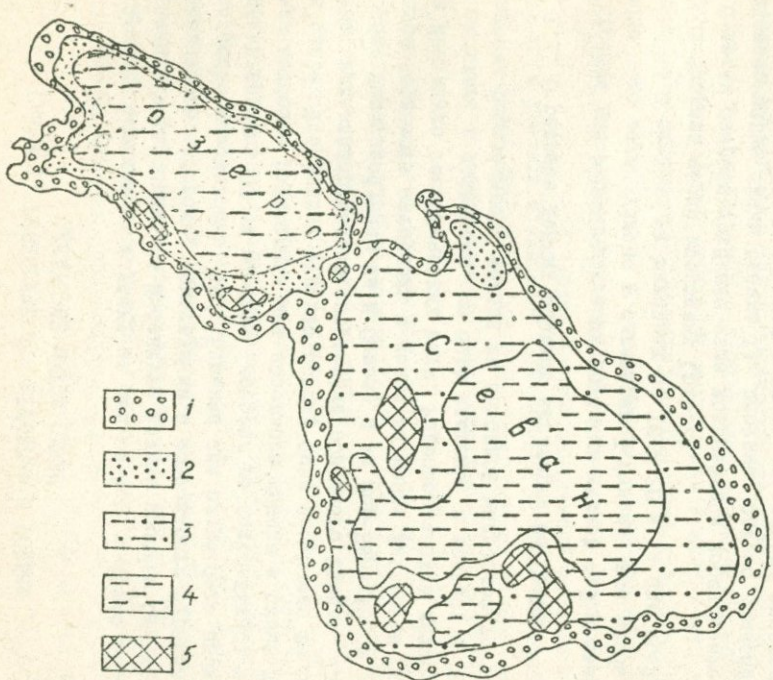


Рис. I. Схема размещения современных донных осадков оз. Севан.

1. Грубообломочные и псамитовые отложения.
2. Преимущественно псамитовые отложения.
3. Преимущественно алевритовые отложения.
4. Преимущественно глинистые отложения.
5. Выходы травертинов (кристаллов кальцита).

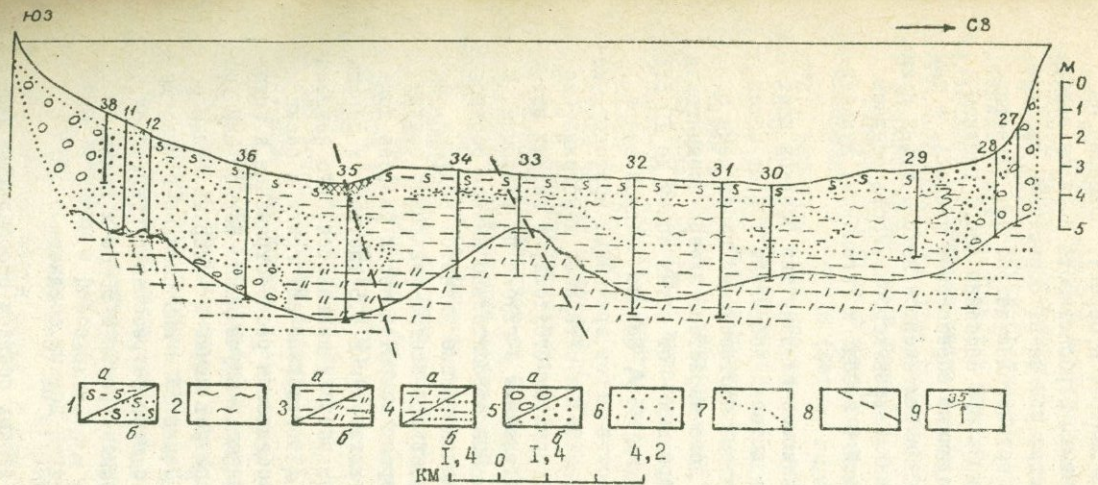


Рис. 2. Геологический разрез через впадину Б. Севана (с. с. Еранос-Гейсу)
 1 - или песчано-глинистые; 2 - глины черные, битуминозные, пластичные, микрослоистые, с обильными остатками диатомовых; 3а - глины темно-серые и зеленовато-серые, умеренно пластичные, алевритистые, б - глинистые алевриты; 4, а - глины коричневато-серые, плотные, компактные и брекчированные, алевритистые, б - желтовато-коричневые глинистые алевриты и пески, плохо отсортированные; 5, а - гравий и галечник полимиктовые, б - грубоцементовые, весьма плохо отсортированные, слабо карбонатные, зеленовато-серые полимиктовые отложения; 6 - пески зеленовато-серые, полимиктовые, средне-тонкозернистые, умеренно отсортированные; 7 - границы пачек и латеральные переходы; 8 - разломы; 9 - места заложения трубок и их номера. Внизу масштаб горизонтальный.

вольно прихотливый характер. Общий план распределения озерных осадков вскрытого интервала примерно соответствует современному: глинистые осадки сосредоточены в центре, к берегу, примерно на изобате 20 м, они сменяются песками. Карбонатность осадков наиболее высока вдоль восточного берега, там же на обрамлении имеются протяженные выходы микритовых и органогенно-детритовых известняков позднего сенона и палеогена. На юге бассейна озера развиты преимущественно вулканогенно-осадочные образования миоцене, а также плиоцен-четвертичные лавы, в ущельях имеются выходы туфов и андезито-базальтовых лав эоцене. Наименьшая карбонатность осадков определяется в полосе, примыкающей с запада к Гегамскому вулканическому нагорью (до 0-10%).

Глинистые отложения, составляющие главный тип осадков центральной части котловины, площадь которой достигает 70% от общей площади Б.Севана, как видно, связаны постепенными переходами с песками прибрежья, в переходной зоне нарастает алевро-псаммитовая примесь, а также выход тяжелой фракции - от сотых долей до 10-15%.

По прежним представлениям /54, 55/, баланс осадков озера складывается из обломочного вещества из рек, временных притоков, селей (56%), из золового материала (21%) и материала хемогенно-биогенного (23%). Между тем в этих расчетах отсутствует важный источник - минерализованные воды, поступающие с глубин по разломам. К этому вопросу мы вернемся далее. При относительно низком соотношении В/Л (до 3,4) обломочное осадконакопление является ведущим, в его спектре существенное место занимают алевро-пелитовые осадки. По микрослоистости подсчитан возраст вскрытой части разреза донных осадков в центральной части котловины в 3,5 тыс. лет (в первом приближении). По изученному 4,5 м разрезу выявляется, что наименьший уровень озера, стадию "луж" /19/ обозначают глины и пески пачки I. Ее полная мощность и особенности распространения в акватории остаются еще далеко не полностью изученными. Наибольший уровень стояния озерных вод характеризует пачка II - черные глины с высоким содержанием диатомовых. Пачка III - или песчано-глинистые - это важный рубеж развития озера с явно регressiveвой тенденцией, усугубленной искусственным снижением уровня в 50-60-х годах.

1.2. Минеральный состав донных осадков

Отмечалось, что в строении донных осадков обособляются (сверху-вниз): или, глины черные, глины зеленовато-серые и пески, гли-

ны коричневые и алевролиты.

Илы – наиболее распространенный тип осадков в верхах разрезов трубок южной и юго-восточной частей озера. Максимальная мощность их достигает 2,5 м. Внешне илы представляют собой жижу темно-серого цвета, которая при высыхании становится светлее. Нередки в них обуглившиеся растительные остатки и разные органические обломки. Гранулометрически выделяются илы песчаные, алевритовые и пелитовые. Содержание части породы, растворимой в 10% соляной кислоте, колеблется от 0 до 15%, иногда превышая и 30%. Выход тяжелой фракции варьирует в пределах 0,01-7,2%.

Минеральный состав илов характеризуется следующей ассоциацией минералов: пироксены (авгит, гиперстен, значительно меньше диопсид), амфиболов (при постоянном преобладании базальтической роговой обманки над обыкновенной, в подчиненном значении – актинолит, tremolit). Почти всегда присутствуют биотит, магнетит и в небольшом количестве ильменит. В илах скважин, пробуренных по восточному побережью озера, наряду с вышеуказанными минералами, отмечаются хромит, пикотит, оливин и иногда серпентин, увеличивается содержания актинолита и tremolита.

Глины черные залегают под илами. Это пластичные осадки черного цвета с карбонатностью от 2,0 до 30%, чаще – 2,5-10%. Выход тяжелой фракции изменяется от 0,01 до 5%. В низах пачки отмечается дегидратация, цементация и уплотнение глин. Как правило, в них песчано-алевритовая примесь достигает 35-40%.

В минеральном составе черных глин ведущими минералами являются пироксены и амфиболовы. Однако в отличие от илов среди амфиболов равнозначное значение (5-10%) имеют как базальтическая роговая обманка, так и обыкновенная. Минеральный состав глин юго-западной и северо-восточной частей имеет некоторые отличия. На северо-востоке содержание пироксенов и амфиболов значительно уменьшается. Одновременно заметно увеличивается количество актинолита и tremolита, появляются оливин и пикотит. Северные разрезы характеризуются также пониженным содержанием полевых шпатов и вулканических стекол. В глинах юго-западной части обнаруживается повышенное содержание гиперстена (до 25%), постоянно отмечается энstatит.

Пески выявлены в разрезах трубок в зоне склона, переходной от dna к берегу. Лишь на Ю-З, по створу устья р. Аргичи пески достигают центральной части озера. В строении песчаных осадков склонов немаловажную роль играют крупно- и грубообломочные породы (гравий, галька, щебень), залегающие в основании песков, а иногда

* Здесь и далее – фракция 0,1-0,25м.

чредующиеся с ними. Общая мощность песчаных отложений достигает 2 м. Окраска песков серая до темно-серой, почти черной, а также коричневато-желтая и зеленовато-серая. В песках нередко встречаются органогенный дентрит и ракушки, весьма часты растительные остатки. Пески крупно-, средне-, мелко- и тонкозернистые, наиболее распространены мелкозернистые пески. Карбонатность песков изменяется от 0 до 15%, иногда достигая 35-45%. Выход тяжелой фракции в пределах 0,08-5%, изредка до 10%.

При иммерсионном исследовании в тяжелой фракции песков выделяются сквозные минералы: авгит, диопсид, гиперстен, базальтическая роговая обманка, роговая обманка обыкновенная, актинолит, tremolit. Распределены они неравномерно; для песков юго-западного и южного побережий характерна роговообманково-гиперстено-авгитовая ассоциация, широкое развитие имеет биотит; к северо-востоку увеличивается количество оливин, магнетита, ильменита, никотита и циркона.

В песках, размещенных на более глубоких отметках склона, вдоль северо-восточного побережья господствует роговообманково-биотит-авгитовая ассоциация, постоянно отмечается актинолит, tremolit, эпидот, цоизит, оливин, магнетит, никотит, хромит. Каже разведена роговообманково-гиперстено-авгитовая ассоциация. Но на этом участке почти исчезают актинолит, tremolit, магнетит, ильменит, никотит.

Коричневые алевро-песчаные глины и алевролиты пачки I развиты в юго-западной части озера. Это плотные породы, в значительной степени пропитанные гидроокислями железа. Карбонатность их колеблется в пределах 15-20%, в некоторых образцах повышается до 30-35%. Выход тяжелой фракции изменяется от 0,01 до 1,5%. Глины более глубокой части склона по терригенной составляющей относятся к эпидот-цоизит-пироксеновой ассоциации. Пироксены представлены преимущественно авгитом, реже диопсидом и гиперстеном. Наблюдается и уменьшение полевых шпатов и вулканических стекол, повышенное содержание имеет пирит.

Со времени накопления коричневых глин до отложения черных глин питающие провинции бассейна озера существенных изменений не претерпели.

Донные осадки сравнительно с прибрежными отложениями сходны по минеральному составу.

Дополним эти данные результатами шлихового анализа донных осадков. В лаборатории Управления геологии Армении (ПО "Армгео-

логия") изучено 55 образцов песков, алевритов и глин донных осадков весом до 300 г каждая (аналитик-минералог Р.В.Абрамян). Осадки отобраны из западной половины оз. Севан, в акватории между г. Камо и с. Еранос. Ими охарактеризованы все пачки вскрытого трубками разреза. Единичные пробы взяты из района, примыкающего к устью р. Аргичи и к восточному берегу (3 пробы).

Результаты минерального анализа рассмотрены по фракциям.

Н е з е л е к т р о м а г н и т на я ф р а к ц и я . В составе первой пачки преобладают апатит (50-80%) и циркон (до 20%), редко встречаются пирит и коллофан. Содержание пирита возрастает в пачках II и особенно III, достигая 90-100% (в глинах III пачки), и в песках - 80-85%. Апатит, коллофан, сфен встречаются в глинах, в количестве 1-2 зерна встречены свинец, галенит, церуссит, малахит, киноварь. Содержание апатита в песках достигает 10-15%, в единичных пробах - до 97%, коллофана - до 2-15%. В глинисто-песчаных илах (пачка IV) содержание пирита остается высоким - до 90-100%. В ряде проб апатит и коллофан составляют до 50-90%. Отмечены единичные зерна киновари, свинца, галенита. В песках прибрежной части бассейна возрастает количество апатита (до 75%), тогда как содержание пирита падает до 20-50% и лишь изредка достигает 90%.

Э л е к т р о м а г н и т на я ф р а к ц и я . Во всех четырех пачках вскрытого разреза в минеральном составе существенно преобладают моноклинные пироксены (90-98%), типичными минералами являются роговая обманка базальтическая и обыкновенная, оливин, биотит - все в виде редких зерен. Иногда встречается эпидот. Обычны единичные зерна ильменита, гематита, лимонита. В пачке III выделяется пирит (до 20% в глинах). В глинах пачки IV обнаруживаются вулканические стекла - темно-зеленые, округлые (до 10%). В песках той же пачки иногда отмечается резкое возрастание (до 10-70%) содержания гематита.

М а г н и т на я ф р а к ц и я . Состав довольно однообразен: магнетит (50-90%), пироксены с включениями магнетита, редкие зерна ильменита и гематита. В глинах пачки IV встречено вулканическое стекло (до 10%).

Минеральный состав осадков восточной части озера (по 3 пробам), в целом сходный с таковым западной части, все же отличается менее высоким содержанием апатита (в тяжелой фракции), наличием эпидота, изредка высоким - до 60% содержанием эмфиболов (в электромагнитной фракции), некоторым преобладанием магнетита в магнитной фракции (повышается количество моноклинных пироксенов с включением магне-

тита и ильменита). В этих осадках определяется хромит, реже единичные зерна коллофана, свинца, галенита.

Из вышеприведенных результатов шлихового минерального анализа можно прийти к следующим выводам.

Вариации от пачки I к IV количества пирита – минерала преимущественно аутигенного, отражают переход от окислительной обстановки к восстановительной (пачка III) и спад восстановительной обстановки от глин к прибрежным пескам. Эти соотношения находятся в согласии с данными по рН осадков.

Количество апатита в пачке I и отчасти II и IV связывается с размывом вулканических апатитсодержащих пород Гегамского нагорья, а также докембрийских пород – аналогов разданской и вожчабердской толщи.

Вопрос о высоком содержании коллофана в песчано-глинистых илах (пачка IV) заслуживает дальнейшего изучения. Рудные компоненты: свинец, галенит, малахит, видимо, берут начало из рудных проявлений в докембрийском комплексе Гегамского нагорья, в основном бронированных новейшими лавами. Здесь же фиксируется ряд вторичных рудных ореолов (близ Норетусского мыса и южнее него).

Высокое количество (> 50%) в электромагнитной фракции моноклинных пироксенов в ассоциации с редкими зернами оливина, роговой обманки обыкновенной и базальтической, биотита предопределено размывом вулканических пород плиоцен–четвертичного возраста и аналогов вожчабердской и разданской толщ. Повышенное содержание ильменита и наличие хромита в осадках восточной зоны вызвано наличием в питающей провинции крупных выходов пород офиолитовой серии и прежде всего гипербазитов.

I.3. Глинистые минералы донных осадков

Показано /12, 55, 79/, что основной фон осадков возникает за счет сноса обломочного вещества с водосборов контрастного состава. В ранних работах приведены лишь единичные термографические и рентгенографические определения монтмориллонита в глинистых илах поверхностного слоя осадков.

По проведенному нами отбору осадков 4,5 м колонок озера изучены рентгенографически, под электронным микроскопом, электроно-графически и термографически – 61 образец.

Выше отмечено наличие четырех пачек в типовом разрезе, который вскрыт трубками.

Восточная зона. По данным дифрактометрии преоб-

ладающими глинистыми минералами являются хлорит и гидрослюдя. В отличие от западной и южной зон здесь не обнаружены каолинит, редок монтмориллонит. Из электронографии гидрослюд следует, что они отличаются повышенной железистостью (повышенные значения параметров b). Почти во всех образцах присутствуют хлориты. На электрономикроскопических снимках заметно наличие большого количества удлинения ленточных частиц /65/, морфологически они сходны с хризотилом (?) или пальгорскитом (?) или сепиолитом. Присутствие их связывается с размывом кор выветривания на гипербазитах.

Южная зона. В глинистой фракции определены хлорит, гидрослюдя, каолинит и монтмориллонит. Количество монтмориллонита и каолинита сильно уменьшается по направлению к восточной зоне.

Гидрослюдя представлена очень тонкими полупрозрачными чешуйками, часто с закругленными краями, в основном они расщеплены на ленточные разновидности гидрослюд (данные электронографии). В нескольких образцах определены политипичные модификации гидрослюд, принадлежащие к низкотемпературной разновидности IМ. Весьма распространены также хлориты. На микроскопических снимках они представлены темными хлопьевидными образованиями, часто с бахромчатыми краями.

Западная зона. Глинистыми минералами (в порядке уменьшения их количества) являются: монтмориллонит, гидрослюдя, каолинит, хлорит. Гидрослюды этой зоны обладают нормальными параметрами b , что свидетельствует о незначительном количестве железа в их структурах. Морфологически гидрослюды представлены тонкими чешуйками, часто с закругленными краями. Каолинит представлен обломками шестиугольных пластин.

В восточной зоне седиментации основным источником сноса являются известняки позднего сенона, местами (басс.р.Гейсу) мощные обломочные полимиктовые офиолитокластические отложения верхнего коньяка-раннего сантоня и по всей полосе хребта – мощные кремнисто- vulkanогенные образования офиолитовой серии и размещенные в них прорузы серпентинизированных гипербазитов, а также тела габбро, в меньшей мере плагиограниты. Глинистые минералы кремнисто- vulkanогенной формации представлены хлоритом и гидрослюдами IМ и 2М₁, в коньякских отложениях отмечаются хлорит, гидрослюдя и неравномерно монтмориллонит.

Ассоциация глинистых минералов донных осадков довольно сходна с преобладающими в этих породах водосбора глинистыми минералами.

(гидрослюдя-хлорит-пальгорскит). В почвах на склонах хребта развивается на карбонатных породах гидрослюдисто-хлорит-монтмориллонитовая ассоциация /32/.

Скудность монтмориллонита в донных осадках восточной зоны Б.Севана также предопределена ограниченным развитием его в материнских породах олиолитовой серии позднего мезозоя. Содержание монтмориллонита возрастает в северо-западном направлении, в Малом Севане, где главным источником сноса являются вулканогенно-осадочные флюшоидные отложения среднего эоценена.

В южной зоне вдоль Варденинского хребта главным источником сноса являются вулканогенные породы миоцене, плиоцен-четвертичного возраста андезитового, андезито-базальтового состава, выходы в ущельях вулканогенно-осадочного эоценена сопряжены с зонами гидротермально измененных пород, содержащих каолинит. В бассейне р.Аргичи к питающим провинциям относятся терригенный и карбонатный верхний мел, а также известняки, кварциты, глинистые сланцы среднего-верхнего палеозоя.

Таблица I
Поглощенный комплекс ($\text{Ca}, \text{Mg}, \text{Na}$) глин
из донных осадков озера Севан

№ пп	№ обр.	Порода	№ пачки	Поглощенный комплекс			Примечание
				Ca	Mg	Na	
1.	907/2	Глина коричневая, плотная	I	12,94	12,42	1,957	
2.	914/3	Глина черная, пластичная	III	13,70	II,06	1,696	
3.	914/3а	-"	III	9,03	10,48	1,696	Ca, Mg - по методу Иванова (1968), Na - фотометрия пламени
4.	914/3в	-"	III	12,7	II,45	1,305	
5.	915/3б	-"	III	10,2	10,48	1,305	
6.	915/3г	-"	III	10,38	II,64	1,305	
7.	915/4	Глинисто- песчаный ил	IV	II,70	6,60	1,044	

Анализы выполнены в НИИ почвоведения и агрохимии,

Ассоциация в донных осадках глинистых минералов (хлорит, гидрослюдя, монтмориллонит и реже каолинит) характеризуется сложным составом питающих провинций, широким диапазоном постседиментационных преобразований - от зеленосланцевого метаморфизма пород палео-

зоя, отчасти мела, до уровня эпигенеза основных-средних вулканитов (монтмориллонит).

Размытые андезито-базальты, шлаки верхнего плиоцена - четвертичного возраста Гегамского хребта обусловили преобладание в глинистых минералах донных осадков этой полосы монтмориллонита (диоктаэдрического), при подчиненном значении гидрослюды, каолинита и хлорита. Возможно в размывах возникали также породы сариканской толщи. В почвах на андезитах размываются хлорит и монтмориллонит, при подчиненном количестве гидрослюды и вермикулита.

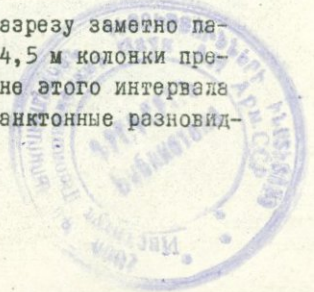
Итак, проведенное сопоставление показало, что минералогия глин в донных осадках озера Севан предопределена большим разнообразием пород питающих провинций обрамления. Ассоциации глинистых минералов удовлетворительно сопоставляются с составом и уровнем преобразования главных типов пород обрамления. Глинистые минералы донных осадков являются поэтому преимущественно терригенными.

Вариации состава глинистых минералов по разрезу донных осадков наиболее полно изучены для западной части бассейна. Нижние в разрезе - коричневые глины представлены монтмориллонитом и гидрослюдой, а выше лежащие алевритистые зеленовато-серые глины преимущественно гидрослюдой, затем хлоритом, монтмориллонитом и изредка каолинитом. Глинистые минералы черных глин (III пачка) представлены хлоритом, затем гидрослюдой, в меньшем количестве монтмориллонитом, изредка пельгиритом (?). Наконец, четвертая пачка - в основном глинисто-песчанистая, иловая, по составу глинистых минералов представлена хлоритом, затем гидрослюдой, монтмориллонитом, реже каолинитом и изредка пельгиритом, обнаруживая сходство состава с пачкой третьей. Надо полагать, что вариации ассоциаций терригенных глинистых минералов складываются в зависимости от уровня вод озера - его вековых колебаний и вовлечения в размывы тех или иных пород водосборов. Кроме того, определенную роль играет перенос глинистых частиц наддонными течениями из одной зоны в другую.

Приведем краткие сведения о распределении в глинистых осадках центра Б.Севана органического вещества и органических остатков по вскрытыму 4,5 м разрезу. Колонки сложены глинистыми алевритами и алевритистыми глинами. Подробно были изучены /21/ две трубы в центре озера (№ № 44 и 46).

Содержание органического углерода вниз по разрезу заметно падает от 2,5-4,1 до 0,9-0,4%. В верхней половине 4,5 м колонки преобладают створки диатомовых водорослей, в середине этого интервала отмечается спад их содержания. В основном это планктонные разновид-

5302



ности, в нижней половине колонки водоросли в основном бентосные, причем в середине нижней половины имеется горизонт, где органических остатков мало: диатомовые водоросли уступают спикулам губок, обломки диатомей редки. Здесь же отмечена смена отрицательных r_i на положительные значения. В нижнем горизонте (20-30 см) вновь появляются диатомовые и возрастает количество восстановленного битума.

I.4. Вулканические шлаки и пеплы

Предыдущими исследованиями грунтов озера /12, 55, 79/ пирокластические отложения среди донных осадков обнаружены не были. Современные осадки перекрыли пирокластику. Бурение вибропоршневой трубкой привело к их обнаружению в районе южного склона Нор-Баязетского (Норатусского) поперечного поднятия.

Рассмотрим последовательность наслоения и типы пород.

Трубка № 942 (снизу-вверх).

1. Шлак сажисто-черный, при высыхании приобретает зеленоватый оттенок. Обломки шлака угловатой формы, размером до 2-3, реже 4 см без признаков спекания, хрупкие, пористые. До 40% породы слагают алеврито-песчаной размерности обломки шлаков и пирокластические минералы. Мощность неполная - 80 см.

2. Вулканический и туффитовый песок лито-кристалло-витрокластический, среднезернистый, рыхлый, ярко-густозеленого, при высыхании желтовато-зеленоватого цвета. Содержат единичные диатомии. Вверх по разрезу постепенно сменяется мелкозернистым туфопеском, в котором содержание обломочного и карбонатного материала заметно увеличивается. Мощность 90 см.

3. Вулканомиктовый песок с примесью пирокластического материала, зелено-серый, крупнозернистый, переходящий вверх по разрезу в среднезернистый песок. Мощность 46 см.

4. Алеврит глинистый, зелено-серый, переходящий к кровле в обогащенный органическим материалом ил. Мощность 2,2 м.

Трубка № 943 (снизу-вверх).

1. Вулканический песок сажисто-черный и темно-коричневый, разнозернистый, с преобладанием крупно- и среднезернистой размерности, лито-кристалло-витрокластический, рыхлый. Сменяется вверх по разрезу среднезернистым вулканическим песком и далее к кровле - вулканической пылью (0,1-0,01 мм). Мощность 80 см.

2. Вулканическая пыль светло-серая, рыхлая. Мощность 15 см.

3. Вулканомиктовый песок зелено-серый. Содержит примесь мелкой гальки и пепла, разнозернистый, с преобладанием средне- и крупнозернистых размерностей. Вверх по разрезу сменяется мелко-зернистым песком. Содержит обломки раковин. Мощность 85 см.



Рис.3. Обзорная карта дна Б.Севана в районе обнаружения шлаков и пеплов.
1. Нор-Баязетский (Норатусский) вал.
2. Подводное поднятие. Продолжитель-
но вулканический шлаковый конус. 3. Су-
ша. На западе Гегамский берег у г.Камо
(Баязет), на востоке - Шоржинский полу-
остров. 4. Дно Б.Севана со спокойным
волнистич. рельефом. 5. Место бурения.
6. Наземные вулканы.

4. Вулканомиктовый песок с примесью пепла, мелкозернистый, яично-желтый, при высыхании становится желто-серым. Мощность 5 см.

5. Ил алеврито-глинистый, темно-серый с прослойками (2-5 см) диатомового ила. Мощность 20 см.

6. Ил глинисто-алевритовый, серо-зеленоватый. Содержит обломки раковин. Мощность 55 см.

Приведем краткие сведения по петрографии и минералогии шлаков и пеплов.

Шлаки под микроскопом состоят из изотропной пузырчатой массы стекла зелено-бело-бурового цвета, в котором рассеяны (5-8%) вкрапленники (до 0,1-0,3 мм) андезина, обычно полисинтетически сдвойникованного, нередко зонарного строения, отмечаются редкие зерна темноцветных и рудных минералов. По краям пор в стекле развиваются новообразования эпидота. Пористость шлаков, определенная методом насыщения (по И.А.Преображенскому), равна 70,4-72,6%. Под микроскопом форма пор сферическая, каплевидная и неправильная. Высокопористые участки состоят из изометрических мелких пор. Мелкообломочная часть шлаков песчаная и алевритовая, имеет низкую степень отсортированности ($S_o > 10$).

По химическому составу шлаки приближаются к базальтам. По пересчетам А.Н.Заварецкого они относятся к нормальному ряду, чем сходны с четвертичными лавами Гегамского нагорья (табл.2).

Шлаки, как и основные андезито-базальтовые лавы, недосыщены кремнием. Сравнительно более низкое в них, чем в андезито-базальтах, содержание алюминия и повышенное - калия.

Химический состав шлаков

Окислы	I	2	Окислы	I	2
SiO_2	50,29	51,45	Na_2O	3,25	3,58
TiO_2	1,15	1,12	K_2O	2,10	1,59
Al_2O_3	15,15	19,02	H_2O	1,26	0,21
Fe_2O_3	6,88	6,60	$П.п.п.$	2,68	0,31
FeO	3,21	3,32	S	0,15	н.о.
MnO	0,11	0,18	P_2O_5	0,63	н.о.
MgO	5,74	5,09	CO_2	1,76	н.о.
CaO	7,54	7,93	Сумма	100,24	100,39

Числовые характеристики по А.Н.Заварицкому

обр. ас	в	с	ф	м	с'	п	т	ф	Q	а:с	по Риттману
1. 10,5	7,7	20,3	61,5	45,5	44,1	10,4	77,3	1,6	28,4	-5,0	1,3 3
2. 10,5	5,3	23,7	60,5	39,4	42,7	17,9	70,5	1,8	25,7	-5,3	1,9 3,9

Примечание: 1. Вулканический шлак, трубка 942, слой I.
2. Андезито-базальт. Потоки. Гегамское нагорье. Среднее из 8 анализов.

Вулканические пеплы, туффиты и туфопески. Главный признак, отличающий пеплы от туффитов и туфопесков, это высокое содержание в них свежего вулканического стекла. В туффитах и особенно в туфопесках заметно повышается содержание размеженных зерен и увеличивается карбонатность пород. От пеплов к туфопескам увеличивается суммарное содержание тяжелых минералов. При этом несколько уменьшается содержание малоустойчивого силиката, но растет количество рудных минералов, появляются эпидот, акессорные минералы (циркон, сфен, гранат). В туфопесках к вулканическим стеклам среднего состава примешиваются стекла кислые. В иммерсионной жидкости определяются бесцветные, зеленовато-бурые, редко желтовато-бурые вулканические стекла неправильной формы, угловатые, часто с рваными краями. Выделяются разновидности с цельной гладкой поверхностью, с раковистым изломом, волокнистые.

Показатель преломления стекол чаще 1,495-1,496, реже - 1,485-

I,486, изредка - I,515, бурых стекол - I,549-I,550.

Зеленовато-бурые стекла чаще пузырчатые. В них наблюдаются кристаллиты и микролиты, в бесцветных стеклах они весьма редки. Микролиты представлены тонкими призмочками плагиоклазов, редко - пироксенов. Характерны сростки стекла с плагиоклазами.

Рассматривая возможные пути поступления вулканического материала, отметим, что шлаки являются главным "строительным материалом" вулканических конусов Гегемского нагорья и за пределы их обычно не распространяются. Состав продуктов андезито-базальтовый.

В обнаруженных подводных шлаках отсутствует инородная примесь, они сонаходятся с вулканическими песками, а также с туффитами и вулканомиктовыми накоплениями - в кровле осадков. Ознакомление со средне- и крупномасштабными батиметрическими картами озера показало, что существует подводный вал вблизи участка вскрытия трубами шлаков. Так же как и Баязетский (Норатусский), этот вал протягивается от западного берега в северо-восточном направлении примерно на 5,5 км, при ширине 3-3,5 км (рис.3).

От южного склона Баязетского вала его отделяет узкая ложбина. Значительные размеры и ориентация отличают этот вал от озерных песчаных валов и конусов выноса. В трубах 942 и 943 разрез осадков, залегающих над пирокластическими и осадочно-пирокластическими породами, сокращен в мощности (I,65-2,66 м), тогда как только в центральной части Большого Севана неполная мощность алевритистых глин превышает 4,5 м. Можно поэтому полагать, что склоны вала были мало благоприятны для накопления осадков из-за крутизны. Такие аномальные формы рельефа контрастируют с волнистым спокойным рельефом впадины Большого Севана. Вулканы Норатусской группы, по мнению К.И.Карапетяна, располагаются вдоль трещины, имеющей северо-восточное простижение ($45-60^{\circ}$), т.е. аналогичное простижение Нор-Баязетского вала и вала, вскрытого трубками.

В залегающих над шлаками вулканических песках и песках туфитовых встречаются единичные диатомеи, вверх по разрезу резко возрастает содержание карбоната кальция, в каждом ритме устанавливается уменьшение среднего размера обломков, от основания к кровле улучшается также отсортированность породы. От шлаков к вулканомиктовым пескам наблюдается разнообразный набор промежуточных осадочно-пирокластических пород. В шлаках отсутствуют признаки окисления и спекания и по колонке создается впечатление быстрой, без перерыва смены их вулканическими песками. Следует также упомянуть, что

вскрытие породы гипсометрически расположены ниже Норатусской группы вулканов на 50-90 м. Вулканы же после извержения были перекрыты водами озера, на что указывает кратерная галька из разнообразных пород водообора.

Таким образом, совокупность фактов приводит к предположению, что трубками были вскрыты шлаки и вулканические пеплы одного из подводных шлаковых конусов.

1.5. Некоторые особенности геохимии донных осадков

1.5.1. О распределении Mo, Cu, Zn, Pb, Mn, Cr, Ni, Mg и некоторых других микроэлементов в донных осадках. Определялись валовые содержания, а также содержания в водных, а затем и в солянокислых (2,5%) вытяжках из осадков.

М о ли б д е н . В вертикальном разрезе осадков содержание молибдена от нижних слоев к верхним в целом уменьшается от $0,01 - 0,1 \times 10^{-3}\%$ до следов молибдена. Среднее содержание молибдена в отдельных типах отложений приведено в таблице 3.

Таблица 3

Среднее содержание Mo в донных осадках оз. Севан

Метод изучения	Число определений	Пески	Алевриты	Глины	Среднее для осадков Б.Севана
Химический	24	$3,3 \times 10^{-4}$	не опр.	$2,7 \times 10^{-4}$	$2,9 \times 10^{-4}$
Спектральный	70	5×10^{-4}	4×10^{-4}	5×10^{-4}	5×10^{-4}

Примечание: Валовые содержания Mo после сплавления определялись колориметрическим методом.

По распространению в осадках подвижного молибдена, привнесенного в осадки в растворенном виде, территория Б.Севана подразделяется схематически на юго-западную и северо-восточную зоны, границы между ними протягиваются в северо-западном направлении, примерно по середине водоема. В осадках ю-з зоны подвижного молибдена больше в среднем в 4 раза, чем в осадках с-в зоны (рис.4). В ю-з зону привнесено подвижного молибдена в среднем до 50% от его валового содержания в осадках. Подвижной молибден осадков с-в зоны составляет в среднем не более 10% валового содержания молибдена. Наиболее богаты подвижным молибденом пески, сравнительно меньше его в гли-

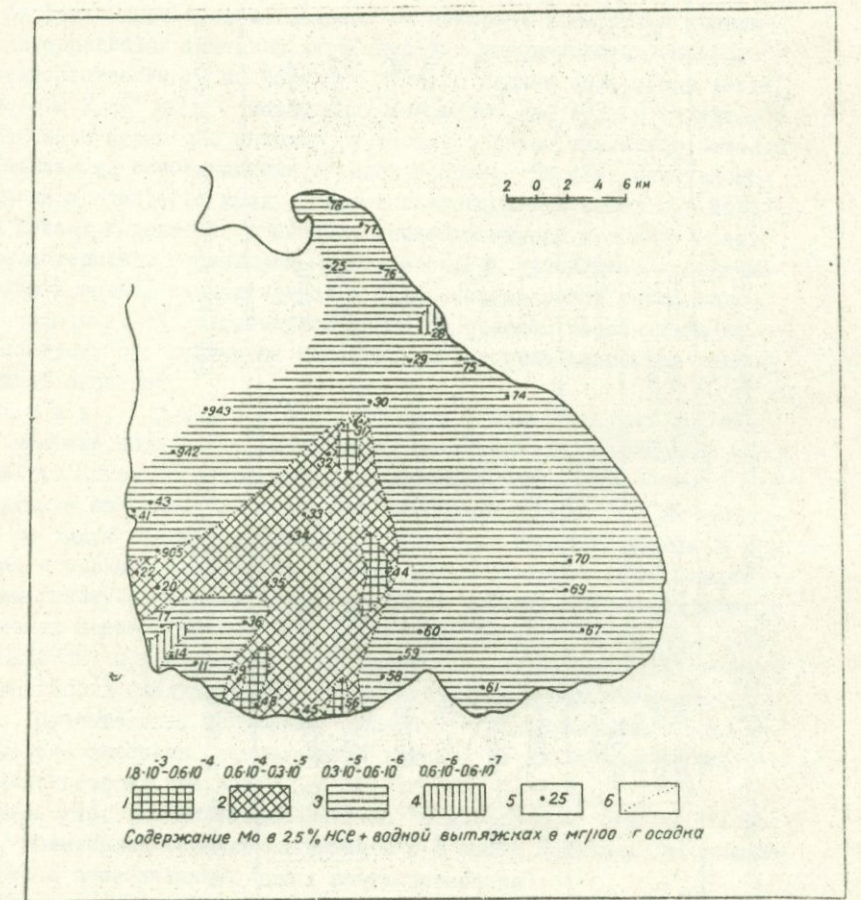


Рис.4. Геохимическая карта оз. Севан.
1-4. Средние содержания Mo в солянокислых
вытяжках из донных осадков в мг на 100 г
осадка. 5. Места эпломления трубок.
6. Границы содержаний.

Таблица 4

Содержание подвижного молибдена в донных осадках озера Севан

Наименование породы	Число определений	Зо-	Валовое содержание Mo в породе в %	Содержание Mo в вытяжках водных и солянокислых (в % от валового содержания в породе)			Содержание нерастворимого Mo (в % от валового содержания в породе)
				H ₂ O	HCl (2,5%)	Суммарное (H ₂ O+HCl)	
Песок грубо- и крупнозернистый	3	I	0,00034	5,82	72,35	78,17	21,83
	2	II	0,00013	5,69	7,30	12,99	87,01
Песок мелкозернистый, глинистый	7	I	0,00032	18,43	27,92	46,35	53,65
	2	II	0,00056	2,50	0,55	3,05	96,95
Глина алевритистая	6	I	0,00027	18,74	9,63	28,37	71,63
	4	II	0,00027	9,77	4,11	13,88	86,12

Определение молибдена в водных и кислотных вытяжках проведено колориметрическим родонидным методом.

нах. На фациальном профиле водоема от прибрежных песков и алевритов к алевритистым глинам центра бассейна увеличивается содержание воднорасторимого молибдена и заметно падает содержание растворимого в 2,5% НСЕ молибдена. Как видно, не только содержание Mo, но и формы его нахождения тесным образом связаны с литолого-фациальными особенностями осадков водоема. На фоне подвижного молибдена в прибрежье между устьями впадающих в Б.Севан р.р.Варденис и Бахтак выделяется аномалия, выклинивающаяся к центру озера, причем содержание подвижного молибдена здесь соизмеримо с содержанием его в почвах на Кеджаранском медно-молибденовом месторождении республики. Из методических работ по ореолам рассеивания Mo /35/ следует, что первичные концентрации металла ожидаются вблизи вторичных аномалий.

М е д ь , с в и н е ц , ц и н к . Выявляются на два порядка меньшие содержания растворимых количеств указанных микроэлементов относительно валовых, на порядок низкие их содержания в водной вытяжке относительно вытяжки слабосолянокислой. Разброс содержаний по типам осадков выражается в глинах в преобладании меди над свинцом и цинком, а в песках – цинка над остальными двумя микроэлементами (табл.4). В обломочных минералах песков определены высокие содержания цинка ($200 \times 10^{-3}\%$) в магнетите, меди ($1-3 \times 10^{-3}\%$) и свинца ($15 \times 10^{-3}\%$) в темноцветных минералах. По данным шлихового анализа, в некоторых осадках присутствуют единичные зерна самородного свинца, буланжерита, церуссита, малахита и халькопирита. Какой-либо закономерности их распределения выявить не удалось из-за непредставительности материалов.

Известно, что монтмориллонит легко адсорбирует цинк /22/. Возможно, повышенные содержания цинка в ю-з части акватории обусловлены также и преобладанием здесь монтмориллонита.

Диатомовые могут адсорбировать медь. Роль остракод в концентрации халькофильных элементов незначительна, что выясняется по низким содержаниям их в раковинном материале.

Распределение микроэлементов (форм их нахождения) находится, как видно, в связи с фациальной зональностью осадков от песков прибрежья к глинам центральной части водоема со спадом выхода тяжелой фракции от 10–15% до 0,01%. Адсорбированные формы нахождения халькофильных микроэлементов присущи глинам, в песках же они предопределены составом обломочных минералов.

Вариации содержаний микроэлементов по восходящему разрезу вызваны разнообразием состава терригенного компонента и количеством

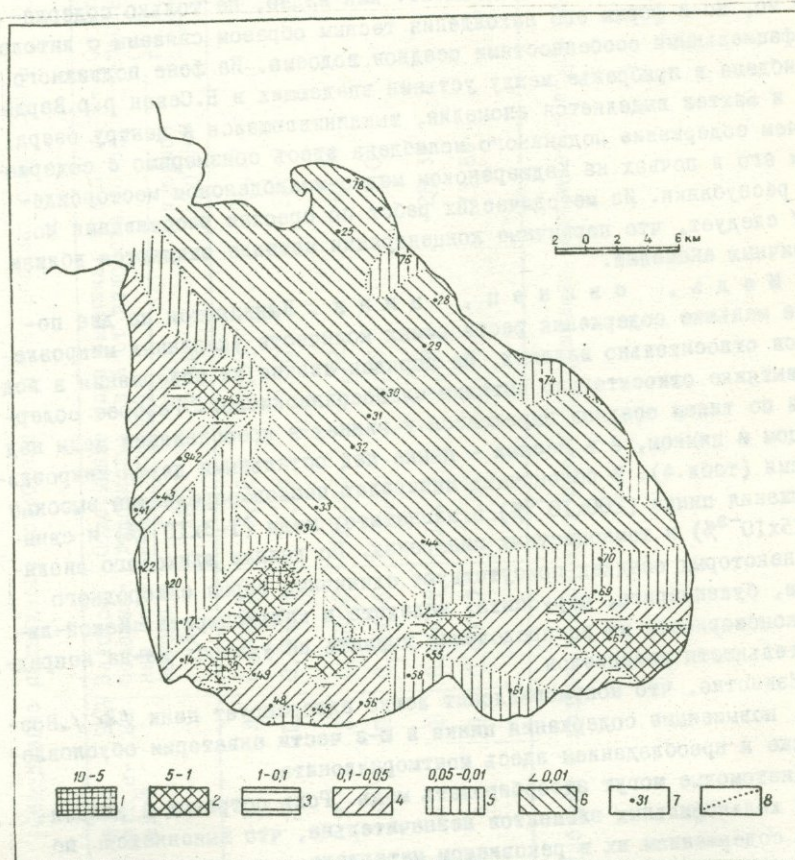


Рис.5. Геохимическая карта оз. Севан.

I-6. Средние содержания меди в солянокислых вытяжках из донных осадков в мг на 100 г осадка. 7. Расположение трубок. 8. Границы содержаний.

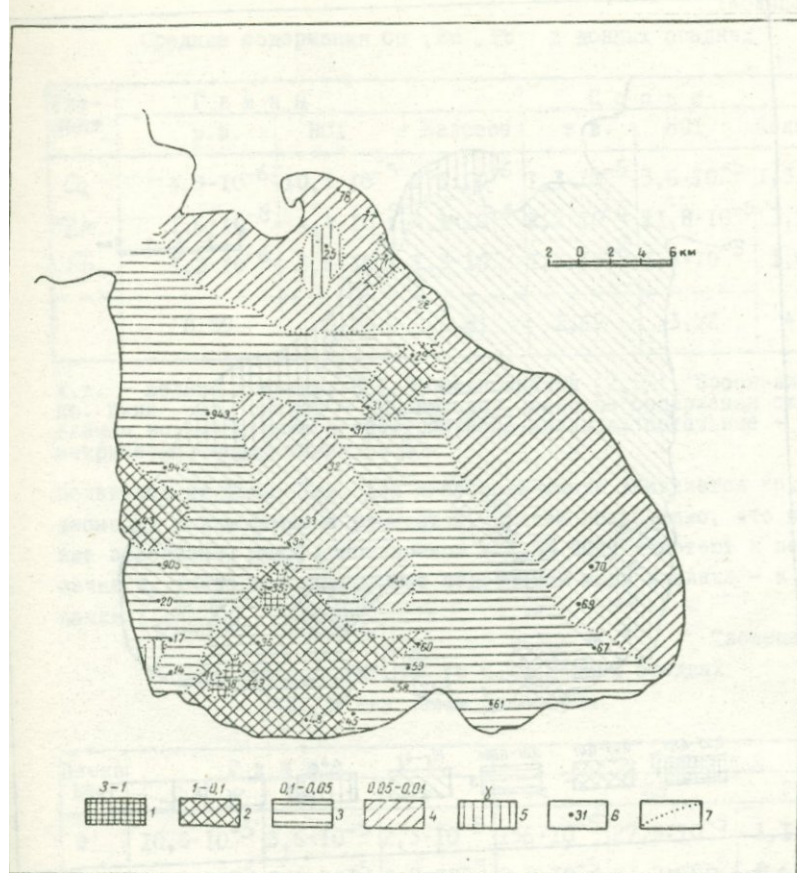


Рис.6. Геохимическая карта бассейна оз. Севан.

1-4 Средние содержания цинка в солянокислых вытяжках из донных осадков озера Севан в мг на 100 г осадка. 6. Расположение трубок.
7. Границы содержаний.

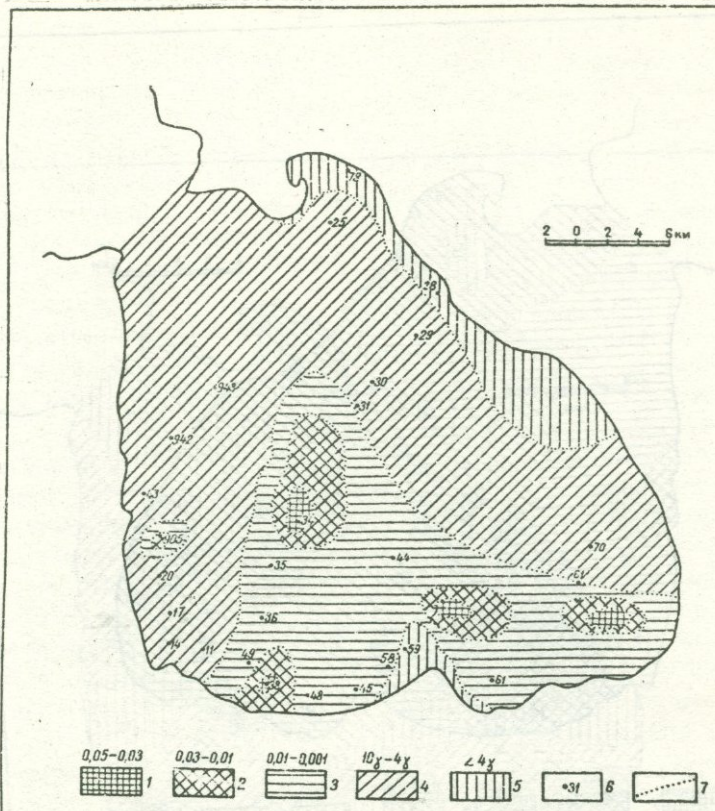


Рис.7. Геохимическая карта бассейна оз. Севан.

I-4. Содержания свинца в солянокислых вытяжках из донных осадков озера Севан в мг на 100 г осадка. 6. Расположение трубок. 7. Границы содержаний.

Таблица 5
Средние содержания Cu, Zn, Pb в донных осадках

Элемент	Глины			Пески		
	в.в.	HCl	Валовое	в.в.	HCl	Валовое
Cu	$4,9 \cdot 10^{-6}$	$10,3 \cdot 10^{-5}$	$6,6 \cdot 10^{-6}$	$1,3 \cdot 10^{-5}$	$3,6 \cdot 10^{-5}$	$1,3 \cdot 10^{-3}$
Zn	$1,6 \cdot 10^{-6}$	$4,4 \cdot 10^{-5}$	$4,1 \cdot 10^{-3}$	$2,2 \cdot 10^{-6}$	$11,8 \cdot 10^{-5}$	$3,9 \cdot 10^{-3}$
Pb	$1,3 \cdot 10^{-6}$	$3,6 \cdot 10^{-5}$	$1,3 \cdot 10^{-3}$	$1,3 \cdot 10^{-6}$	$1,6 \cdot 10^{-5}$	$1,6 \cdot 10^{-3}$
	0,59	0,78	0,81	2,69	3,72	4,23

в.в. - водная вытяжка, HCl - солянокислая (2,5%). Проанализировано: глины - 14, песков - 18 образцов, валовые содержания свинца по данным количественного спектрального анализа, остальные - колориметрические определения (в %).

подвижных их форм. Так, для ю-з части озера выявляется крупная аномалия халькофильных элементов. Причем обнаружено, что повышенные содержания меди (растворимой в 2,5% HCl) тяготеют к пескам пачки III, тогда как повышенные содержания меди и цинка - к глинам пачки I.

Таблица 6
Содержание Cu, Zn, Pb (в %) в донных осадках
в ю-з части акватории

Пачка №	Глины			Пески		
	Cu	Zn	Pb	Cu	Zn	Pb
III	$10,6 \cdot 10^{-5}$	$3,6 \cdot 10^{-5}$	$2,3 \cdot 10^{-5}$	$156 \cdot 10^{-5}$	$27,5 \cdot 10^{-5}$	$1,1 \cdot 10^{-5}$
II	$22,8 \cdot 10^{-5}$	$3,0 \cdot 10^{-5}$	$1,7 \cdot 10^{-5}$	$2,8 \cdot 10^{-5}$	$11,2 \cdot 10^{-5}$	$0,6 \cdot 10^{-5}$
I	$18,1 \cdot 10^{-5}$	$8,3 \cdot 10^{-5}$	$5,3 \cdot 10^{-5}$	н/оп.	н/оп.	н/оп.

2,5% HCl - вытяжки.

Исследования выявили высокие значения pH осадков, равные 7,7-8,6, для единичных определений несколько ниже - 7,2-7,6. Напомним, что вода озера характеризуется pH до 8,7-9,26. В области развития глинистых осадков обстановка восстановительная ($E_h = -155$ до -225 mV) за исключением глубин примерно 3,5-3,7 м, где обозначается горизонт повышенных значений E_h до -70 и даже $+55 \text{ mV}$. Преимуществен-

но восстановительные условия в колонке осадков подтверждаются соотношением $S_{\text{сульфиды}}/S_{\text{сульфаты}}$, более 1, $\text{Fe}^{++}/\text{Fe}^{+++}$, достигающим 8,8 и, в среднем равным 5,8. В иловой воде (водные вытяжки) соотношение $\text{Fe}^{++}/\text{Fe}^{+++}$ для глин равно 15,6, спадая до 0,04 в песках (табл.7).

Таблица 7

Средние содержания и соотношения $\text{Fe}^{++}/\text{Fe}^{+++}$ в осадках

Элемент	Глины		Пески	
	в.в.	HCl	в.в.	HCl
Fe ⁺⁺	8,40	46,31	0,009	57,3
Fe ⁺⁺⁺	0,54	59,9	0,23	203,7
Fe ⁺⁺ /Fe ⁺⁺⁺	15,56	0,77	0,04	0,28

в.в. - водная, HCl - солянокислая (2,5%) вытяжки, данные в мг на 100 г осадка. Результаты анализа 80 проб - из П и Ш пачек.

Восстановительная среда в осадках благоприятствовала развитию аутогенного пирита - в виде мелких конкреций и выполнений полостей раковин остракод.

Как видно, наиболее восстановительная сероводородная обстановка характеризует глинистые отложения пачки Ш. К гелевой, видимо, можно отнести обстановку пачки П. Окислительная слабощелочная (до нейтральной) обстановка была свойственна пачке I - коричневато-желто-серым песчаным глинам и глинистым пескам. К пескам пачек П и Ш происходит спад восстановительной обстановки ввиду высокой проницаемости относительно обогащенных кислородом прибрежных озерных вод. Геохимическая латеральность и по разрезу зональность в озерном водоеме нарушается вследствие подтока по разломам прежде всего минерализованных и отчасти пресных вод.

Повышенные содержания в пачке I эскрепленных форм Zn и Pb (извлекаемых 2,5% HCl) могут быть объяснены существованием щелочного геохимического барьера для поступающих межслойевых гелевых вод с низким pH - до 6,5-7,2. Повышенные содержания меди в пачке Ш могут быть связаны с близкими к содовым значениям pH (до 8-8,6) в рамках сероводородной восстановительной и переходной к гелевой фазиям.

Такая общая схема исходит из усредненных статистических значений содержаний халькофильных микроэлементов. Между тем, отклоне-

ния от нее вызваны динамичной обстановкой становления геохимических фаций в донных осадках: сложным взаимодействием захороненных недонных вод и вод глубинных минерализованных, поступавших и поступающих ныне по разломам.

Рассмотрим laterальную геохимическую зональность распределения Cu, Zn, Pb и вторичные ореолы рассеивания.

Лито-геохимические карты (рис.5-7) дают представление о зональности в распределении подвижных частей меди, цинка, свинца, наличии вторичных ореолов рассеивания, достаточно удовлетворительно связываются для халькофильных элементов с концентрациями этих элементов на обрамлении.

Обратим внимание на совпадение аномалий Cu, Zn, Pb, а также Mo на ю-з акватории. В строении прилегающего обрамления известны концентрации руд Cu-Mo формации, а также зоны гидротермального изменения пород в выходах эоценового Варденисского хребта. На его северном склоне они вскрыты также и в тоннеле Арпа-Севан.

Генезис Cu-Mo-Zn-Pb типичен для Анкавен-Мегринской тектонической зоны, к которой относится данный сегмент обрамления. Мелкие вторичные ореолы рассеивания халькофильных элементов вблизи восточного берега связаны с офиолитовой серией пород и надофиолитовым чехлом. Здесь известны концентрации медно-гематитовых, медноколчеданных руд, а в связи с субвуликаническим магматизмом - концентрации благородных элементов, обогащенных с глубиной полиметаллами.

Мелкие аномалии халькофильных элементов к югу от Норатусского мыса обусловлены концентрациями микроэлементов в подгазовом комплексе.

Марганец. Средние содержания марганца составляют: в песках - 0,074%, в глинах - 0,047%, в водной вытяжке из песков - 0,12 мг на 100 г осадка, из глины - 0,25 мг на 100 г осадка; в кислотной вытяжке - 7,00 мг на 100 г осадка, из глин - 5,76 мг на 100 г осадка. Наибольшие валовые содержания, тяготеющие к восточному прибрежью (рис.8), обнаруживаются в песках, в которых значителен вклад обломков за счет размыва содержащих марганец пород марганценосных силикатов и браунитовых руд. В этой полосе имеет место и коллоидный привнос марганца. В осевой части бассейна валовые содержания марганца низкие. Мелкие узкие аномалии марганца встречаются на юго-западе, в районе устья Аргичи. Средние содержания марганца в водных вытяжках из глин превышают почти вдвое содержания в песках. В солянокислых вытяжках марганца значительно

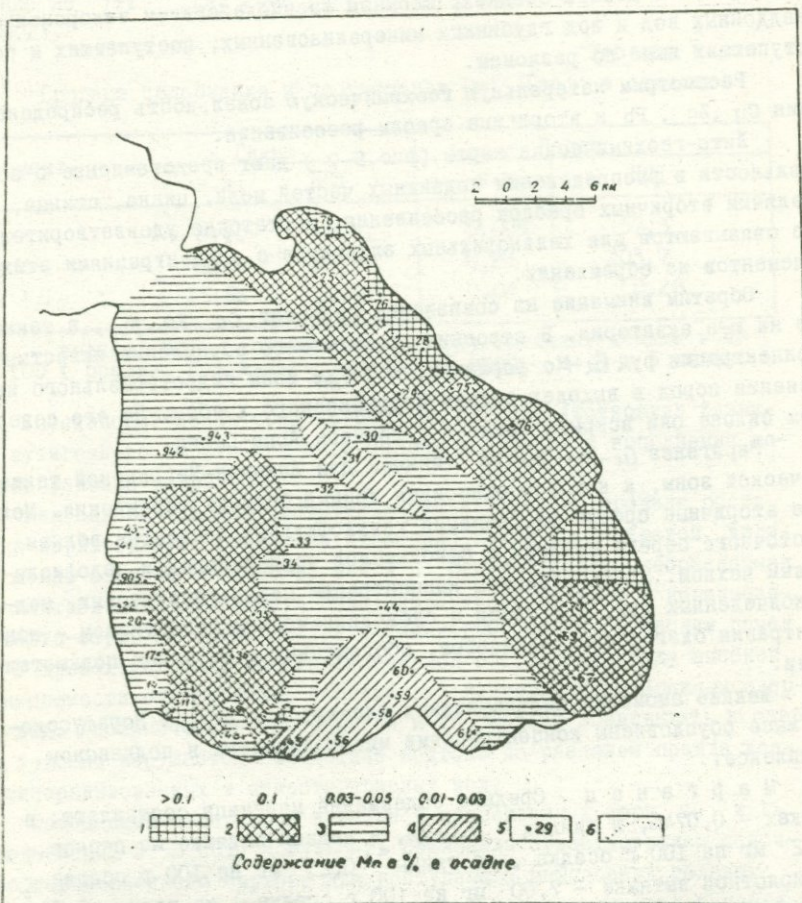


Рис.8. Геохимическая карта оз. Севан.

1-4. Средние содержания Mn в донных

осадках в % (колич.спектр.анализ).

5. Расположение трубок. 6. Границы содер-
жаний.

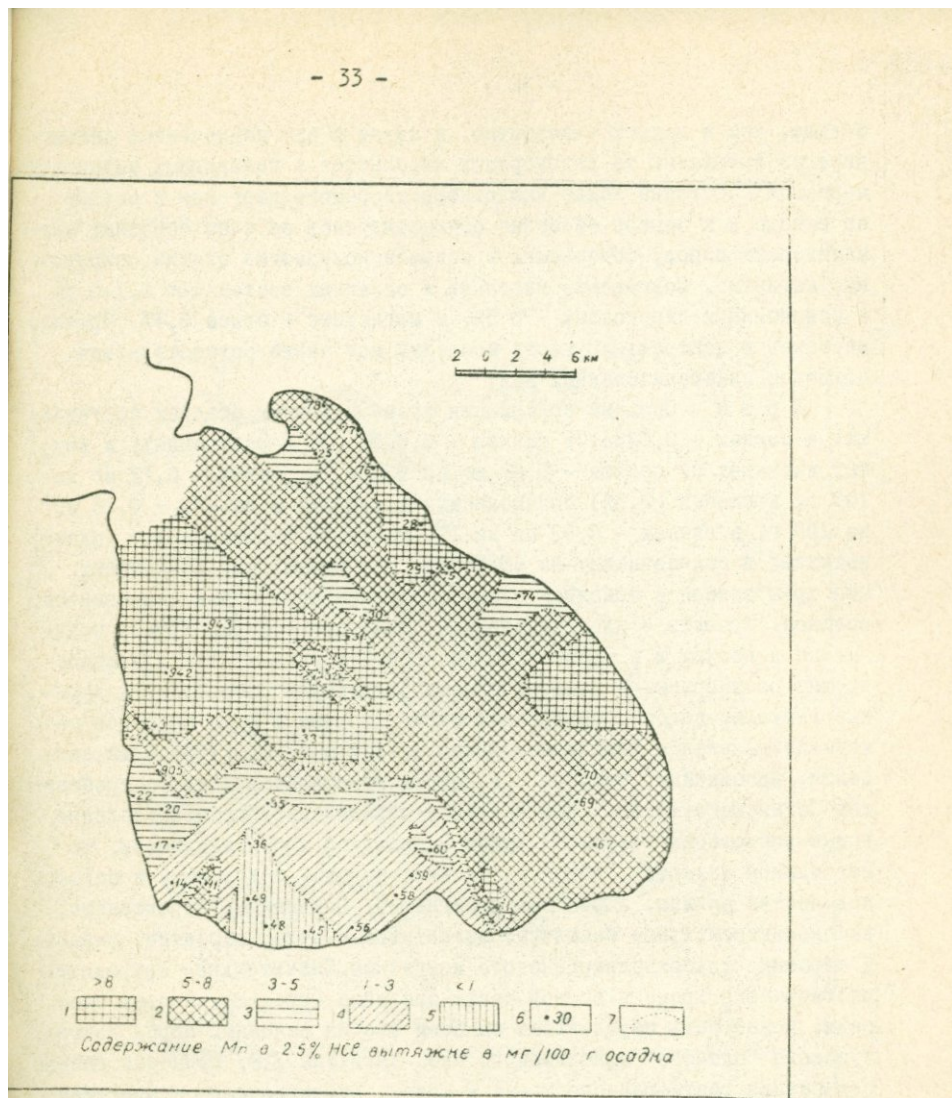


Рис.9. Геохимическая карта оз. Севан.

1-5. Средние содержания Mn в солянокислых вытяжках из донных осадков в мг на 100 г. осадка. 6. Расположение трубок. 7. Границы содержаний.

больше, чем в водных – вероятно, в связи с его извлечением солянокислыми вытяжками из растворимых карбонатов и гелевидных выделений марганца. Поставка водно-кислотнорастворимого марганца в осадки на западе и в центре бассейна осуществлялась за счет основных магматических пород, содержащих в большом количестве оливин, пироксены, магнетит. Содержания марганца в оливинах составляют 0,1-0,3%, в моноклинных пироксенах – 0,3%, в магнетите – более 0,3%. Привнос марганца в центральную часть бассейна мог также осуществляться подтоком минерализованных вод.

Хром. Средние содержания хрома в донных осадках составляют: в песках – 0,028%, в глинах – 0,018% (38 определений), в водных вытяжках из песков – 0,67 мг на 100 г, в глинах – 0,72 мг на 100 г, в слабых (2,5%) солянокислых вытяжках: в песках – 0,26 мг на 100 г, в глинах – 0,42 мг на 100 г (число определений в водных вытяжках и солянокислых – по 40 проб). Эти результаты показывают, что хром связан в основном с нерастворимым обломочным компонентом осадков. Хромиты и хромшпинелиды – минеральные формы хрома, выявляемые в песках и в меньшем количестве – в глинах, как известно, трудно растворимы. В восточной части акватории обособляются крупные аномалии валовых содержаний хрома, причем в ряде образцов песчаников выявлен в повышенном количестве хромит (до 10%). Эти аномалии, несомненно, связаны с выходами хромитсодержащих ультрабазитов Севанского хребта. Что касается парадоксального преобладания водно-кислотнорастворимого хрома в западной части акватории, то источником являются, вероятнее всего, породы, содержащие в большом количестве оливин, пироксены и магнетит. Оливиниты, пироксениты, высокомагнезиальные базальты, магнетитовые руды, вероятно, развиты в строении доверхнеплиоценового комплекса. Значительное сокращение растворимого хрома в осевой части бассейна (рис.10), в свою очередь, может быть обусловлено выносом его из основных пород Зангезурского "слепого" офиолитового шва. Выявлены /28/ примерно равные содержания растворенного хрома в водах, циркулирующих в пределах Севанского хребта в породах ультраосновных и в породах осадочных, выявлено также повышенное содержание хрома в водах участков развития не ультрабазитов, а габбро (0,06-0,07 мг/литр, против 0,15 мг/литр). Установлено, что большая растворимость хрома показательна для вод гидрокарбонатно-магниевых, которые характерны на юго-западе бассейна озера – район Карчахпюр и в ряде других участков.

Никель. Среднее содержание никеля в песках оценивается в 0,0098% (39 определений), в глинах – 0,007% (17 определений).

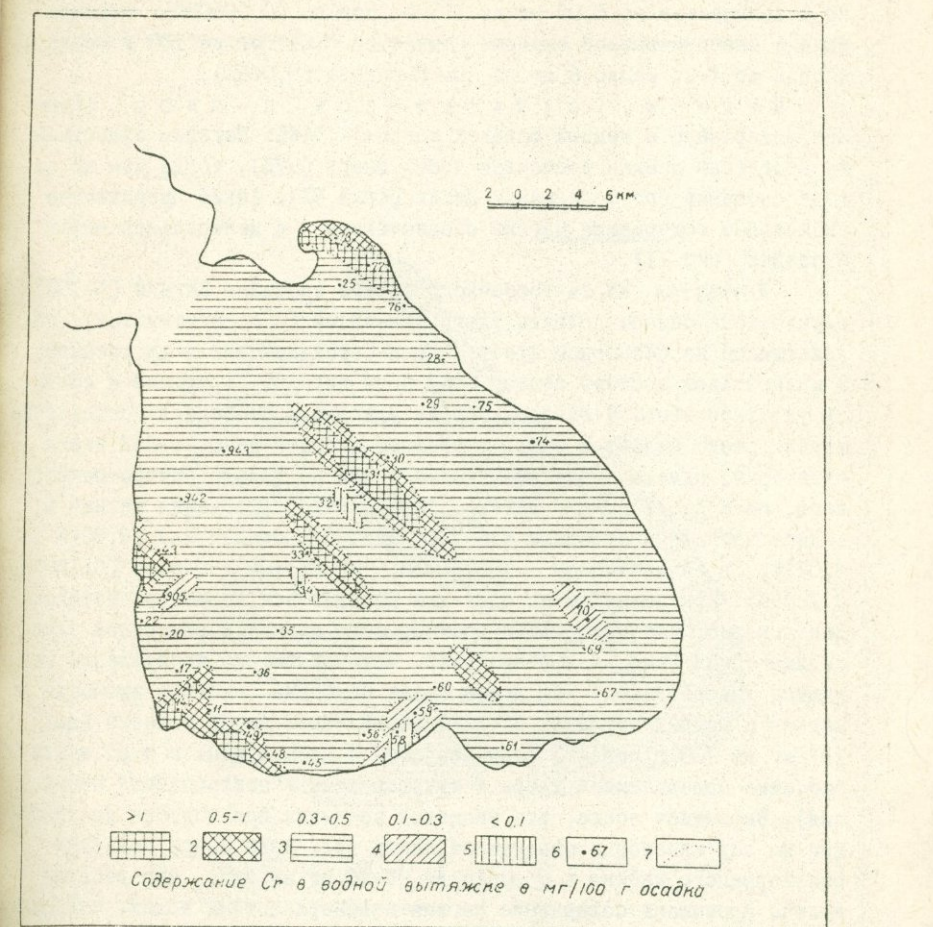


Рис.10. Геохимическая карта оз. Севан.

I-5. Средние содержания Ср в водных вытяжках из донных осадков в мг на 100 г осадка.

6. Места заложения трубок. 7. Границы содержаний.

В водных вытяжках из осадков никель определяется крайне редко в количестве до 0,05 мг на 100 г. породы (0,00005%), гораздо чаще в слабокислотной вытяжке обычно до 0,011 мг/на 100 г породы, иногда до 1-2, редко 6 мг на 100 г породы (0,006%).

Магний, сульфат-ион и хлор. Среднее содержание в донных осадках магния - 3,6%. Магнием существенно обогащены осадки восточной части озера (ср7%), тогда как на западе бассейна его содержания низки (ср.2,5%). Узкие прерывистые аномальные содержания магния обозначаются и в центральной части бассейна (рис. II).

Вытянутая вдоль восточного берега аномалия магния (5-10%) обусловлена сносом детрита ультрабазальтов (и серпентинитов), обнажающихся на Севанском хребте (Джил-Сетанахачский и др. массивы). В минеральном составе песков этой зоны нередки серпентин и обломки ультрабазитов. В осадках, более удаленных от берега, содержание магния резко падает и вновь нарастает в самой центральной части акватории, однако здесь значителен вклад не только алевро-пелитового, но и растворимого магния. Усредненные содержания магния в водной вытяжке составляют 4,6-71,4 мг/100 г осадка или (0,0046 - 0,071%), в солянокислой - 106,3-128,6 мг на 100 г осадка (0,1063-0,1286%). Эти величины на один-два порядка все же меньше валовых. Закономерно, что содержание растворимого магния в восточной зоне седimentации выше, чем в западной. Источником его поступления являются ультрабазиты. Как далее будет показано, высокие значения магния в водных вытяжках из глин центральной части водоема (до 183 мг на 100 г осадка) коррелируются с аномальными в этой части бассейна содержаниями хлора и сульфат-иона ("центральная" аномалия). Вероятнее всего, эта аномалия возникла при подтоке по разломам ко дну акватории минерализованных вод. Воды озера содержат растворенного магния в среднем до 68-70 мг на литр, что десятикратно превышает содержание магния в поверхностных водах, сносимых в водоем. Подток минерализованных вод является, как видно, наиболее главным в поступлении растворенного магния в озерную воду. Осуществляется он скорее диффузией магния через донные осадки.

Интересно, что в наиболее разжиженных илах 4 пачки, вскрытых трубками разреза, содержание магния в водных вытяжках составляет в среднем 19,3 мг на 100 г осадка (0,0193%), а в солянокислой вытяжке - 135,2 мг на 100 г осадка (0,135%), тогда как на более низких горизонтах разреза содержания падают до 11-15 мг на 100 г осад-

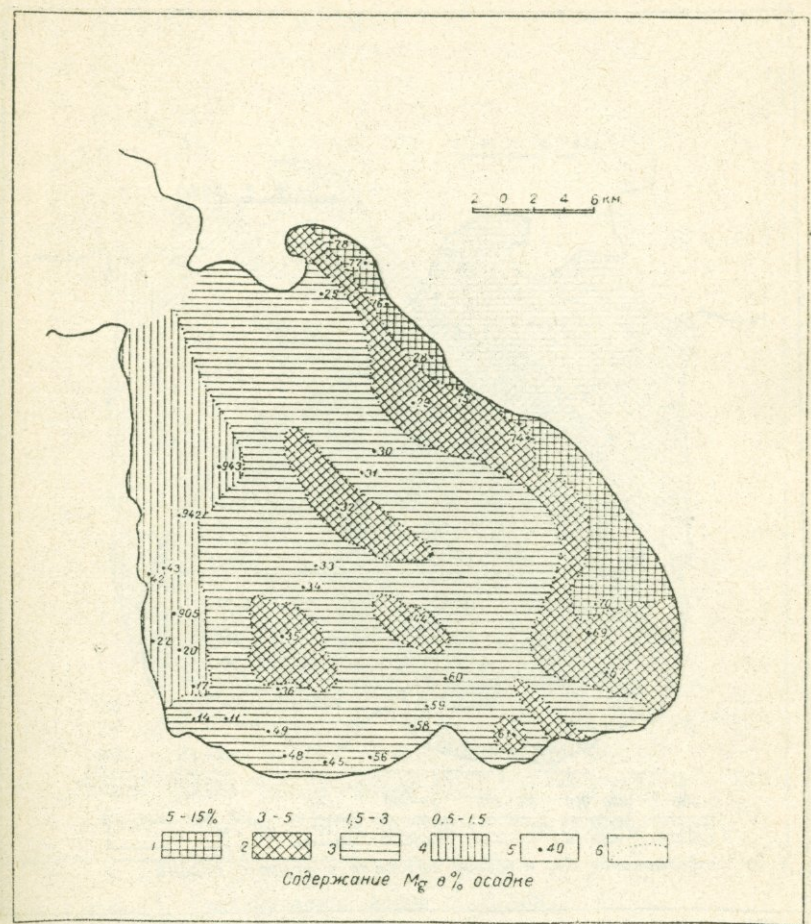


Рис.II. Геохимическая карта оз. Севан.

1-4. Средние содержания Mg (в %) в данных осадках (количественный спектральный анализ). 5. Расположение трубок. 6. Границы содержаний.

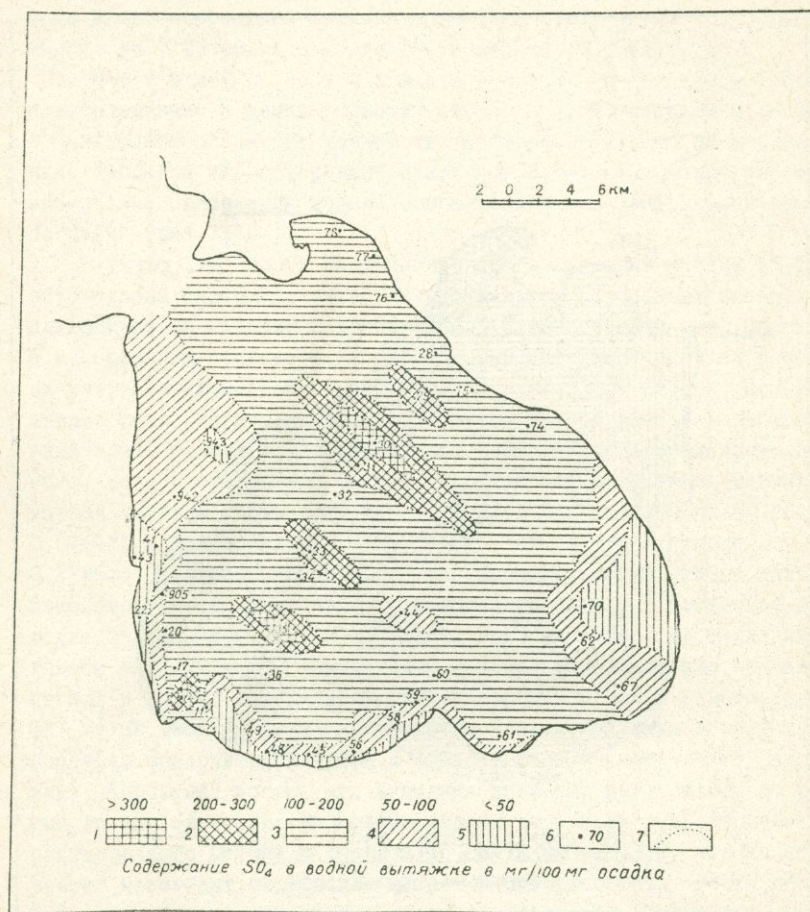


Рис. I2. Геохимическая карта оз. Севан.

I-5. Средние содержания SO_4 в водной вытяжке из донных осадков в мг на 100 г осадка. 6. Расположение трубок. 7. Границы содержаний.

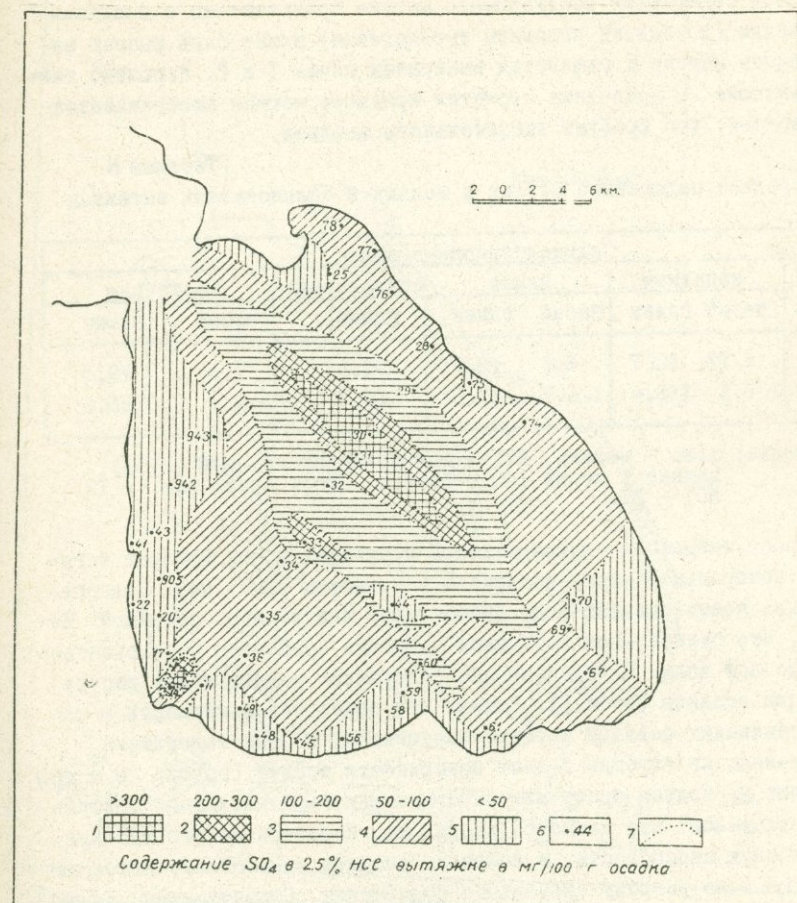


Рис. I3. Геохимическая карта оз. Севан.
1-5. Средние содержания SO_4 в соляно-
кислых вытяжках из донных осадков в мг
на 100 г осадка. 6. Расположение трубок
и номера. 7. Границы содержаний.

ка в водной и до 116-118 мг на 100 г осадка в солянокислой вытяжке. Спад содержания растворимого магния сравнительно с осадками 4-ой пачки (последней половины тысячелетия) может быть вызван закреплением магния в глинистых минералах пачек 3 и 2. Вероятно также повышение за последние столетия привноса магния минерализованными водами, что требует внимательного анализа.

Таблица 8

Среднее содержание магния в водных и солянокислых вытяжках

Породы	Сedimentационные зоны						
	западная		южная	центральная			
	пески	глины	пески	глины			
B.v.	4,57	12,7	6,6	10,74	71,4	7,34	19,3
HCl	120,1	118,4	126,1	133,5	106,3	140,3	128,6

Примечание: в.в. - водная, HCl - солянокислая вытяжка (2,5%),
данные в мг на 100 г осадка. Число проб: в.в. - 12,
HCl - 11.

Особо интересны аномалии хлора и сульфат-иона, которые тяготеют к центральной части котловины и вытянуты вдоль нее. Воднорастворимая часть сульфат-иона преобладает над кислорасторимой. Известно, что сульфат-ион поступает в осадки совместно с захоронением наддонной воды. С глубиной его содержания падают ввиду десульфатизации осадков (табл.3). Однако эта общая закономерность в колонке севанских осадков нередко нарушается, и пики содержаний сульфат-иона на глубине 3-4 м от поверхности осадка (трубка 28 и др.) указывают на подток снизу минерализованных глубинных вод, содержащих сульфат-ион. Что касается хлора, то, несмотря на его высокую миграционную способность, в колонках осадков явно обозначаются латеральные и по разрезу аномальные содержания. Существование центральной аномалии Cl^- и SO_4^{2-} и Mg^{2+} очевидно из сопоставления с фоновыми для озерных осадков содержаниями: хлора-более в 5,5,сульфат-иона - 7,2, магния-26,6 раз. В воднорастворимых содержаниях хлора, сульфат-иона и магния резко преобладает сульфат-ион (соотношение SO_4^{2-}/Cl^- в пределах аномалии колеблется от 2,0 до 21,4).

Наиболее вероятно аномалия хлора, сульфат-иона и магния вызвана разгрузкой в донные осадки, а, возможно, непосредственно на дно бассейна минерализованных вод, поднимающихся по разлому с-з простирания.

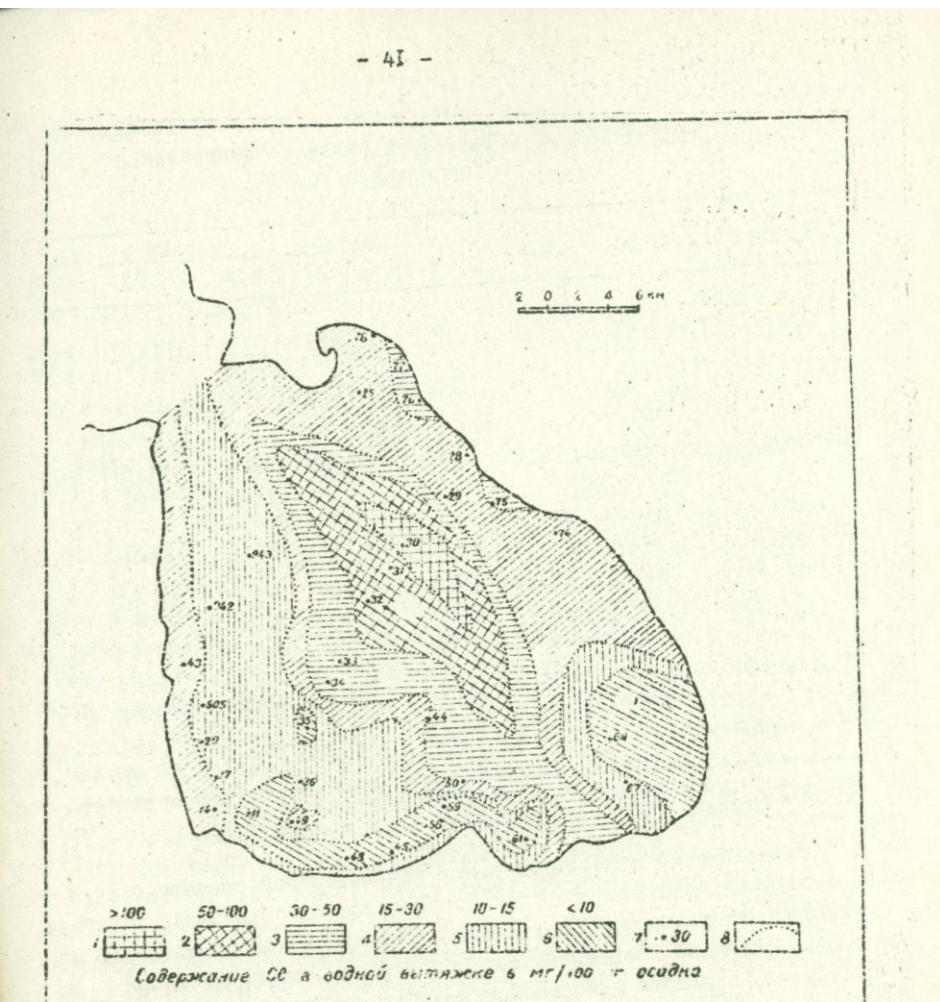


Рис.14. Геохимическая карта сс. Севан.

1-6. Средние содержания Cl в водных
внажках из донных осадков в мг на 100 г осадка.
7. Расположение трубок. 8. Границы содержаний.

Таблица 9

Содержания Cl , SO_4 , Mg в осадках "центральной" аномалии озера

Место отбора	№ осадки	Хлор в.в.	Сульфат-ион		Магний		SO_4^2- в.в./ ‰
			в.в.	HCl	в.в.	HCl	
I. Вся акватория, пачки I + II + III	Глины (ср. от 24 обр.)	40,1	181 ^a	92,8	21,7	116,9	0,5
п. II + III	Пески (ср. от 40)	15,4	101,7	63,6	6,9	129,5	6,6
Пачка IV	Ил.глина, песч., ср. от 120бр.	19,7	307,1	71,4	19,4	135,2	15,6
2. "Центр. аномалия"	301, глина	52,1	704,5	123,5	66,4	124,5	13,5
Трубка 30	302, глина	221,2	1311,5	573,9	183,8	83,8	5,9
Трубка 31	310/311, глина	99,5	199,7	355,1	2,1	186,9	2,0
Трубка 32	320, глина	53,2	1140,6	58,4	26,6	133,4	21,4
Вода озера		62,3	16,9	-	55,0	-	0,3

^a в мг/л, остальные - мг на 100 г осадка.
в.в. - водная, HCl - солянокислая (2,5%) вытяжки.

Формирование минерализованных вод подобного состава обычно связывают с развитием их в соленосно-гипсовых отложениях. Таковые известны на западном берегу озера в разрезе позднего миоценса, но не обнаружены на восточном. Нет повышенных содержаний хлора и не обнаружены признаки гипсонасности в плиоцен-раннечетвертичных молассах подножий Севанского хребта. Остается также неясным в какой мере ответственна за принос магния серпентинизация ультрабазитов.

I.6. Микрофаунистическое исследование донных осадков

Изучены керны трубок, заданных в южной части Большого Севана, на площади приблизительно радиусом 1 км (41 трубка). Несколько трубок были также пробурены севернее указанного участка (№ 42, 43).

Изучение кернового материала проведено С.Н.Бубикян в лаборатории микропалеонтологии ИГН. Указанные отложения отобраны на профилях от прибрежных зон к центральной части бассейна. Литологичес-

ки осадки представляют пески, глины, глинистые пески.

Выявлена пресноводная фауна остракод, принадлежащая семействам: Cytheridae, Cyprididae, Darwinulidae подсем. Ilyocyprinae. Определяются виды: Limnocythere aff. inopinata Baird., L.aff. issyk-kulensis Mench., L. sp. n., Cytherissa bogatschovi Liv., Cyprideis littoralis (Brady), C. tectoria (Jones), Xestoleberis sp., Candona caucasica Bronst., C. neglecta Sars., C. balatonica Daday, C. caudata Kaufman, Candoniella tschelkenica (Kasimova), Eucypris cf. zenceri (Chyzer), E. sevanensis Bub., Cypridea reptans Bronstein, Cypris? sp., Herpetocypris reptans (Faird.), Ilyocypris bradyi Sars, I. gibba (Ramdohr.), Darwinula stevensoni (Br. et Ro.).

Из макрофaуны встречаются: Gastropoda sp., ракушки моллюсков, редко кости рыб и хара.

Сравнительно меньшее распространение имеют виды - Candoniella tschelkenica (Kasimova), Eucypris sevanensis Bub., E. cf. zenceri (Chyzer), Cypridea reptans Bronst., Herpetocypris reptans (Faird.), Darwinula stevensoni (Br. et Ro.). Все эти виды также являются распространенными формами для пресноводных бассейнов. По полученным данным можно сказать, что установленный комплекс фауны остракод, многочисленные представители родов - Candona, Eucypris, Limnocythere, Cytherissa, Ilyocypris подтверждают существование пресноводного бассейна, который имел некоторую склонность к осолонению; последнее следует из присутствия представителей рода - Cyprideis, Limnocythere. Отметим, что комплекс фауны остракод озера Севан имеет некоторое сходство с комплексом остракод среднего энтропогена Северной Киргизии. К числу общих форм относятся виды: Candona neglecta Sars, Cyprideis littoralis (Brady), Ilyocypris bradyi Sars, Limnocythere aff. inopinata (Baird), L. aff. issyk-kulensis Mench.

I.7. Геологическая интерпретация строения дна озера Севан по акустическим и гравиметрическим данным

Акустической и гравиметрической съемкой (Тагиев и др.) выявлены неоднородности строения акваториальной части: разделение на СВ и ЮЗ части примерно по середине Б.Севана. В эхограммах СВ часть в основном представлена "вуальной" записью, которая соответствует крупной зоне гравиметрического градиента (средняя величина градиента - 8-10 мг/км, расчетное сбросовое (?) смещение - до 5-6 км). Геологически эти данные могут интерпретироваться как наличие крутоиздевающих, осложненных разломами "поддонных" коренных (литифициро-

ваниях) пород, скорее всего не молоче сармата. В ю-з пологине Б.Севана выделены участки коряжных пород, которые прекращаются на-дают от оси озера на ю-з, при углах местами до 60° (на участке кре-сторкин II). В этой части озера выраживается склон антиклинали, которая скорее всего представляет гороюобразное поднятие пород обнажитой ассоциации вдоль оси озера (Зенгезурской обнажительной зоны). Отметим, что обнажиты вскрыты на южном берегу скв.Керчах-пир /10/. В ю-з части озера в строении горизонтально залегающего "чехла" выражены зоны повышенного "просвечивания". Они отличаются четкостью записи поверхности горизонтально залегающих тонкослоистых пород до глубины от поверхности дна в 20-30 м. Судя по всему, эти отложения не вытесняют сарикейскую толщу, выступающую вдоль западного берега Б.Севана и изгибающую низами плиоцен, поскольку породы сарикейской толщи, хотя и слабо, но складчаты. Нижняя часть разреза линий осадков, около 25 м, в первом приближении со-поставима с разрезом, вскрытым в устье р.Дзиагет, в верхняя часть разреза (около 8 м) - с обнаженной частью линий осадков района устья р.Аргичи. В этом суммарном разрезе удается обозначить стло-жения голоцене от субарктического этапа (мощность 15 м) к бореальному (II,5 м) и далее к етаптическому (3 м) с переходом к верхней части (до 8,5 м) разреза, характеризующей суббореальный и субат-лантический этапы /90, 91/. Общая продолжительность времени накопления этой колонны осадков до 12 тыс. лет. Если исходить из сред-ней скорости накопления глини центра озера дс 1 мм в год, то за 12 тыс. лет накопилось при такой скорости седиментации 10-12 м осад-ков. Следовательно, скорости накопления 30 м колонны осадков "прос-вечивающихся" участков должны быть выше - до 3 мм в год (средняя). Иначе говоря, среди этих осадков должны быть более грубообломоч-ные осадки, чем глины, возникшие на этапах усиления сноса обломоч-ного материала и обмеления бассейна. Эхограммы этих подробностей строения, к сожалению, не выявляют.

Ю-з часть Б.Севана характеризуется спокойным гравиметрическим полем с простираем изолиний в СВ направлении. На нем взгляд, это направление соответствует структурному продолжению в акватории си-стемы Аргичинских разломов.

Поперечное от Норатусского мыса к Шоргинскому полуострову поднятие ограничивает, как известно, Б.Севан от котловины И.Сева-на. Отмечается асимметричный профиль этого валообразного поднятия и V -образный рельеф пропилинущего вад каньона /52/. Максималь-

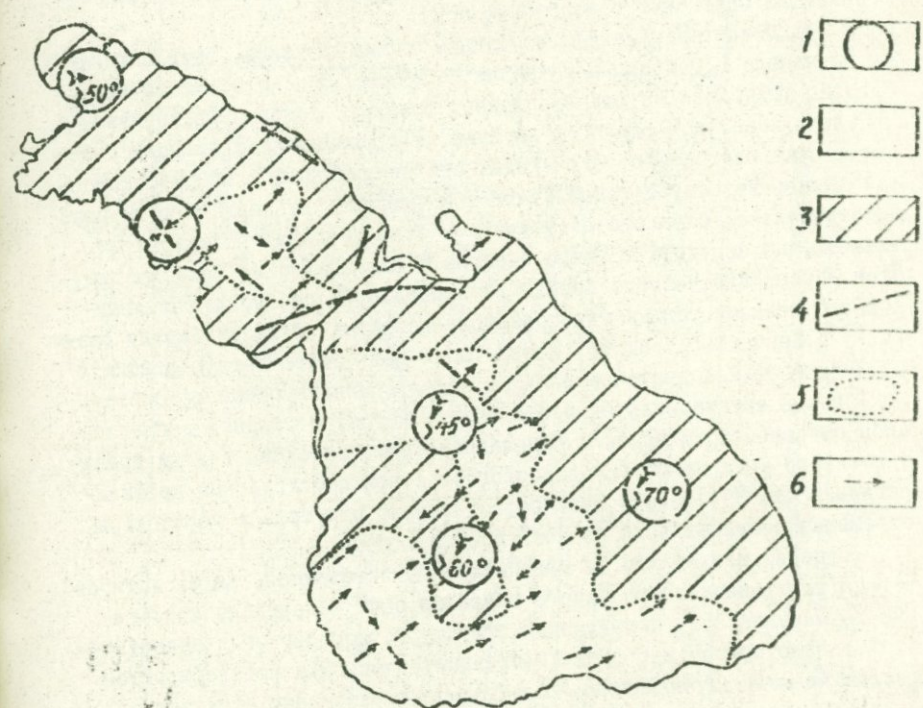


Рис.15. Акустическая карта донных отложений Севана:
1. Участки крестовины. 2. Участки определения
выходов плотных коренных пород. 3. Участки с
"вуалькой" записью. 4. Разломы по данным аку-
стической съемки. 5. Границы зон различной аку-
стической характеристики. 6. Азимут падения
пород (с указанием угла в °).

ные значения аномалии гравиметрического поля в этом пересечении сочетаются с наличием на восточном окончании поднятия четвертичных вулканов, у мыса Нератус и на юго-западном склоне обнаруженные бурением трубок. Как видно, Нор-Баязетский вал приразломный и сопряжен с крупным, антикавказского простирания линеементом, пересекающим Севанскую офиолитовую зону.

Ряд мелких нарушений, по данным эхолотирования, были выявлены на западе Б.Севана, а также на М.Севане. С некоторыми из них связаны углубления в рельефе донных осадков, которые протягиваются вдоль известных разломов на сушу. В гравиметрическом поле Б.Севана, близ осевой его части занимает "центральный минимум". Наиболее он соответствует продолжению в акваторию "Кафанского сегмента". Действительно, со-с его оконтуриваются зоны высоких градиентов сил тяжести, но за пределами границы смазана и однозначно не интерпретируется. Высокоплотностные породы на продолжении габброидного комплекса с мелкими телами гипербазитов, вскрытые на южном берегу озера, у с.Карчакпур, видимо, должны были дать более четкую линейную аномалию. Однако в случае резкого сужения Зангезурской офиолитовой зоны в акваториальной части она не найдет отражения в гравитационном поле, хотя на суше офиолитовая зона отражена в виде гравитационного максимума (Субатанского), а при сейсмическом профилировании (ст."Черепаха") было зафиксировано отсутствие горизонтов отражения обменных волн по всей мощности коры.

Отметим также, что ни гравиметрической съемкой, ни эхолотированием вдоль восточного берега озера не были обнаружены поперечные общекавказскому направлению структуры, которые были закартированы, однако, сухопутной съемкой (гравиметрической) и подтверждаются геологическими наблюдениями по поперечным разрывным структурам склона Севанского хребта. Далее, требует объяснения резкий заворот градиентной зоны сил тяжести из М.Севана от общекавказского направления на ю-з в долину р.Раздан - в какой мере эти вариации поля являются следствием соединения близмеридиональной зоны разломов вдоль долины р.Раздан с Зангезурской офиолитовой зоной, выходящей к долине р.Дзкнагет, либо мы видим эффект влияния на гравитационное поле плющен-четвертичных базальтовых потоков, выполнивших долину р.Раздан и часть озера.

Обобщая рассмотренные данные, обратим вновь внимание на наиболее крупную, выраженную по всей акватории гравитационную ступень вдоль с-з берега озера. Она маркирует наиболее правдоподобно грани-

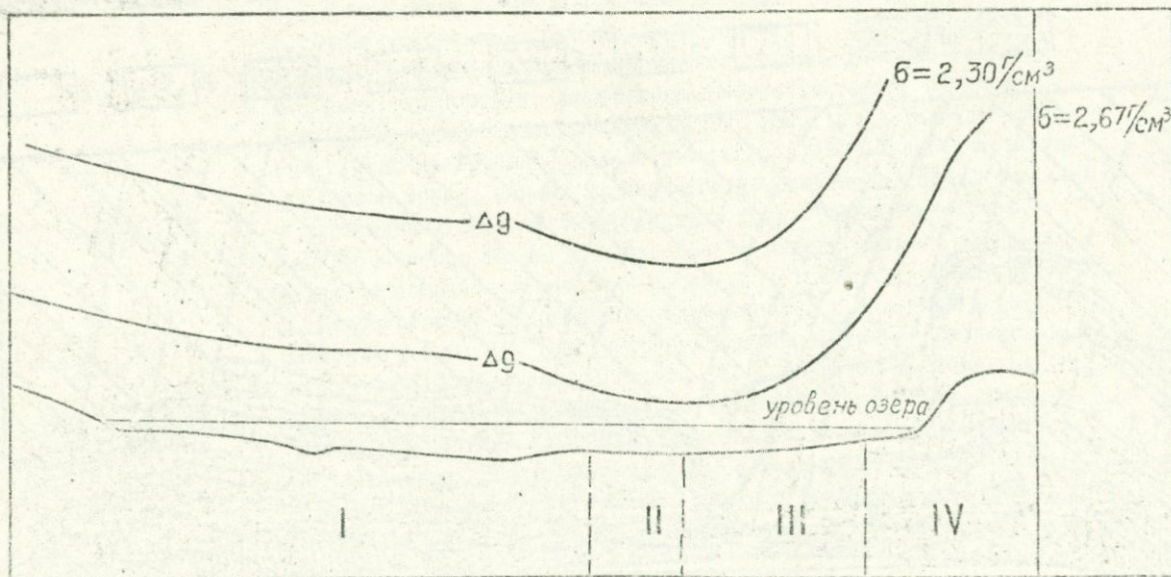


Рис.16. Распределение значений Δg по профилю через оз.Байкал (Севанский хр. - Гегамский хр.). I. Анкаван-Могринская зона. II. Зангезурская обиэлитовая зона. III. Кафанская сегмент. IV. Севанская обиэлитовая зона.

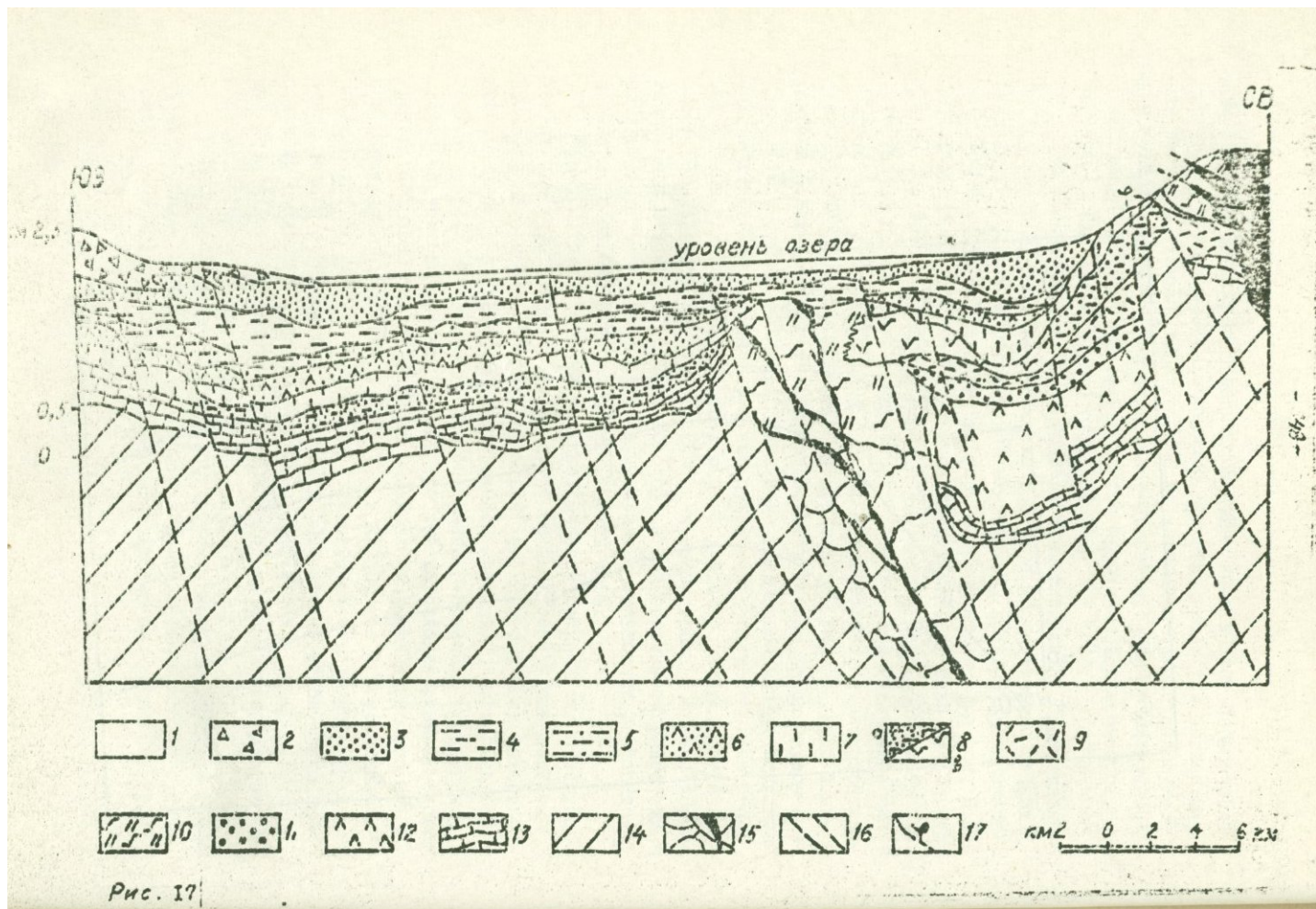


Рис. 17

Рис. I7. Геологический разрез через котловину оз. Севан.

1. Уровень воды озера и современные пляжи (толщина 0,2-0,4 м).
2. Андезито-базальт-пилюцен-лиейстоцен. 3. Равнобиоморфная монолитика, включающая прослой вулканокластики, пилюцен-голоцен.
4. Глины, алевролиты, песчаники, молассовая толща, средний-верхний миоцен.
5. Алевролиты, глины, известняки, вулканомитовые песчаники, ранний-средний олигоцен.
6. Эффузивно-вулканокластическая толща, зонен. 7. Микротекстуры (поздний сенон) и флимоидная терригенно-карбонатная толща (даний-пилюоцен).
- 8а) Граувакновая толща, поздний коньк-ранний сантон, б) эффузивно-вулканокластическая (шельочно-базальтовая) толща, коньк-кампан.
9. Карбонатно-вулканогенная (титоя-неоком) и флимоидная (албесономен) толщи.
10. Кремнисто-вулканогенная толща симолитовой серии, ранний мел-ранний коньк.
- II. Карбонатно-терригенное отложение, оксфорд-кеиловей.
12. Вулканогенно-осадочная толща, ранняя (?) - средняя юра.
13. Терригенно-известниковая толща, средний-верхний палеозой-третес.
14. Древний метаморфический комплекс.
15. Протрузии ультрабазитов и офиолитовый меланж.
16. Разломы крупные (шириной квадратом) и мелкие.
17. Пирразолитовые монолитные покровы.

ци утонения высокоплотных магматических масс - ультрабазитов к юго-западу от водораздельной части Севанского хребта, и ее южная граница представляет крупный разделя в коре - тектонический контакт с сопредельным блоком. Не менее четко обозначается в гравитационном поле зона спокойного расположения изохромаий. Если эту полосу достаточно достоверно можно сопоставить с размещением к западу относительно Севанской офиолитовой зоны другой тектонической - Анкаван-Мегринской зоной, с континентально-коровыми строениями разреза, то возникает проблема "пространства" для Кафанско-Севанского сегмента и Зангезурской офиолитовой зоны. Гравиметрические данные не дают тому четких критериев. Некоторым подтверждением является наличие в близосеверной части бассейна сводового поднятия общекавказского профиля, судя по углам падения коренных пород под осадками плиоцен-четвертичного возраста.

Итак, выявленная на южном берегу озера зона развития офиолитов района с. Карчахпур, подтвержденная сейсмическим профилированием, не нашла достаточного отражения в экватории при интерпретации гравитационного поля.

К отмеченному следует добавить, что мощность донных осадков по результатам эхолокации достигает 8 м на М.Севане - в его южной части, ближе к Нор-Баязетскому валу и она несколько меньше, до 5 м, в Б.Севане. Также необходимо отметить, что в экватории Б.Севана донные осадки западной половины озера оказались менее "илистыми", водонасыщенными, сравнительно с осадками восточной и особенно юго-восточной ее части /33/. Оба отмеченных обстоятельства, на наш взгляд, отражают динамику водонасыщения осадков и прежде всего режим подтока подземных вод.

Завершим этот раздел некоторыми выводами.

Вскрыт трубками разрез донных осадков, мощностью в 4,5 м, среднего - позднего голоцен (с 3-3,5 тыс. лет по настоящее время). В строении колонки голоценовых осадков отчетливо наблюдаются четыре ритма осадконакопления, которые в своей последовательности обозначают развитие Б.Севана от стадий "луж" к максимальному наполнению его водами и затем вновь к некоторому спаду уровня, усугубленному резким техногенным вмешательством последнего пятидесятилетия.

Минеральный состав осадков обнаруживает теснейшую связь с прилегающими водосборами, при этом различия геологического строения южного, восточного и западного обрамлений сказываются не только в терригенном минеральном составе, но и в особенностях аутогенного

минералообразования и, в первую очередь, в накоплении карбонатов. То же сказывается и на геохимии осадков. Средние содержания молибдена, меди, свинца, марганца, хрома и магния в осадках времени до-техногенного развития могут быть уровнями отсчета загрязнения среды на современном этапе в бассейне озера. Выявленные аномалии хлора, сульфат-иона и магния - "центральная" аномалия отражают место разгрузки минерализованных вод ко дну озера.

Намечаемая связь "центральной" аномалии с сейсмоактивным разломом - продолжением на ю-в Памбак-Севанского активного разлома выдвигает "центральную" аномалию в качестве объекта геохимических предвестников сейсмоактивности. Выявленные ореолы рассеивания молибдена, меди, цинка и свинца способствуют постановке на прилегающей суше геохимических поисков первичных концентраций этих элементов.

Необходимы исследовательские работы для изучения влияния указанных аномалий - "центральной" и меди, молибдена и других металлов на жизнедеятельность рыб озерного бассейна, для изучения воздействия на жизнедеятельность возможного резкого усиления подтока минерализованных вод (с хлором, сульфат-ионом и т.д.), что случается при усилении напряжения коры перед сейсмическим шоком. Представляется перспективным изучение воздействия геохимического аномального фона в осадках на икрометание и другие вопросы биологии озерных рыб.

Глава 2. О ГЕОЛОГИЧЕСКОМ СТРОЕНИИ ПРЕДГОРНЫХ РАВНИН

Предгорные равнины в геологическом строении бассейна озера являются связующим звеном от подножий к озерной котловине, особо перспективны в отношении хозяйственного освоения этих пространств. Значительны здесь залежи подземных пресных и минерализованных вод. Поэтому геологическое и сейсмотактическое изучение предгорных равнин, более широких на юго-востоке озера и сокращенных на западе Малого Севана, имеет важное значение для экологии бассейна.

2.1. Стратиграфия и литология моласс среднего(?)—позднего миоцена

Отложения позднего миоцена обнажаются на западном берегу Б.Севана /25/. Более подробно разрез их был изучен при структурном и гидрогеологическом бурении.

Рассмотрим некоторые особенности строения и состава моласс, вскрытых скважиной у с. Ерзнос, в западной предгорной равнине озера. Скважина была задана на выходах сарматской молассы и с первых же метров прошла по разрезу глин, включающих редкие пачки, мощностью до 7-8 м туфов, а так же переслаивающихся с известниками туффитов (интервалы 45-53, 99-106, 155-163 м и др.). Глины коричневато-серые и зеленовато-серые, содержат обуглившиеся растительные остатки, раковины остракод, обломки их, изредка отмечаются пропластки известняков-ракушечников со спикулами губок, остатками фораминифер, тонкослоистых микрозернистых известняков, полимиктовых песчаников. До интервала 884 м в глинах и песчаниках были встречены характерные для среднего-верхнего сармата остатки остракод солоноватых и пресноводных бассейнов: *Cyprideis littoralis*(Brady), *C.punctiflata* (Brady), *C.torosa* (Jones), *Limnocythere suzini* Mamillat., *Ilyocypris gibba* (Randoni), *Gaudena* sp., *Candona schubiae* Mandelst., *Eucypris hradenica* Bub., и фораминифер — *Quinqueloculina gracilis* Karrer, *Rotalia minima* Sahak., *Almaena krasanica* (Sahak.), *Cassidulina* sp. и редкие гастроноды.

В нижележащих отложениях до забоя скважины — 1139 м в темно-серых, почти черных глинах, алевролитах, содержащих остатки растений и рыб, прослоях песчаников и реже туффитов, отмечены редкие фаунистические остатки. Но они не позволяют определить возраст имеющих пород. Литологически эта часть разреза более сходна с низами верхнего миоцена Примореванского прогиба. В другой скважине,

пробуренной у с. Арцвакар. Вскрыт сходный разрез глин с пропластками алевролитов, песчаников и туфлитов. На глубинах до 411 м в глинах обнаруживаются остатки остракод, гастropод, рыб, по которым эта часть вскрытого разреза может быть отнесена к сармату (включая визы сармата).

Интервал от 411 до 562 м, слагаемый плотными глинями и песчаниками, с небольшой каменной соли и пропластками гипса (глубина 780 м), содержит остракоды *Limnocythere* и редкие *Candonicella* sp. В согласности с данными палеонтологического анализа этот интервал может быть отнесен к гипсонасенно-соленосной толще среднего миоцене, развитой в Приереванском прогибе. В пределах южной предгорной равнины у с. Карчахлюр также был вскрыт сходный разрез верхнего миоцена. В разрезе скважин на гл. 290 м была вскрыта маркирующая пачка розовато-красных туфов (15 м) плиоцена (нижн.). Сарматский комплекс в скв. I-Карчахлюр был вскрыт на интервале 310-410 м. На сарматский возраст этой толщи указывает фауна остракоды: *Cyprideis littoralis* (Brady), *C. torosa* (Jones), *Cytheridea* sp., *Limnocythere suzini* Bob., *Xestoleberis* (?) sp., *Eucypris brazdeanica* Bul., которые, по заключению С. А. Бубикян, характерны для среднесарматских отложений Присеванского, Октемберянского прогибов. Из мелких фораминифер в этом же списке присутствует *Quinqueloculina* aff. *gracilis* Karrer., характерный вид для сарматских отложений Приереванского района.

С глубины 410 до 870 м скважина волна в вулканогенные породы, относимые к офиолитовой серии. В пределах восточной предгорной равнины сарматские отложения были вскрыты скважиной 3, которая была заложена вблизи северной окраины с. Кясамен. С глубины 93-238 м скважина вскрыла валунно-галечичные нижне-среднечетвертичные отложения. На интервале 238-376 м была вскрыта песчано-глинистая толща, в которой были определены остракоды, характерные для сарматского яруса.

Отложения верхнего сармата-маотисса вскрыты скважиной 4 (ст. Насосная) на глубине 519 м под толщей плиоцен-четвертичных рыхлых отложений Масрикской равнины.

Разрез, вскрытый в интервале 519-710 м скважиной № 4, имеет следующее строение (схему-кверк):

1. В забое скважины (глубина 710 м) пройдены бледно-салатовые глины, содержащие остракоды, мощность 10,9 м.

2. Бледно-салатовые глины с пачками, прослонами глинистых алевро-

литов. Повсеместно присутствуют остракоды, мощность 10,5 м.

3. Бледно-салатовые глины с прослойями глинистых песков или же песчанистых, алевритистых глин мощностью от 10 до 50 см, мощность 76,0 м. Порода на всем интервале содержит остракоды. На интервале 668-669 м глины переполнены ядрами и отпечатками мактру плохой сохранности, сходными с *Mactra rosolica* Eich., *M. tikeida* Zieisch., *M. caspia* Mich. (определения И.П. Паремоновой). Родовые определения мактру предположительны из-за плохой сохранности строения замка и внутренних поверхностей двусторонок. Предположительно возраст отложений позднесарматский.

4. Алевритисто-песчанистая глина с редким мелким гравием. Мощность 1,2 м.

5. Бледно-салатовые глины с тонкими прослойями глинистых песков, достигающими 30 см. Мощность 15,0 м. Повсеместно присутствуют остракоды.

6. Светло-серая с зеленоватым оттенком грубопесчанистая глина с примесью мелкого-крупного гравия (10-15%) разной степени окатанности. Мощность 12,4 м. Состав обломков: дазиты, серпентиниты, известняки. В середине пачки светло-серая алевритистая глина. По всему интервалу встречаются остракоды.

7. Светло-серые с зеленоватым оттенком глины, с тонкими (5 см) прослойями среднезернистого песка и гравия. Мощность 5 м.

В кровле пачки встречаются плоскоокатанные гальки андезито-дазитов размером до 3 см. В глинистых песках встречаются остракоды.

8. Светло-серые с фиолетовым оттенком глинистые пески с примесью мелкого, хорошо окатанного гравия из известняков, дазитов в кровле и основании пачки. Мощность 3,2 м.

9. Бледно-салатовые глины с остракодами. Мощность 8,2 м.

10. Зеленовато-светло-серые глины с редкими прослойями розоватых супесей с примесью угловато-окатанного гравия и песка. Мощность 6,6 м.

II. Коричневато-серая песчанистая глина с редкой примесью угловато-окатанного гравия и мелкой гальки (1-3 см) андезитов, яшм, известняков, диабазов и довольно крупных обломков (до 5 см) плотной белой квадрикитовой (?) глины. Мощность 42 м.

Суммарная мощность разреза 191 м.

Рассмотрим главные типы пород молассовой толщи позднего миоцена.

Глины. В разрезе скв. Карчахпир-1 составляют до 54% от общей мощности сармата. Порода светло-серая, зеленовато-серая, комковатая, местами ожелезненная, содержит остатки остракод и фораминифер. Глины алевритовые, реже песчано-алевритовые. Алевритовый компонент представлен кварцем (8%), плагиоклазом (5%), вулканическим стеклом (2%), единичными зернами пироксена, роговой обманки обыкновенной, эпидота, кальцита, обломков хлоритизированных андезито-базальтовых туфов. Размеры зерен и обломков пород 0,01-0,1 мм. Встречаются редкие раковины фораминифер. В разрезе скважины Еранос-1 глины составляют 68% от общей мощности. Породы зеленовато-серые, темно-серые, почти черные за счет обилия органического вещества. Текстура полосчатая, часто встречаются скопления пирита, который развивается также по трещинам. Встречены глины песчано-алевритовые и реже известковистые.

В разрезе скважины Кясаман-3 глины составляют до 38% от вскрытой мощности сармата. Отличаются обилием офиолитокластической алевритовой примеси.

Карбонатные породы. В разрезе скв. Карчахпир-1 составляют 19% от общей мощности пород. Представлены известняками глинистыми и алевро-глинистыми и редкими пропластками органогенно-детритовыми.

В известняках глинистых и алевро-глинистых основная масса породы состоит из мелковзернистого кальцита, участками среднезернистого и глинистого вещества в виде сгустков. Содержание глинистого компонента достигает 40%. В основной массе рассеяны алевритовой размерности единичные зерна кварца, плагиоклаза, вулканического стекла, моноклинного пироксена, амфибола, циркона, эпидота, обломков эффузивных, кремнистых и осадочных пород. В алевро-глинистых разностях содержание компонента алевритовой размерности составляет до 20%, встречаются обломки эффузивных пород андезито-базальтового состава, размером до 0,3 мм.

Известняки органогенно-детритовые, сложены цельными раковинами гастропод и детритом, раковинами фораминифер, остракод. Терригенная примесь (до 10%) представлена зернами плагиоклаза, роговой обманки обыкновенной и базальтической, тематитом, гидроокисями железа, обломками эффузивных, кремнистых и глинистых пород. Размеры зерен и обломков 0,01-0,1 мм, иногда 0,6 мм.

Карбонатные породы в разрезе скв. Еранос-1 составляют до 5% от общей мощности. Породы серые, темно-серые, иногда тонкослоистые, с обогащением некоторых слойков обуглившимися растительными

Таблица 10

Химический состав глин

№/п	Компоненты в процентах												Сумма	
	SiO ₂	TiO ₂	Al ₂ O ₃	Fe ₂ O ₃	FeO	CaO	MgO	MnO	Na ₂ O	K ₂ O	P ₂ O ₅	и.д.п.	H ₂ O	
1.	58,02	1,17	19,75	3,28	0,56	2,84	0,56	0,06	2,20	2,20	0,08	6,24	3,68	100,64
2.	50,50	0,65	19,19	4,06	0,56	3,08	4,76	0,36	2,40	1,10	0,08	7,32	6,60	100,66
3.	49,40	-	17,53	0,26	3,05	8,26	6,26	-	1,50	2,10	-	7,66	4,03	100,06
4.	46,53	-	16,89	0,18	5,46	13,35	10,48	-	1,30	1,40	-	3,35	0,84	99,78

1. Обр.9/14 . Скв. I-Карчахнор, гл.344-350 м. 2. Обр.15/23 . Скв. I-Карчахнор, гл.361-362.

3. Обр.566, скв. I-Еранос, гл.260-264 м. 4. Обр.574. Скв. I-Еранос, гл.308-312 м.

Хим.лаборатория ИГН АН АрмССР, аналитик Барсегян М.

остатками. Под микроскопом различаются известняки плинистые и разные органогенно-полидетритовые.

Известники органогенно-полидетритовые состоят из скрепленных мелко- и среднезернистым конгломератовым цементом (до 40%) остатков фораминифер, остракод, спикул губок, ишаков, водорослей, органического шлама. Примесь пирокластики (до 5%) представлена бурым вулканическим стеклом. Отмечаются плагиоклаз (2%), единичные зерна кварца, пироксена, роговой обманки обыкновенной, обломки эфузивных и кремнистых пород. По солянокислым вытяжкам можно полагать присутствие в известняках доломита (от 3 до 9%).

Песчаники. В разрезе скв. Карачхан-І песчаники составляют до 7% от общей мощности. Порода светло-серая. Состав полимиктовый, структура мелко- и среднезернистая, псаммитовая. Обломочный материал представлен кристаллами плагиоклаза свежего, полисинтетически сдвойникованного (до 5%), глинизированного и хлоритизированного вулканического стекла (до 20%), единичными зернами кварца, моноклинного пироксена, роговой обманки обыкновенной и базальтической, биотита, рассеянными скоплениями рудных минералов — магнетита, гематита, гидроокиси железа. Обломки пород (до 30%) окатанной, полускатанной и неправильной формы, представлены андезитом, андезито-базальтом, редко кремнистыми, глинистыми и карбонатными породами. Отмечаются раковины остракод. Цемент состоит из мелко- и среднезернистого карбоната (кальцита), участками глинизированного. Тип цементации смешанный. В разрезе скв. Еранес-І песчаники составляют 9% от общей мощности пород по разрезу. Порода серая, зеленовато-серая, разнозернистая, с включениями угловатых, полускатанных галек алевритовой размерности. Отмечаются раковины остракод, рыбьи остатки, обуглившийся растительный дебри. Цемент хрупкий, известковый. Резливаются по структуре мелко-, средне-, крупно- и грубозернистые псаммитовые разности. Обломочный материал состоит из призматического плагиоклаза свежего, полисинтетически сдвойникованного (до 25%), амфибола (5%), биотита (до 2%), единичных зерен кварца и моноклинного пироксена, хлоритизированного вулканического стекла. Обломки пород представлены андезитом и андезито-базальтами, редко базальтами. Встречаются редкие обломки глинизированных туфов, обломки кремнистых, глинистых и карбонатных пород. Цемент (20-30%, изредка — 65%) мелко-среднезернистый, глинисто-карбонатный. Тип цементации контактный и поровый, чаще смешанный. Отмечаются остатки остракод.

Таблица II

Химический состав песчаников и туфов

№ п/п	SiO_2	TiO_2	Al_2O_3	Fe_2O_3	FeO	MnO	CaO	MgO	Na_2O	K_2O	P_2O_5	Н.п.п.	H_2O	Сумма
1.	40,18	0,39	14,44	1,09	1,13	0,06	15,46	3,86	2,40	1,10	0,04	12,10	8,32	100,53
2.	49,74	0,07	17,77	3,64	-	0,02	11,66	2,71	1,70	2,00	0,23	6,08	5,00	100,62
3.	45,00	0,07	20,05	1,41	2,33	-	11,41	4,57	3,00	0,60	0,23	7,55	4,30	100,52
4.	40,95	-	16,33	1,00	4,09	-	20,92	7,84	0,48	0,33	-	5,00	3,05	99,99
5.	60,04	-	15,71	3,52	0,56	-	6,90	2,17	1,80	1,75	-	4,71	3,15	100,00
6.	55,10	-	18,05	2,62	-	-	8,06	1,39	1,70	0,80	-	9,05	3,76	100,53

1. Обр. II/16 . Скв. I-Карчахпюр, гл.350-352 м. 2. Обр.I9/29 . Скв. I-Карчахпюр, гл.368-369 м.
 3. Обр.682. Скв. I-Еранос, гл.747 м. 4. Обр.709. Скв. I-Еранос, гл.859-860 м. 5. Туф пелитовый
 (глинизированный). Обр.540. Скв. I-Еранос, гл.157-159 м. 6. Туф лято-кристалло-витроклассичес-
 кий. Обр.3I/44 . Скв. I-Карчахпюр, гл.395-397,5 м.

Туфы апovитрические. Преобладают среди пирокластических пород. В разрезе скважины Карчахпюр-1 суммарное количество туфов не превышает 10%. Представлены пелитовыми разностями. Структура микрокристаллическая. Под микроскопом пелитовая структура сохранилась лишь участками. Новообразование по пеплу выражается в глинизации. По химическому составу туфы андезито-дацитовые.

Пропластки апovитрического туфа (туффита?) пелитовой размерности встречаются также по разрезу скв.Кисаман-3. В них определяется примесь (до 6%) обломков серпентинита, единичные раковины фораминифер. Пирокластические породы вскрыты также в разрезе скв. Еранос-1. Цвет их зеленовато-серый, темно-серый. Выделяются туфы витрокластические, кристалло-витрокластические и апovитрические.

Туфы кристалло-витрокластические. Основная масса породы состоит из осколков глинизованного вулканического стекла пелитовой размерности. По стеклу участками развиваются карбонат и хлорит. Кристаллокластика алвитовой размерности (15-18%) представлена кварцем, плагиоклазом, пироксеном, роговой обманкой, эпидотом, карбонатом. Отмечаются литокласты хлоритизированного туфа, кремнистых и осадочных пород. По химическому составу это андезито-базальтовые туфы.

Алевролиты. В разрезе скв.Карчахпюр-1 алевролиты составляют 10% от общей мощности пород. Макроскопически светло-серые, в низах светло-коричневые, участками окжелезненные, оскольчатые, плотные. Обломочный материал превалирует над мелко-среднезернистой карбонатной цементирующей массой. Количество плагиоклаза составляет более 20%, обломки пород (10%): андезиты, андезито-базальты, редко серпентиниты.

В разрезе скв.Еранос-1 алевролиты составляют 8,5% от общей мощности пород. Отмечаются редкие включения мелких галек, острокод и обломков ракушек. Порода светло-серая, зеленовато-серая и светло-коричневая. Обычны окжелезненные примазки, обуглившиеся растительные остатки. Контакт с песчаниками неровный, переход резкий.

Под микроскопом обломочный материал представлен плагиоклазом (до 40%), единичными зернами кварца, ромбического пироксена (типерстен), роговой обманки обыкновенной, биотита. Небольшой процент составляют обломки андезитовых и андезито-базальтовых порфиритов, кремнистых, глинистых и карбонатных пород.

Кратко изложим основные особенности минералогии молассовой толщи. Рассмотрим вначале минералогию глин и глинистой примеси в

алевро-псаммитовых отложений.

Изучалась выделенная фракция $< 0,001$ мм электронно-микроскопическим и рентгеновским методами. Образцы сняты на ДРСН-2 Сод излучения при скорости синхронизации 2° в минуту. Исследованы природные образцы и насыщенные глицерином. Выявляются следующие глинистые минералы.

Монтмориллонит на рентгенограммах, насыщенных глицерином, фиксируется по циклической серии рефлексов с $d/001/ = 17,8 \text{ \AA}, 8,9 \text{ \AA}$ и т.д. После прокаливания интенсивность отражения, $\approx 10 \text{ \AA}$, резко усиливается вследствие дегидратации минерала. Монтмориллонит - диктазидический - $d/060/ = 1,50$, на электронно-микроскопических снимках фиксируется в виде чешуйчатых агрегатов с размытыми контурами. Значительное содержание монтмориллонита видно на дифференциальных кривых нагревания, на которых фиксируются характерные для этого минерала эндоэффекты.

Пальгorskит фиксируется на электронно-микроскопических снимках в виде многочисленных тонковолокнистых и игольчатых кристаллитов. На рентгенограммах образцов фиксируются характерные для пальгorskита отражения с $d = 10,3 \text{ \AA}, 4,48 \text{ \AA}, 3,20 \text{ \AA}$; на электронограммах - рефлексы /011/ с $d = 10,5 \text{ кх}$.

Гидрослюдя диагностируется по интенсивному рефлексу с $d/001/ = 10 \text{ \AA}$ на рентгенограммах природных образцов, который изменяется после их прокаливания и насыщения глицерином. Структура диктазидическая, модификация IM и $2M_1/2M_1 IM$, параметры ячейки - $a = 5,18 \text{ кх}, b = 8,96 \text{ кх}, c = 10,1 \text{ кх}, \beta = 100^{\circ}$ (для $2M_1 c = 19,6 \text{ кх}, \beta = 95^{\circ}$). Помимо минералов глинистых пород исследовались также глинистый компонент песчаников (цемент песчаника), известковых, туфогенных отложений.

Породообразующими глинистыми минералами являются монтмориллонит или монтмориллонит и пальгorskит. Гидрослюдя в качестве второстепенной примеси присутствует в некоторых образцах скважин у с. Керчахпир и Касман. По разрезу скв. Еранос-1 гидрослюдя встречается постоянно, а с гл. 800 м содержание ее значительно возрастает.

В распределении монтмориллонита и пальгorskите по разрезу скв. Керчахпир-1 намечаются признаки ритмичности.

На электронно-микроскопических снимках частицы гидрослюды имеют явно обломочный облик. Очевидно сходство с составом глинистых минералов позднемиоценовой разданской свиты Приереванского района по содержанию монтмориллонита, гидрослюды и пальгorskите. Исключение составляет хлорит, характерный глинистый минерал разде-

ской свиты. В глинях миоценовых моласс бассейна оз. Севан этот минерал не зафиксирован. Смешанно-слойные образования типа монтмориллонит-гидрослюдя отсутствуют.

Итак, глинистые минералы миоценовых (сарматских) моласс бассейна оз. Севан характеризуются следующей ассоциацией: а) гидрослюд-палигорсит-монтмориллонитовая (шр.-юго-западные области); б) палигорсит-монтмориллонитовая с неизменным и незначительным содержанием гидрослюды (юго-восточные области).

Примем некоторые особенности гранулеметрического и минералогического состава алевролитов и песчаников моласс.

Алевролиты и песчаники по механическому составу относятся к группе хлодолитов. Минералогически исследованы фракции 0,01-0,25мм в иммерсионных препаратах (около 300 препаратов, из них 225 - по скважине Еранос-1). Минеральный состав молассовых отложений характеризуется преобладанием кварца, пылевого шпата; в тяжелой фракции определяются пироксены, амфиблы, биотит, акцессорные - циркон, гранат, тремолит, никотит.

В западной зоне минеральный состав алевро-иссаммитовых отложений заряжает значительно. В самой общей форме отметим, что встречаются кварц (ед.э.-5,0%), вулканическое стекло (до 10%), плагиоклаз (до 40%), магнетит (до 80%), тематит (до 40%), диопсид (до 5%), гиперстен (до 10%), роговая обманка обыкновенная (до 50%), актинолит (до 2%), тремолит (до 3%), глаукофен (до 1%), циркон (до 9%), гранат (до 2%), никотит (до 50%), эпидот (до 40%), биотит (до 12%). Определяется также пирит (до 90-100%).

В южной и юго-восточной части развития моласс обычно встречаются кварц (до 8,1%), плагиоклаз (до 40%), гидроокислы железа (до 10%), магнетит (до 40%), ильменит (до 3,3%), гематит (до 20,9%), циркон (до 13,2%), авгит (до 5%), биотит (до 0,8%), эпидот (до 71%), часто обнаруживаются никотит, рутил, диопсид, гиперстен, роговая обманка обыкновенная, барит, целестин, цоизит.

В восточной части во всех пробах выявляются кварц (до 4%), плагиоклаз (до 15,0%), вулканическое стекло (до 5%), выветрелые и глинистые минералы (до 88,0%), гидроокислы железа (до 13,5%), магнетит (до 60,0%), ильменит (до 3,5), гематит (до 6,6%), никотит (до 1,5%), гранат (до 1,0%), циркон (до 0,5%), авгит (до 1,0%), диопсид (до 7,5%), роговая обманка обыкновенная (до 6,0%), актинолит (до 7,0%), базальтическая роговая обманка (до 3,5%), биотит (до

2,0%), эпидот (до 2,7%), разложенные и полуразложенные зерна (до 23,2%).

Итак можно отметить, что ассоциации обломочных минералов моласс разных зон как породообразующих, так и акцессорных минералов не слишком резко отличны (табл. I2).

Таблица I2

Особенности минерального состава моласс
разных частей басс.оз. Севан

Минералы	Скв. Еранос-І (западная часть)	Скв. Керчакпур-І (южная часть)	Скв. Кясемян-І (восточная часть)
Пирит	часто 100% фр.	нет или редко	нет
Активолит	ед.з.-10,0%	редко	0,5-7,0%
Тремолит	ед.з. - 3,0%	нет	10,0-34,0%
Глаукофан	ед.з.-1,0%	нет	нет
Ильменит	спорадически	ед.з.-3,3%	ед.з.-0,6-3%

Обращает внимание, что, хотя базит-ультрабазитовый комплекс выступает лишь на востоке (Севанский хребет), все же минералы, связанные, вероятно, с ним, определены в составе моласс и западной части озера (скв. Еранос-І) - активолит, тремолит, глаукофен, никотит. Геологическое строение этой полосы, как известно, маскируется продуктами новейшего вулканизма.

В заключение отметим, что перагенез обломочных породообразующих минералов моласс, а также их морфологические особенности все же обнаруживают тесную пространственную связь с предполагаемыми питающими провинциями. Имеются прямые признаки периодического влияния на седиментогенез синхронного вулканизма.

Аутигенное минералообразование в молассах имеет второстепенное место. Следует также отметить, что процессы преобразования пород - девитрификация, кальцитизация, слабо выраженная перекристаллизация обломочных фрагментов и цемента в алевролитах и песчаниках, а также ассоциации глинистых минералов соответствуют начальному катагенезу - такой уровень постседиментационного преобразования моласс.

Содержания малых химических элементов в молассах приведены в табл. I3. В отложениях, вскрытых скв. Еранос-І, содержание Mn , Co , Cu , Sr в два раза превышает кларк, Ni - в три и Cr - в четы-

Таблица 13

Среднее содержание мелких химических элементов в молессах

Скважина	Тип породы	Кол-во опред.	Элементы в п. - 10 ⁻³ %											
			Mn	Ni	Co	Tl	V	Cr	Zr	Sr	Ba	Ca	Cu	Sr/Ba
Бранс-1	Песчаник	8	30	20	2,2	400	10	20	20	40	20	1	10	2,0
-"-	Алевролит	19	100	20	5	400	10	40	20	50	10	1	10	5,0
-"-	Глина	66	130	30	4,8	300	10	40	20	80	20	4	10	4,0
-"-	Известняк	7	200	10	2,4	130	10	10	10	60	8	0,3	5	7,5
Карчакпур-1	Песчаник	2	50	4	1	400	7,8	4,9	10	30	10	1	5	3,0
-"-	Алевролит	7	40	6	1	300	16,1	7	6	20	10	1	7	2,0
-"-	Глина	10	40	6	1	300	1	10	6	20	10	1	6	2,0
-"-	Известняк	10	30	3	1	150	6	4	4	20	8	0,4	3	2,5
Кясаман-3	Песчаник	3	40	30	1	180	3	10	4	20	10	0,4	3	2,0
-"-	Алевролит	6	80	40	2	350	7	26	6	13	10	0,5	5	1,3
-"-	Глина	5	150	8	1	340	5	16,6	6,6	10	10	0,4	4	1,0

Таблица 14

Содержания малых химических элементов в тяжелой фракции молассовых отложений

Элементы в $\mu \cdot 10^{-2}\%$	Скважина Еранос-1				Скважина Карчахинер-1				Кисаман-3	
	Песчаники (6 обр)	Алевролиты (6 обр)	Глины (16 обр)	Известняки (2 обр)	Песчаники (1 обр)	Алевролиты (4 обр)	Глины (4 обр)	Известняки (6 обр)	Алевролиты (2 обр)	
N	10-200	1,5-200	2,8-660	137-160	2,7	0-32	6,6-14	0-II	0-27	
	120	100	97	100	2,7	18	9	8	13,5	
Ca	3,7-42	4-56	0-120	2,1-8,7	1,8	0-15	2,1-9,4	0,7-7	0,9-5,8	
	26	15	20	5	1,8	6,5	5	6	3,35	
V	15-180	1,2-180	0-60	3-4,7	2,2	0-60	24-144	сл.-53	2-32	
	70	45	14	39	2,2	48	56	33	28,5	
Cr	II-560	13-560	0,8-820	12-49	30	40-550	33-1375	130-1250	56-570	
	200	240	130	30	30	340	570	610	560	
Zr	100-560	23-200	10-1000	25-54	30	0-1600	27-1700	0-1615	20-35	
	310	110	190	40	30	570	330	410	27,5	
Mo	0-0,3	0-0,8	0-2,6	0,2-0,36	0,08	0-I,5	0,25-I	0-0,84	0,8	
	0,20	0,40	0,20	2,7	0,08	0,6	0,5	0,36	0,8	
Cu	28-50	0,03-100	2,2-155	38-49	18	2,5-21	I-20	0,44-40	20-22	
	37	40	70	43	18	II	3,8	14	27	
Zn	74-II0	4,2-320	0-4,8	87,5-600	32	17-81,2	20-75	0-150	15-75	
	40	140	89	540	32	50	44	52	45	
Pb	5-240	3-42	2,4-29	24-37,5	I,5	0-155	0,55-4	0-16	4-3-4,5	
	84	16	12	30	I,5	0,63	1,8	9	4,4	
Выход тя- желой фр. в %	0,03	0,07	0,07	0,10	0,15	0,20	0,20	0,05	0,11	

Примечание: в числителе – колебания значений, в знаменателе – среднее.

ре раза; Ti, V, Zn и Ga - на уровне кларака; содержание бария значительно уступает клараку. В породах, вскрытых скв. Карчахпир-1, содержание Mn, Ni, Cu, Ti, Cr на уровне кларакового, остальных - значительно уступает клараку. В разрезе скв. Кисаман-3 содержание Mg, в два раза превышает кларак; Ni, Cu, Ti, Cr на уровне кларака, остальные - значительно меньше кларакового.

Средние содержания малых элементов семейства железа, циркония и стронция в молассах западной зоны оказываются высокими, то же выявлено для содержаний никеля, кобальта, ванадия.

Мы не знаем достаточно достоверно, каковы были питающие провинции позднего миоцена, но вероятно, что они включали выходы оливин-базитового, а, возможно, и гипербазитового состава в пределах западной или юго-западной частей бассейна (Кжно-Гегамское поднятие миоцена). Либо это были обломочные толщи палеогене, насыщенные этим материалом. Так или иначе, вопрос этот представляет несомненный интерес - что погребено под верхнеплиоцен-четвертичными лавами и сарматскими молассами Гегамского нагорья.

2.2. Стратиграфия плиоценовых отложений

Вулканогенно-ссадочные образования плиоценового возраста имеют значительное распространение. Ввиду неполной мощности отложений вертикальное распространение комплексов остракод остается менее ясным, более уверенно можно их отнести к плиоцену, отчасти, возможно, к верхнему плиоцену, судя по значительному количеству вкраплых-епимеронских остракод.

Наиболее полным разрезом плиоценовых отложений западного берега является разрез, вскрытый скв. I-Норамен в районе с. Норамен (снизу-вверх):

1. Глины серовато-коричневые, песчанистые, плотные, оскольчатые. Мощность 637,5 м. Содержат остракоды: *Cyprideis littoralis* (Brady), *Limnocythere pliocenica* Suzin, *L.inopinata* (Baird), *L.sevanensis* Bub., *Leptocythere naphtalanica* Kad., *Caspicypria candida* Liv., *Ilyocyparis gibba*(Ramdohr), *Candonia* sp., *Candoniella pallucida* Schn. Из микрофaуны встречаются гастроподы, дрейссени и кости рыб.

2. Пески светло-серые, пемзовые, мелковернистые, рыхлые. Мощность 10,0 м. Содержат редкие остатки остракод: *Limnocythere pliocenica* Suzin, единичные дрейссени и диатомеи.

3. Ракушняк коричневый, с глинистым цементом, рыхлый - 10,0м.

Содержит остракоды: *Cyprideis littoralis* (Brady), *Limnocythere pliocenica* Suzin, *Cyclocypris regularis* Schm., *Candonia angulata* Miller, *C.novicula* Schm., а также гастроподы и дрейссении.

4. Глины светло-коричневые, скользящие, в нижней части с тонким прослойем песчаника - 180 м. Содержат следующие виды остракод: *Cyprideis littoralis* (Brady), *Leptocythere naphtalanica* Kad., *Limnocythere torquireticulata* Suzin, *L.ornamentata* Schw., *Cytherissa naphtatschelana* (Liv.), *Caspicocypris candida* (Liv.), *Candonia caavis* Mand., *Candoniella schubinae* Mand., *Potamocypris* ? sp., выявлены также гастроподы, дрейссении и кости рыб.

5. Пески серые, мелковернистые, хорошо отсортированные - 7,0 м. Содержат редкие остракоды: *Cyprideis littoralis* (Brady), гастроподы и дрейссении.

6. Глины светло-коричневые, плотные, скользящие - 162 м. Содержат многочисленные остатки остракод: *Cyprideis littoralis* (Brady), *Leptocythere naphtalanica* Kad., *Limnocythere angulata* Mand., L. sp., *Cytherissa bogatschevi* (Liv.), *Cyclocypris regularis* Schm., *Cypris globosa* sp.n., *Candonia angulata* Miller, *Candoniella marchidea* Bod., *C.schubinae* Mand. Выявлены также гастроподы, дрейссении и макрорвидные формы.

Приведенный комплекс остракод характерен для верхней части плиоценена, в основном акватична.

Сходный разрез глинистых диатомитов, глин и песков, мощностью до 18 м, условно относимых к плиоцену, обнажается у "Норатусского мыса", в 5 км к северо-востоку от сел. Норатус, на правом берегу моссейной дороги Норатус-оз. Севан.

Следующий разрез отложений, фаунистически относимый к плиоцену, обнажается в обрывах сарыкайской толщи около сел. Норатус. Разрез представлен песками, шлаками, прослойями пемзово-пепловых, туфогенных песчаников, туфов с чередованием глинистых песчаников и глин, мощностью до 35 м.

1. В нижней части разреза обнажаются глины и пески. Мощность 6,6 м. Выявлены дрейссении, гастроподы, кости рыб и диатомеи. Более представлены остракоды, выявлены следующие виды: *Candonia ex gr. caucasica* Bronst., *C.neglecta* Sars., *C.compressa* (Koch), *C.novicula* Schm., *C.marchica* Hartwing, *Candoniella albicans* (Brady), *Cypris armata* Schm., *Potamocypris tachaudae* (Schm. et Neg.), *Caspicocypris sinistrolyrata* (Liv.), *Tyrrhenocythere pseudoconvexa* Liv., *Darwinula stevensoni* (Br. et Rob.).

2. Песчаники серые, глинистые, рыхлые - 1,4 м. Выявлены от-

дельные створки и обломки *Cyprideis littoralis* (Brady),

3. Чередование темно-серых рыхлых, тонкослоистых (10 см) глинистых песчаников и блоков - 2,0 м.

4. Песчаники темно-серые, рыхлые, разнозернистые - 1,2 м.

5. Чередование серых рыхлых глинистых песчаников с шлаками (мощность их варьирует от 0,1 до 0,5 м) - 4,5 м.

6. Пересяживание песчанистых глин с немазями (мощность отдельных слоев достигает до 30 см) - 2,0 м.

7. Пересяживание светло-серых глинистых песчаников, рыхлых, с немазевыми песками (мощность отдельных слоев достигает до 10 см) - 5,5 м.

8. Пемзовые пески светло-серые, рыхлые, с содержанием более плотных обломков пемзы - 1,25 м.

9. Шлаки и немази светло-серые, мелкособлочечные - 0,3 м.

10. Базальты - 9,0 м.

II. Пески - 1,0 м.

Среди остряков встречаются виды, характерные для верхнего плиоцена, постплиоцен, а также общие виды для плиоцена. Проведение границы между указанными возрастными единицами затруднительно.

В разрезе скважины 7 - Норатус вскрыты глинистах толща с редкими прослойками песков, мощностью до 403 м. На разных интервалах выявлены остатки остряков. Так, на гл. 152 м в глинах выявлены *Cyprideis littoralis* (Brady), *C. tectoria* (Jones), на гл. 100 м светло-серые глины содержат *Caspiocypris candida* (Liv.), *Limnocythere ornamentata* Schw., *Leptocythere nephtalanica* Kad. и обломки микрофауны.

Из приведенных видов для окнагильда характерны *Leptocythere nephtalanica* Kad. и *Limnocythere ornamentata* Schw., а оставшиеся - общие для плиоцена.

В пределах Аргунской антиклинали отложения плиоцена обнаружены в 200-250 м к юго-западу от с. Аргунакар. Здесь над сарматскими глинами залегают пески и туфобрекции, мощностью 1,9 м. Пески серовато-черные, разнозернистые содержат обломки остряков: *Limnocythere* sp., *Ilyoscypris bradyi* Sars. Из микрофауны - драйссении, гастropоды.

Светло-серые, мелкозернистые пески (часть 3) содержат остряки: *Cyprideis littoralis* (Brady), *Limnocythere tenuireticulata* Sazin, *Eucypris nephtalaniana* (Liv.), *Cypris globosa* sp.n.

Характерными для верхнего плиоцена являются: *Eucypris nephtalaniana* (Liv.), *Limnocythere tenuireticulata* Saz., составля-

ные: *Ilyocypris bradyi* Sars, *Cyprideis littoralis* (Brady) име-
ют более широкое распространение.

В шурфе № 3 у с. Арцизакар вскрыты глинисто-диатомовые породы,
мощностью до 1,9 м.

В песчаниках (пачка I), слабо глинистых, серого цвета, сред-
ней плотности, выявлены остракоды: *Caspiocypris candida* (Liv.), *Can-
dona neglecta* Sars, *C. ex gr. caucasica* Bronst., *Eucypris naphtat-
scholana* (Liv.), *Cypria globosa* sp.n., *Limnocythere tenuireticulata*
Suzin, *Cyprideis littoralis* (Brady). Выявлены в
большом количестве также дрейссении и гастроподы.

В глинах (пачка 2), слабо песчанистых, оскольчатых, светло-
серых, обнаружены остракоды: *Caspiocypris* ? sp., *Candona noviculata*
Schn., *C. angulata* Müller, *Limnocythere tenuireticulata* Suzin,
обломки крупных остракод и дрейссений.

В глинах (пачка 3), песчанистых, серого цвета обнаружены
остракоды: *Caspiocypris* sp., *Ilyocypris bradyi* Sars, *I. gibbe* (Ram-
dohr), *Cypria arma* Schn., *Eucypris naphtatscholana* (Liv.), *Limnocy-
there tenuireticulata* Suzin, *L. sevanensis* Bub.

В диатомитах (пачка 4), сильно глинистых, светло-серых, поч-
ти белых, остатки остракод представлены: *Caspiocypris candida* (Liv.),
Candona angulata Müller, *Eucypris naphtatscholana* (Liv.), *Limnocy-
there sevanensis* Bub.

Виды остракод относятся к плиоцен-верхнеплиоценовому времени.
Более мощный разрез плиоценовых отложений изучен в 7 км к ю-в
от с. Арцизакар ("Мис с часовней")

1. Пески немозовые, светло-серые, мелкозернистые, однородные.
Органические остатки не выявлены - 0,90 м.

2. Глины грязно-зеленого цвета, сверху переходят в светло-се-
рые разности - 0,90 м. Содержат много остракодов: *Caspiocypris candida* (Liv.), *Ilyocypris bradyi* Sars, *Candona noviculata* Schn., *C. angula-
ta* Müller, *Eucypris naphtatscholana* (Liv.), *Limnocythere naphtalani-
ca* Kad., *Limnocythere tenuireticulata* Suzin.

3. Песчаники серые, равномернозернистые, сильно карбонатные
- 0,85 м.

4. Глины светло-зеленые, сильно известковистые, оскольчатые
- 8,80 м. Выявлены остракоды: *Caspiocypris candida* (Liv.), *Ilyocypris bradyi* Sars, *Candona neglecta* Sars, *C. angulata* Müller, *C. novicu-
lata* Schn., *Eucypris naphtatscholana* (Liv.), *Leptocythere naphtala-
nica* Kad., *Limnocythere sevanensis* Bub.

5. Глины светло-зеленые до светло-коричневатых, мелкоосколчатые - 6,0 м. Содержат остракоды: *Caspiocyparis candida* (Liv.), *Ilyocyparis bradyi* Sars, *Candonia angulata* Miller, *C. noviculata* Schn., *C. ex gr. caucasica* Bronst., *Limnocythere sevanensis* Bub.

6. Пески светло-серые, пемзовые, микроскопистые - 7,0 м.

7. Глины светло-серые, уплотненные, содержат обломки костей рыб - 1,80 м.

8. Пески пемзовые светло-желтые, уплотненные, микроскопистые - 1,8 м.

9. Глины светло-серые, переслаиваются с песками. Мощность 5,0 м. Содержат богатую фауну дрейссений, гастропод, диатомей. Остракоды представлены видами: *Caspiocyparis candida* (Liv.), *Ilyocyparis bradyi* Sars, *Cypria arma* Schn., *Candonia neglecta* Sars, *Eucypris naphtatscholana* (Liv.), *Limnocythere contracta* Suzin, *L. sevanensis* Bub.

10. Известняки белые - 1,3 м. Содержат обильные остатки дрейссений, гастропод, пелеципод: *Avimactra?* sp. Остракоды представлены видами: *Caspiocyparis candida* (Liv.), *Candonia angulata* Miller, *Eucypris naphtatscholana* (Liv.), *Limnocythere sevanensis* Bub.

11. Пески пемзовые, черные - 1,2 м. Содержат дрейссений плодох сохраниности. Из остракод встречены: *Caspiocyparis* sp., *Candonia* sp., *Eucypris naphtatscholana* (Liv.), *Limnocythere sevanensis* Bub.

12. Глины светло-серые, карбонатные, слабо песчанистые - 1,8 м. Содержат дрейссений, диатомей. Остатки остракод представлены: *Caspiocyparis candida* (Liv.), *Ilyocyparis bradyi* Sars, L.sp., *Cypria arma* Schn., *Candonia ex gr. caucasica* Bronst., *Eucypris naphtateschelana* (Liv.).

13. Пески черные, пемзовые, рыхлые, местами микроскопистые, без органических остатков - 3,4 м.

14. Глины светло-серые, рыхлые, содержат редкие диатомы - 2,2 м.

15. Гелечники с рыхлым песчанистым цементом, содержат мелкие гальки - 0,3 м. Наряду с общим фузулическим составом плиоценового времени встречается много верхнеглиоценовых форм.

В пределах южной, равнинной части интересен разрез плиоценена у с. Дзорагех.

I. Чередование пемз и глин. Мощность слоев варьирует от 5 до

10 см. Суммарная мощность 1,0 м. Пемзы средней плотности, светло-зеленого цвета, содержит остракоды: *Ilyoscypris bradyi* Sars, *Candoniella euzini* Schn., *Cyprinotus solinus* (Brady).

2. Чередование светло-зеленоголистых глини и пемза, кверху глинистость увеличивается. Мощность 2 м. Встречены остракоды: *Ilyoscypris bradyi* Sars, *Candonia neglecta* Sars, *Candoniella albicans* (Brady), *Candoniella pellucida* Schn., *Cyprinotus solinus* (Brady).

Обнаружены также остатки гастропод и хар.

3. Глины светло-серые, комковатые, с линзовидными включениями пемзы - 0,40 м. В толинах выявлены остракоды: *Ilyoscypris bradyi* Sars, *Candoniella pellucida* Schn., *Cyprinotus solinus* (Brady).

4. Глины светло-серые мелкоосколчатые, содержат обломки остракод, кости рыб - 0,20 м.

5. Пемзы светло-серые - 0,20 м. Содержат фрагменты *Candoniella pellucida* Schn., *Cyprinotus solinus* (Brady), *C. inequivale* Brongst., *Cyprideis littoralis* (Brady).

6. Глины светло-серые, оскальчатые - 0,20 м.

7. Пемзы белого цвета, рыхлые, мелкоосколчатые - 2,0 м. К кровле они крупноосколчатые, с линзовидными обособлениями диаметром до 50 см. Из органических остатков встречаются обломки гастропод.

8. Пемза белая, мелкобломочная, рыхлая - 0,5 м.

Над глинисто-пемзовыми отложениями залегают туфы и туфобрекчики.

Облик приведенной фауны плиоценовый, однако большинство из них имеет бо́льшое вертикальное распространение.

В разрезе, вскрытом скважиной № 5 у с. Цовак, преобладают песчанистые отложения. Суммарная мощность разреза 370 м.

В глинах серых, кирпичных, с оскальчатым изломом обнаружены остракоды: *Ilyoscypris bradyi* Sars, *Candonia neglecta* Sars, *Candoniella albicans* (Brady), *Micocythere* sp., *Candonia novicula* Schn., *Cyprideis littoralis* (Brady), *C. torosa* (Jones), а также гастроподы, рыбы остатки. Выявленные остатки фауны имеют широкое вертикальное распространение, в пределах миоцена-дочетвертичного времени.

Более подробно изучен разрез по скважине № 2 у с. Мец-Мазра:

1. Песчаники глинистые, коричневого цвета, местами глинистость увеличивается. Мощность 180,0 м. Содержат мелкие песчанистые фораминиферы, радиолярии.

2. Глины светло-коричневые, комковатые, в нижней части злевритовые. Мощность 67,5 м. Обнаружены острокоды: *Ilyoscypris br. luyi* Sars, *Candona* sp., мелкие фораминиферы, гастроподы.

3. Песчаники серые, с зеленоватым оттенком, глинистые. Мощность 32,5 м. Содержат *Darwinalia stevensoni* (Br. et Rob.), *Cyprinotus solitus* (Brady), *Discorhynchus* sp., *Ilyoscypris gibba* (Kammerdörfer), гастроподы, песчанистые фораминиферы, кости рыб, хары, панцири диатомовых водорослей.

4. Песчаники светло-серые, глинистые, местами преобладают глины. Мощность 55,0 м. Встречены мелкие фораминиферы, радиолярии, гастроподы, кости рыб.

5. Глины серые, комковатые. Мощность 15,0 м. Содержат острокоды: *Cypris* sp., *Cyprideis littoralis* (Brady), *C. torosa* (Jonas), гастроподы, кости рыб.

6. Песчаники серые, глинистые, мелкозернистые, местами песчанистость увеличивается. Мощность 340 м. Из острокодов в этом интервале выявлены: *Cyprinotus solitus* (Brady), *C. inaequivalvis* Brongst., обломки гастропод, кости рыб, встречаются также пресноводные фораминиферы.

Фауна имеет широкое распространение, характеризуя миоцен-четвертичный возраст.

В равнине, прилегающей к Севанскому хребту, и нижнему (?) плиоцену относится вскрытый скважиной № 2-Норакерт разрез разнообломочных моласс, мощностью более 100 м (интервал 513-656 м), залегающих выше позднесарматских-мэотических моласс. Эти отложения состоят из плохо отсортированных глинистых-песчанистых и гравийных стложений, включающих обилие обиолитокластов, яшм, известняков, селезенок, надо полагать, с выходами обиолитов Севанского хребта.

В разрезе скважины № 4 этим отложениям соответствуют речные валуно-галечниковые отложения мощностью 27,8 м, содержащие в карках и в основании песчано-суглинистые отложения с мелкой галькой; валуно-галечники состоят из окатанных обломков размером 3-15 см и крупнее. В составе обломков преобладают: пироксен-плагиоклазовые и плагиоклаз-ртговообманково-пироксеновые андезитовые порфиры и трахиадидитовые порфиры, липаритовые порфиры и их туфы.

В скважине № 5-г (у с. Цовак) вскрытая мощность валуно-галечников составляет 275 м.

Латеральные вариации гипсометрии подошвы этих отложений в пробуренных скважинах обозначают глубокие долины, выработанные в сармат-мэотическом молассовом комплексе. Как видно, нижнеплиоценово-

ый возраст толщи валуно-гальечников и фациально связанных с ними проливиальных отложений определяется из стратиграфического положения между сармат-изотермическими и среднеплиоценовыми отложениями.

Выше валуно-гальечников и проливиальных отложений нижнего плиоцена скважинами № № 2, 4, 5-Г, I-Г на интервалах соответственно 510-513 м, 443,2-490,2 м, 270,5-325 м и 290-305 м вскрыт горизонт розовых пемзовых туфов, сходных с суботанскими туфами Варденинского нагорья. Подошла горизонта туфов в скважинах № № 2 и 4 расположена на абсолютных отметках 1422 и 1427,3 м соответственно. В других скважинах (№ № 5 и I) основание туфов находится на абсолютных отметках 1580 и 1000 м, очевидно ввиду наличия сбросового нарушения, с амплитудой сброса до 150 м.

Туфы, вскрытые в скважинах, такие как и суботанские, обнаруживающиеся у с. Суботан, отлагались в наземных условиях. Свидетельство тому – залегание туфов между алювиальными гальечниками и делювиальными суглинками. В отличие от туфов с. Суботан, они мягче и слабее сцеплены. По-видимому, это вызвано их накоплением в озере. Окраска туфов розовая, состоит они на 50% из угловатых обломков белой вулканистой пемзы размером до 1 см, погруженных в связующую их розовую пемзовую псамmitовую массу. В породе обычны чешуи биотита и мельчайшие обломки буроватой стекловатой породы. Залегание туфов, судя по слоистости (в керне), также горизонтальное. В скважинах № № 2, 4, 5-Г и I-Г на розовые туфы через пачку проливиальных суглинков налегает толща озерных отложений.

В разрезе скважины № 2 на розовых туфах залягают:

1. Розово-серые проливиальные суглинки с прослойями песчанистых глин, содержащие примесь (10-15%) угловато-окатанного гравия, дресвы и грубого песка из обломков пород олиолитовой серии, известняков, белой пемзы, величиной 0,3-1,5 см. В гесчанистой фракции много обломков вулканического стекла. В глинах часты примазки окислов марганца. В кровле пачки представлены раковины наземных гастропод. Мощность 24 м.

2. Серые глинистые пески, переполненные мелкими гастроподами, остракодами, реже содержащие растительные остатки. В основании пачки – хорошо окатанный гравий из обломков пемзы. Среди гастроподовой фауны определены: *Pseudocamnicola* sp., *Radix ovata* (Bsp.), *Radix* sp. (здесь и далее определения А.Л. Чепаныги). Мощность 7,6 м.

3. Тонкослоистые светло-серые с зеленоватым оттенком глинистые алевриты. Слоистость обусловлена наличием через интервалы 2-

5 см тончайших прослоев (0,2-1 см) песка. Песчаный материал представлен обломками вулканического стекла (пемзы), биотита, реже серпентинита, яшм. В кровле пачки представлены глинистые пемзовые пески. В породе много растительного мусора и мелких выделений марказита. Мощность 14,8 м.

4. Ритмичное переслаивание через интервалы 1-15 см светло-серых и зеленовато-серых полосчатых глинистых алевритов с тончайшими прослоями пемзовых песков. В породе много остатков остракод, листьев растений и мелких выделений марказита. В подошве и кровле пачки обнаружены скопления мелких раковин гастропод (*Radix* sp., и др.). Мощность 39,6 м.

5. Светло-серые глинистые пемзовые алевриты с прослойами пемзового песка и с вкраплениями марказита. Содержат остракоды, часто растительные остатки. В верхней половине пачки местами наблюдаются скопления мелких раковин гастропод: *Radix auricularis* (L.), *Radix* sp., *Pseudocannicola* sp., *Pseudocannicola cf. brevicola* (Hartens), *Limnaesidae* gen. Мощность 34,4 м.

6. Светло-серые с зеленоватым оттенком пемзовые глинистые алевриты с остракодами, единичными раковинами педеципод и растительными остатками. Мощность 5,6 м.

7. Белесоватые маркие и легкие пемзовые алевролиты диатомовые (?). Мощность 1,6 м.

8. Переслаивание через интервалы 2-3 см светло-серых мелко-зернистых рыхлых пемзовых песков и алевритов. Мощность 4,4 м.

Верхняя часть озерной толщи в скважине № 2 размыта. Нарашивание разреза производится по разрезу скважины № 4.

9. Голубовато-светло-серые тонкослоистые алевритисто-тонко-песчанистые глины с тончайшими (1,5-2 мм) прослойками через интервалы 0,5-1,0 см пемзового песка. Порода содержит раковины остракод и растительные остатки. Мощность 73 м.

10. Светло-серые глинистые мелкозернистые пески с редким мелким гравием. В средней части пачки представлены мелкие гастроподы и остракоды. Мощность 40 м.

Суммарная мощность разреза 245 м.

Сходный разрез пород вскрыт в скважинах № № 5-г и 1-г соответственно на интервалах 182-270 м, 165-290 м. Подошва этой толщи вскрыта в этих скважинах на 160 м выше, чем в скважине № 4, что является, по-видимому, следствием сбросового нарушения, о котором говорилось выше.

Под обрывами нижнечетвертичных лав прибрежной полосы оз. Сен-

ван, между с.с. Цовак и Карчахпюр развита толща белых, желтовато-белых рыхлых пемзовых грубозернистых и мелкозернистых песков с обломками (до 1 см) полуупрочненной, маслично-белой волокнистой или цувиристой пемзы и буроватых дацитов. Обломки пемзы окатаны хорошо, обломки дацитов — слабее. В этих породах отсутствует сортировка в связи с проливиальной обстановкой их накопления в прибрежной равнине.

Выше и ниже озерной пачки местами залегают валунно-галечники из хорошо окатанных обломков пемзы, реже пористых липаритов. Узкая полоса этих валуно-галечников, подчеркивающая положение русла древней реки, протягивается в северо-западном направлении, скрываясь под нижнечетвертичными андезито-базальтовыми лавами.

Толща пемзовых песков с. Цовак или белесоватая подсвита (по Г.А. Казаряну) прослеживается под нижнечетвертичными лавами до водораздельного гребня Варденинского хребта, где налегает на дидванскую свиту нижнего миоцена (12-18 млн. лет). В гребневой части Варденинского хребта возраст этих отложений на основе ископаемой флоры датируется (по А.Т. Вегуни) верхним миоценом — нижним плиоценом. А.А. Габриелян /25/ считает их нижнеплиоценовыми. Абсолютный возраст их, определенный калий-argonовым методом (по Г.А. Казаряну), составляет 6 млн. лет. В возрастном отношении они являются аналогами розовых пемзовых туфов, вскрытых скважинами №№ 2, 4, 5-г и 1-г. Белесоватая подсвита у с. Цовак, видимо, наиболее соответствует косослоистым прибрежным пемзовым пескам с гравием и обломками пемзово-липаритового материала пачки "3" сарикеинской свиты, датируемым Е.Е. Милановским /57/ средним плиоценом. Из этой пачки А.Л. Жузе выделено не менее трех комплексов озерно-диатомовой фауны плиоцена, характеризующей холодный пресноводный водоем в верхней части пачки и слабо соленоводный — в нижней.

Комплекс фауны гастропод из разреза скважины № 2, по сообщению А.Л. Чепалыги, характеризует довольно широкий диапазон времени — неоген-четвертичный. Эти гастроподы появляются в неогене, обитая и ныне. Проживают они в стоячих и медленно текущих водоемах. Можно предполагать, что водоем был пресным или незначительно осолоненным, но виды рода *Radicula* обитают исключительно в пресных водоемах. В современном оз. Севан обитает *Radicula ovata var. grossa* Salenstein. Сауна оз. Севан с плиоценом, как видно, существенно не изменилась. Таково заключение А.Л. Чепалыги относительно экологии моллюсков. Впервые кровля озерной толщи была вскрыта скважи-

ной № 30-с при гидрогеологических исследованиях на Маорикской равнине. На глубине 252,5 м скважина вошла в алевритистые несчастные глины и глинистые пески с богатой остракодовой фауной и вскрыла их на 6 м. Среди этой фауны выделены *Candoniella schubiniae* Mandelst., *Ilyoscypris br. iyi* Sars, *Limnocythere* гамона Mandelst., *L. fontinalis* Schn. (определение С.А.Бубикия). В.Т.Вегуни относит эти отложения к сармату на основании того, что первые две формы в Приереванском районе встречаются в отложениях сармата. Сарматский возраст озерной толщи не доказан, но потому, что эти отложения состоят из частиц пемзовых туфов, которые, как было показано, имеют ранне-среднеплиоценовый возраст. Для расчленения плиоцен-четвертичных отложений более надежные данные дают палеонтологические определения.

Из саэрных отложений скважины №30с Я.Б.Лейе выделен спорово-пыльцевой комплекс, указывающий на верхи среднего плиоцена. Из озерных отложений, вскрытых скважиной № 2, А.М.Карекашян выделен в видовом отношении богатый спорово-пыльцевой комплекс, где преобладают (25-92%) хвойные, особенно сосновые: *Pinus*, *Pinus* n/p *Diploxyylon*, *Pinus* n/p *Haploxyylon*, *Tsuga*, *Abies*, *Keteleeria*, *Codrii*. Из хвойных выявлены также *Taxodium*, *Iphedra*, *Cupressaceae*. Покрытосемянные представлены 24-58% и представлены *Ulmaceae*, *Zelkova*, *Ficus*, *Keer*, *Aralia*, *Prunus*, *Salicornia*, *Umbelliferae*, *Sempocitae*, *Triporites montanus* v. rot. Древесные виды покрытосемянных несколько преобладают над травянистыми. Споровые в этом комплексе представлены в количестве 3,6%, принадлежащие семейству папоротников: *Coniopteris*, *Polypodium*, *Osmunda*. В отложениях, залегающих выше озерных образований, относительно к верхнему плиоцену, выделен второй комплекс, в котором отсутствуют споровые и хвойные. Покрытосемянные представлены: *Ossatianopsis*, *Quercus*, *Ulmus*, *Salicornia*, *Gramineae*, *Caryophylloferas*, *Cryciferae*, *Leguminosae*, *Compositae*, *Altemisia* и др. В этом комплексе травянистые составляют 74-100%. Была глубина 137 м пыльцевой комплекс представлен только травяным. Эти определения дают основание говорить о смене хвойных лесов лиственными. Исчезновение лиственных связывается с плеистоценовым временем.

Вероятно, к апшеронскому возрасту относятся развитые в предгорной зоне между ущельями р.р. Шимпирт и Памбак несцепментированные грубообломочные образования, протягивающиеся на 2,5 км. Западнее с.Дара они слагают небольшой холм, расположенный на абсолютной отметке 2000 м. Сложены они хорошо скелетными крупными гальками, валунами кварцевых дисоритов, оникситов. Вадуно-гальечники

встречены на двух уровнях. Верхний уровень (2100 м) отвечает древней эрозионной террасе. Валуно-галечники нижнего уровня заполняют, по всей вероятности, дно ущелья, располагаясь на высоте между абсолютными отметками 1940 и 2000 м. В нижней части толщи валуно-галечников нижнего уровня, мощностью в 120 м, развит кремкоцементированный щебень из обломков почти нацело известняков, реже песчаников и диабазов, размером 4-7 см. Цемент их очень крепкий - карбонатно-глинистый материал, образующий местами отдельные прослойки. По низкой окатанности, отсутствию сортировки обломков эти отложения сходны с элювиальными или водно-ледниковыми отложениями. Валуно-галечные отложения имеют падение на юг (аз. под. 170-180°). Крутое залегание хорошо можно наблюдать в отложениях, где обломочные образования имеют крепкий карбонатно-глинистый цемент. Крутое залегание слоев К.Н.Паффенгольц связывает с пликативными дислокациями, предположительно относя валуно-галечники к олигоцену, но не исключая возможность их верхнеплиоценового возраста. Валуно-галечники верхнего уступа залегают горизонтально. Представляется, что грубообломочные образования нижнего уступа дислоцированы с развитием сбросовых нарушений четвертичного времени вдоль береговой линии оз. Севан.

Валуно-галечники и глыбы древних террас развиты также юго-восточнее (с.с. Шиткая, Гелсу, Човак). В основании пачки развит ископаемый почвенно-растительный слой (1,3 м). Этой толще валуно-галечников в сарикаинском разрезе соответствует пачка "4" разреза, приводимого Е.Б.Милановским /57/.

Из прослоев озерных глин приводится богатая диатомовая флора верхнеплиоцен-нижнечетвертичного времени, характеризующая прибрежные условия мелководного пресководного водоема.

Отметим некоторые черты литологии озерной толщи верхнего плиоцена восточной равнины бассейна. Бурением скважин в Масрикской и Мартунинской равнинах были вскрыты озерные песчано-глинисто-галечные отложения.

Литологически изучен наиболее подробно керновый материал скважины № 2-Норакерт, в центральной части Масрикской равнины. По составу слагающих ее пород в разрезе выделяются две пачки (толщи), связанные между собой переходами - прибрежно-озерная и собственно озерная.

Прибрежно-озерная пачка имеет разрез мощностью 350 м и сложен на галечником, конгломератами, гравелитами и песками. Галечники и

гравелиты сложены хорошо окатанными обломками разного размера. Они слабо сцеплены серым алеврито-песчаным материалом с плохо выраженной склонностью и характеризуются полимиктовым составом. Обломки представлены вородами офиолитовой серии, андезитами, известняками и пемзами. В шлифах видны обломки серпентинита, габбро, карбонатов, плагиоклаза, перидотитов, а также обломки липаритов. Пески смешаны с гальками разных размеров. Они представлены крупнозернистыми, среднезернистыми и мелкозернистыми разностями. Эти породы переклаиваются с речными валуно-галечниками.

Озерная почка (толщина) мощностью 200 метров, вскрытая в интервале скважины 350-550 метров, слагается глинами, диатомовыми глинами, слабосцепленными алевролитами и песчаниками, а также мергелями.

Пески, слагающие толщу, отличаются непостоянством гранулометрического состава, причем для них показательна довольно значительная примесь раковинного материала и незначительная примесь растительных остатков. Пески нередко содержат включения гальки и гравия. Минералогический состав их полимиктовый.

Глины плотные, серого, зеленовато-серого цвета, преимущественно монтмориллонитового состава.

Диатомовые глины залегают в верхней части разреза, иногда они переклаиваются с другими типами глин. Цвет их светло-коричневый или светло-серый. Они обладают большой пористостью и малым объемным весом. В интервале 456,4-463 м встречаются остатки диатомей, составляющих 50% общей массы, оставшая часть породы — глинистый материал с примесью обломков пироксенов, плагиоклазов, волокнистых вулканических стекол.

В молассовых озерных отложениях главным глинистым минералом является Са-монтмориллонит. Во всех необработанных образцах (не насыщенных глицерином) наблюдается значение d_{001} (001), равное 14,26 Å, что говорит о смешанном составе поглощенного комплекса, в котором одновременно присутствуют как щелочные, так и щелочно-земельные элементы. После насыщения глицерином дифрактометрический рефлекс достигает 17,7-18,9 Å, что доказывает их монтмориллонитовый состав. Полупрозрачные и прозрачные частицы монтмориллонита имеют нечеткие контуры, они собраны в агрегаты с "завихрениями", что характерно для морфологии пеплового исходного материала. Встречены также частицы трубчатой формы, относимые к гаукситу.

2.3. Глинисто-кремнистые озерные и речные отложения плеистоцена долины р.Джнагет

По обоим бортам долины р.Джнагет в среднем ее течении обнаружены выходы слабо складчатых желтовато-серых глинистых, спокойно-трепелевых отложений, которые древнее, чем выступающие выше по разрезу левого борта долины почти горизонтально залегающие гипсовые осадки озера. По правому борту долины эти отложения выступают вдоль борта дороги, которая проходит от щебневого завода примерно в 300 м вверх по реке. Обнажения долины правобережья расположены на 100 м выше уровня реки. Глинисто-кремнистые отложения прислонены на этом участке к складчатым известнякам позднего сенона и выполняют в них древний палеорельеф. Вдоль долины р.Джнагет /61/ проходит сброс, в крыле которого опущено, тем самым выходы по правому борту находятся на 90-100 м гипсометрически выше выходов, обнажающихся на ю-в крыле вдоль шоссейной дороги.

Краткая характеристика правобережного разреза сводится к следующему. Породы, обнажающиеся вдоль среза полевой дороги к с-в части залегают с аз.пад. $\approx 200^{\circ}$, $\angle 60^{\circ}$. На них несогласно залегают аллювиально-делювиальные галечники. Разрез глинисто-кремнистых пород наращивается вниз по грунтовой дороге в-з неправлении. Здесь обособляется пачка чередующихся светло-серых легких тонкослоистых (8-10 см) опок и трепелов, содержащих прослой (3-5 см) светло-коричнево-желтоватых глинисто-кремнистых отложений, хрупких, нечетко слоистых (рис. 18). Выше по разрезу эти отложения содержат прослой известняков и смыты в мелкие складки гравитационного типа с течением более пластичного глинистого вещества в промежутке между разрывами известняков. Азимут падения этих отложений ЮЗ 230° , $\angle 50^{\circ}$. Мощность отложений до 15-20 м. Выше по разрезу следуют желтые, нечеткослоистые, комковатые, передко узловатой текстуры элевритистые глины, они включают прерывистые слои (до 1-2,5 м) серых крепких известняков и светло-серых известково-кремнистых легких, хрупких суглинков, которые обычно служат ядрами мелких гравитационных складок, в которые смыты глины. Мощность глины достигает 25-30 м. Несогласно на них залегает маркирующий горизонт сиреневых лито-кристаллокластических, довольно рыхлых туфов, видимой мощностью до 2 м. Как видно на рис. 19, глинисто-кремнистые породы разреза правобережья р.Джнагет залегают стратиграфически выше голубовато-зеленых тонкослоистых туфов среднего

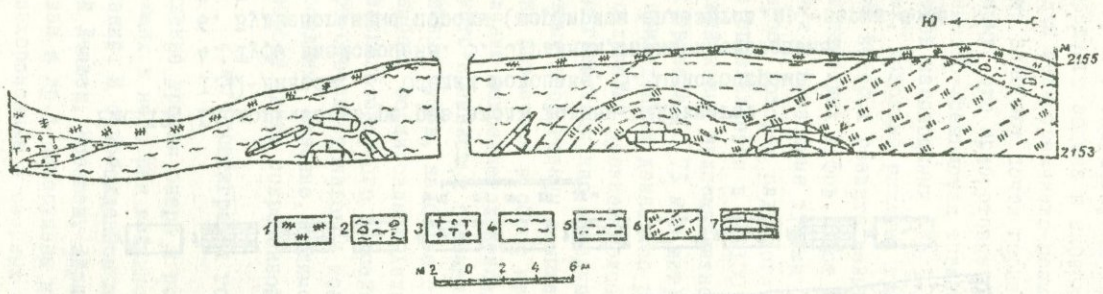


Рис.18. Геологический разрез по правобережью р.Дзкнагет
(вдоль грунтовой дороги). Обозн.см.рис.19.

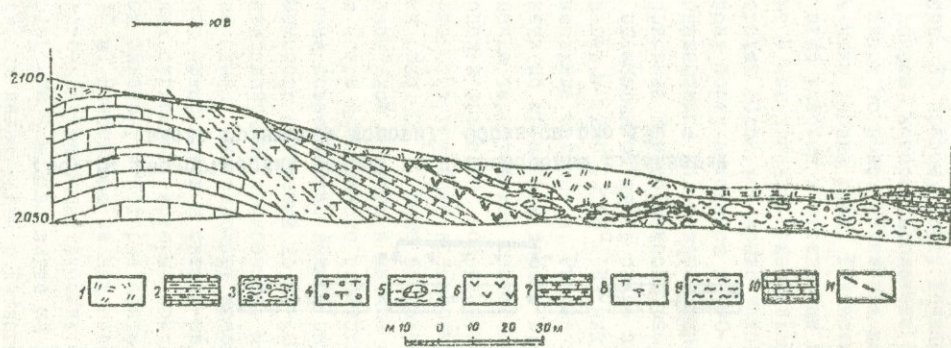


Рис.19. Геологический разрез вдоль долины р.Дзкнагет.
 I. Q-наносы. 2. Осадки голоцен. 3. Олистострома.
 4. Туфы плейстоцена. 5. Суглинки, опоки плейстоцена.
 6. Вулканогенные породы (порфириты андезитов ср.-верхн.эоцен).
 7. Тубфиты, туфы ср.эоцен. 8. Туфы, туфобреекции. Эоцен (нижний?).
 9. Глины, алевролиты (эоцен?). 10. Известняки. Верхний сезон. I.
 II. Разломы.

эоцене, которые прослеживаются на ю-в к современному озеру, а вниз по долине на глинисто-кремнистые отложения налегает олистострома, состоящая из разноразмерных глин от I до 1-2 м, преимущественно туфов среднего эоцена и скрепленных почти неслоистым, плохо отсортированным мелкобрекчево-псамитово-глинистым цементом. На олистостроме залегают почти горизонтально озерные осадки голоценова. По-видимому, это прибрежные осадки голоценового Севана.

Глинисто-кремнистая толща, как было показано, несогласно перекрывается маломощными (до 5-10 м) сиреневыми лито-кристаллоклассическими, довольно рыхлыми туфами андезито-дацитового состава, в основании которых развита невыдержанная пачка светло-серых тонкослоистых пемзовых туфов. Этот горизонт наиболее сопоставим с игнimbритами и пемзовыми туфами (верхнего горизонта) долины р. Памбак, возраст которых радиологически и по находкам зубов мелких грызунов определяется в 70-100 тыс. лет, т.е. плейстоценовый, соответствующий концу палеомагнитного эпизода матуяма (0,94 млн. лет) и началу брюнеса (0,73 млн. лет).

Из приведенных данных по разрезу долины р. Дзкнагет очевидно наличие отложений древнее голоцена, но моложе среднего эоцена. Эти отложения гравитационно складчаты и тектонически примыкают к разновозрастным доорогенным комплексам (верхнему сенону, среднему эоцена). Они вовлечены в сброс по долине р. Дзкнагет и предшествовали накоплению допозднеголоценовой(?) олистостромы. Наконец, разрез глинисто-кремнистых отложений перекрывается маркирующей пачкой сиреневых туфов, наиболее сходных с плейстоценовыми туфами долины р. Памбак. Формирование Халабского поднятия вызвало разобщение Памбакского озерного бассейна от Севанского. Формирование олистостромово-олистолитовой толщи, предшествовавшей голоценовым озерным осадкам, связано, видимо, с возникновением Халабского поднятия и сброса вдоль современной долины р. Дзкнагет.

2.4. Стратиграфия голоценовых отложений

Понижение уровня озера и последовавшее снижение базиса эрозии впадающих в него рек вскрыло геологическое строение голоценовых отложений. В освобожденном из-под воды побережье Севана (район селений Лчашен, Норашен, Айриванк, Шоржа, городов Мартуни, Варденис, Севан и др.) обнаружены многочисленные археологические памятники, захороненные в озерных осадках. Очевидно их место в геохронологии голоцена.

Приведем краткое описание наиболее изученных разрезов: археологических памятников - Лчашенского и Норашенского и дельты реки Дзинагет.

* Разрез древнего Лчашенского поселения *

От сел.Лчашен до оз.Севан была прорыта траншея длиной около 1 км и глубиной 2,8 м, вскрывшая три могильных кургана, захороненных в прибрежных осадках. Стены и потолок могильников сложены из плоских глиб андазито-базальтов длиной около 2 м и толщиной 1 м. Каменная насыпь на потолочной каменной плите придает могильнику вид кургана.

В разрезе траншеи выделяются (снизу-вверх):

1. Чередование линзовидных разнозернистых суглинков, супесей, песков, гравия вулканомиктового состава. Мощность слоя 2,15 м. В отложениях этого слоя выстроен могильник.

2. Косослоистые мелкоэзернистые вулканомиктовые пески, в верхах содержащие остатки моллюсков: *Lymnaea stagnalis* L., *I. auricularis* L., *Planorbis planorbis* L., (спределения В.И.Курсовской). Мощность слоя 65 см. Возраст моллюсков (C^{14}) - 2320 ± 120 лет (МГУ-49). В сторону озера пески сменяются гумусированными супесчаными погребенными почвами (20 см), перекрытыми песчаным слоем (10 см) и слоем (10 см) торфа.

Верхний слой с перерывом налегает на нижний слой и перекрывает остатки культур Лчашенского поселения. Перерыв в осадконакоплении между ними выражен погребенными почвами. Возраст древесины колесниц, обнаруженных в могильниках, по радиоуглеродному анализу материала пола колесницы, определен в 3500 ± 100 лет (МГУ-ИОАН-29), а рамы колесницы - 3630 ± 100 лет (МГУ-ИОАН-30).

В одном из могильников обнаружены костные остатки (определения А.Н.Мотузко): *Homo sapiens* (человек) - плечевая, бедренная, 2 обломка больших берцовых костей, тазовая кость; кости принадлежат одному индивиду мужского пола, среднего возраста, по индексу Троттера и Блезера рост его был равен 165-170 см; *Bos* sp. (домашняя корова) - молодое животное; *Equus* sp. *hemionus* - осел; *Equus caballus* - молодая домашняя лошадь.

Возраст остатков по содержанию органического компонента в ископаемых костях методом удельных весов определен А.Н.Мотузко в 2,5-3,5 тыс. лет.

Лчашенский археологический памятник (поселение) расположен на месте современного селения Лчашен и его окраин. В 40-ых годах озеро еще омывало стены домов восточной окраины селения, ныне оно отошло на 1500 м. На почти ровном пространстве, площадью около 12 га, между селением и озером обнаружены многочисленные курганы, большие и малые могильные холмы, кромлехи, групповые погребения и каменные ящики.

Раскопки проводились А.О.Мнацаканян с 1966 по 1973 гг. В 1970-1973 гг. в качестве геолога в них участвовал Ю.В.Сайдян. Древнее поселение формировалось в конце IУ тыс.н.до н.э. С начала II тыс.лет до н.э. оно превратилось в крепость, которая существовала до VI в.до н.э. и в XII-XIII вв. В ней раскопаны три наиболее древних (II-I тыс.лет до н.э.) и средневековые слои. Отдельной группой расположены крупные могильные курганы. Это гробницы воителей племен ("пантеон воителей"), остальные могильники расположены хаотически. Обнаружены также каменные могильные ящики, относенные к XIII-XIV вв.до н.э.

Раскопаны повозки и военные колесницы, датируемые XI-XII вв. до н.э., колчан, относимый к XIII веку до н.э. Выявлены двухколесные повозки-каттафалки простой конструкции (XII в. до н.э.) и четырехколесные повозки более позднего времени. Во II тыс.до н.э. в Лчашене была развита обработка дерева, которая наибольшее развитие получила в XIV-XV вв.

Металлургия достигла своего наивысшего развития в XI-XII вв. Производилось более 25 видов предметов из бронзы, в том числе мечи с ножнами, щиты, боевые топоры, копья, предметы быта и украшения (котлы, укремленные черпаки, крумки). Среди предметов из бронзы весьма примечательны и ценные статуэтки быков, птиц, львов и модели военных колесниц. Здесь обнаружены 7 видов украшений из чистого золота. Аборигены Лчашена в XI в. до н.э. уже использовали золото Зодского месторождения, изготовлены до 25 видов украшений. Найдены также украшения из серебра, большое количество бус из агата, сердолика.

Пространственное положение археологических памятников Лчашена на осушенней нынешней пойме спуска под озеро территории указывает на низкое стояние озера в эпоху бронзы.

Разрез древнего Норашенского поселения

Расположен у сел.Норашен, в выемке автомобильного посса. Об-

наружено в 1972 г. Захоронено озерными осадками Севана. Они при слонены под пологим углом к молодым бугристым андезито-базальтам. Видимая мощность отложений 4,5 м. Резрез их следующий (снизу - вверх):

1. Глина серая, неслоистая, с редкими гнездами с вкраплени ками обожренного железа. Мощность 4,50-3,70 м.

2. Почва черного цвета, гумусированная, с остатками растений - 3,70-3,60 м.

3. Песчаный ракушечный слой; в верхней части содержит массовые скопления целых и раздробленных раковин моллюсков; заполнитель среднезернистый. Мощность 2,9-3,6 м. В.Н.Курсаловой определены: *Limnaea stagnalis* L.-85%, *L.(Radix) ovata* Drap. -0,5%, *Planorbis planorbis* L. - 9%, *Gyraulus laevis* Alder -0,5%, *Pisidium casertanum* Pali, - 5%, *Succinella oblonga* Drap. - I экз; А.Л.Чепалыга подтвердил эти определения, добавив к ним: *Radix auricularia*(L), *Planorbis carinatus* Müll. В нижней части слоя на глубине 3,5м возраст моллюсков радиоуглеродным анализом определен в 8640 ± 150 лет (МГУ-467), а в верхней - на глубине 3 м - 6270 ± 170 лет (МГУ-125).

4. Культурный горизонт древнего поселения, состоящий из трех строительных слоев и нескольких различных прослоев. Мощность 1,5-2,9 м. Содержит большое количество раздробленной керамики и остатков костей домашних животных, относимых к III тыс. до н.э.

5. Почва черного цвета, гумусированная, комковатой структуры, с остатками растений. Мощность 1,5-1,4 м. Содержит раздробленную керамику и остатки костей домашних животных, относимых к середине II тыс. до н.э.

6. Песчаный ракушечный слой, разделенный 5-7 см черным прослойем гумусированной почвы. Мощность 0,5-1,4 м. Содержит массовые скопления целых и раздробленных раковин моллюсков, среди которых В.Н.Курсаловой определены: *Limnaea stagnalis* L. -0,01%, *Radix-auricularis* L. -27,5%, *Valvata piscinalis* Mull. -13,9%, *Planorbis planorbis* L. -51,5%, *Pisidium casertanum* -6,9%, *Succinea patris* -0,01%. Возраст моллюсков с глубины 0,9 м радиоуглеродным анализом датируется в 2090 ± 70 лет (МГУ-244) и 2020 ± 120 лет (МГУ-215).

7. Осыпь делювиальная с большим количеством остроугольных обломков и глыб лав. Мощность до 0,50 м.

Древнее Норашенское поселение существовало еще с конца III тыс. до н.э., т.е. с эпохи ранней бронзы. Выделяются три строительных слоя, суммарной мощностью около 1,45 м. Нижний строительный слой

имеет темно-серую окраску, местами черную, содержит прослой золы. Мощность 0,4 м. В верхней части озерных осадков, на глубине 2,95м смонтирован пол из галечников вулканического происхождения, сверху обмазанный глиной. В слое обнаружено большое количество костей мелкого и крупного рогатого скота, кости собаки, лошади, рептилий, амфибий, рыб, встречаются изредка кости птиц, обычны каменные и костяные орудия труда, игральные круги и большое количество черно-полированной керамики. Обнаружены раковины пресноводных и наземных моллюсков. Средний слой коричневого цвета имеет мощность в 25-30см. Пол также выложен мелкой галькой и сверху обмазан глиной. Здесь найдены богатые остатки керамики и костей животных. Пол верхнего слоя глинобитный, мощностью 10-15 см. Состоит верхний слой из двух прослоев: нижний имеет темно-оливково-зеленоватую окраску, а верхний - более светлую. В слое обнаружены черепки чернолощеной керамики и кости животных, следы костров.

В Норашенском разрезе среди материальной культуры III тысячелетия до н.э. обнаружена керамика. Среди других находок - предметы из камня, кости и глины. В нижнем строительном горизонте найдены фрагменты зернотерки и ступка из андезита-базальта, аналоги которых в обилии обнаружены во многих памятниках III тысячелетия до н.э.

Культура эпохи поздней бронзы обнаружена в погребенном почвенном слое в интервале глубин 1,50-1,35 м. Она залегает над верхним строительным слоем III тысячелетия до н.э. Небольшое количество обломков керамики, обнаруженное в слое, дает возможность этот слой датировать серединой IV тысячелетия до н.э.

Среди костных остатков домашних животных Норашенского разреза, по определению А.Н.Матузко, преобладают кости коровы, козы, овцы и лошади. Сохранность их разная: 68% составляют остатки, которые были сразу захоронены, и 32% - выветрельные. Из всех остатков 13,2% принадлежат молодым животным, 86,8% - старым.

По содержанию органических компонентов и удельному весу возраст ископаемых костей А.Н.Матузко относит к середине II тысячелетия до н.э., до начала новой эры исторического времени.

Разрез отложений дельты реки Дзкнагет. Разрезы обнажения и скважины находятся на левом берегу реки, в средней части ее дельты, в 600 м вверх по течению реки от уреза воды озера Севан. Они представлены озерно-дельтовыми отложениями голоцен. Суммарная мощность изученных разрезов 42,5 м. По данным гидрогеологических скважин, мощность рыхлых четвертичных отложений (дельтовых) здесь

превышает 350 м.

Разрез отложений следующий (сверху-вниз):

1. Речные гравийно-галечные отложения с песчанным крупнозернистым заполнителем. Мощность 0,50 м.

2. Чередование супеси, суглинков и глин, встречаются раковины моллюсков и растительные остатки. Мощность 1,5 м.

3. Чередование речных песков и супесей с косой слоистостью и линзами гравия и гальки; имеются растительные остатки и большое количество раковин моллюсков *Planorbis planorbis* L., реже *Limnaea auricularia* и *L. glutinosa* L., изредка *L. stagnalis* (определения В.И.Курсаловой). Возраст древесины (C^{14}) с глубины 2,00-2,10 м равен 1010 ± 250 лет (МГУ-УЮАН-178), а моллюсков - 940 ± 220 лет (МГУ-55). Мощность 1,6 м.

4. Сзерные осадки, представленные чередованием тонкослоистых суглинков и супесей с линзами мелкозернистого песка; встречаются гнезда вивианита, раковины моллюсков и растительные остатки. Мощность 0,9 м.

5. Косослоистые аллювиальные пески с линзами суглинков и глинями глинистых пород, вымытых из более древних отложений. Мощность 1,5 м.

6. Чередование тонкослоистых суглинков и супесей. Мощность 1 м.

7. Косослоистые аллювиальные пески с линзами суглинков. Мощность 1,5 м. А.К.Агаджанян обнаружил в них остатки крупных млекопитающих: *Cervus elaphus* L., *Caprinae* gen. и мелких млекопитающих: *Microtus cf. terrestris* L., *Microtus arvalis* Pall., *Micromys* sp.

8. Чередование озерных прибрежных тонкослоистых (1-10 см) супесей, суглинков, глин, с редкими включениями фауны моллюсков и гнездами вивианита.

Далее разрез дается по скважине (сверху-вниз). Скважина заложена на пойме реки и прошла по современному аллювию до глубины 30 см, затем вошла в слой 8 обнаружения и продолжила его на глубину 3 м.

9. Прибрежные озерные осадки. Интервал 12,00-15,00 м.

10. Гравийно-галечные речные отложения с грубопесчаным заполнителем. Интервал 15,00-17,50 м.

11. Сзерные суглинки, илистые, плотные, включают растительные остатки. Интервал 17,50-20,00 м.

12. Гравийно-галечные аллювиальные отложения с грубым песчанистым заполнителем и тонкими (до 30 см) прослойками супеси. Интервал

20,00-27,50 м.

13. Чередование озерных суглинков, илистых супесей и глин с тонкими (до 30 см) прослойками песка; имеются остатки раковин моллюсков. Интервал 27,50-36,20 м.

14. Гравийно-галечные речные отложения с грубопесчаным заполнителем. Интервал 36,20-36,80 м.

15. Чередование озерных суглинков, супесей и глин с тонкими прослойками песка. Интервал 36,80-42,50 м.

Из естественного обнажения в речных и озерных осадках на различных глубинах собрана богатая фауна моллюсков семейства лимноид и плакорбид (определения Н.Н.Акрамовского).

В озере Севан и на его берегу в течение всего голоцена эти виды моллюсков существовали, не смешиваясь между собой и не образуя переходных форм. Вымерших видов список не содержит.

Водоем, в котором обитали моллюски, был мелководным, заросшим надводной растительностью. Невдалеке находился открытый прибрежный берег.

2.5. К вопросу о тектоническом строении предгорных равнин

Основные черты тектонического строения предгорных равнин бассейна озера подробно рассмотрены /3,16,2,36,57/. Пройдение в предгорьях Севанского хребта единичные скважины вскрыли на юге сарматские отложения (ст. Насосная, глубина 519-710 м). О сарматском рельфе можно судить по резкому погружению перекрывающего молассы плиоцен-четвертичного комплекса от озерной котловины к предгорью с последующим подъемом к хребту, что видно и из электроразведочного профилирования вкрест простирации равнины. Выясняется также нарушенность толщи разломом с амплитудой сброса до 150 м, судя по залеганию маркирующего горизонта пемзовых туфов. Под плиоцен-четвертичными сарматскими комплексами залегают эоценовые и позднемеловые отложения (рис. 22). Гравиаковая формация раннего сенона сокращена в мощности к западу, к озерной котловине, с развитием глыбовых отложений прибрежья. К западу также сокращается в мощности кремнисто-эффузивная формация. В нижних частях мезозойского разреза предполагается наличие флишоидного альба и плитчатых известняков титона-неоксма, в виде тектонических пластин, известных в строении южной части восточного склона Севанского хребта /4/. Наконец, отметим приподнятое положение фундамента

в полосе от с. Шишская до Масрикской котловины. Здесь резко сокращена мощность карбонатного среднего-верхнего палеозоя. В палеоструктуре эта часть относится к переходу в островное поднятие с последующим от него к востоку развитием глубоководного позднетриасового рифта.

Важнейшим структурным элементом Приварденисской равнины является Карчахпюрская горст-антиклиналь, ограниченная разрывами, с маломощными сарматской молассой и плиоцен-четвертичной озерной толщей, перекрывающими с размывом офиолитовый комплекс. Сейсмический разрез предполагает наличие в Приварденисской равнине мощного флишидного палеогена и осадочного позднего мела. Более сомнительно наличие юрского комплекса в западной половине южного берега, поскольку аналогия с разрезом в басс. р. Аргичи допускает развитие мощного субплатформенного среднего-верхнего палеозоя, возможно, и карбонатного, и угленосного триаса, вскрытого скважиной в долине р. Эхегис, на южном склоне Варденисского хребта, несогласно перекрытого осадочными породами позднего мела. Юрские отложения в этой части отсутствуют. Но они, вероятно, развиты в восточной половине южного берега, представляя продолжение к северу юрского комплекса Кафанского антиклиниория.

Уровень метаморфического фундамента примерно от нулевой абсолютной отметки ступенчато повышается к водораздельной части нагорья. В Пригегамской равнине доплиоценовый комплекс вскрыт несколькими скважинами (рис. 20). Под мощным сарматом и средним миоценом вероятно наличие здесь красноцветных моласс раннего миоцена, налегающих на вулкано-обломочные отложения нижнего-среднего олигоцена – аналога шорахпюрской толщи. Судя по результатам структурного бурения, сокращение мощностей до выклинивания глинисто-песчаной толщи низов Сарыкаинского разреза имеет место по направлению к Гегамскому нагорью (рис. 20). На западе ее замещают туфогенные отложения и андезито-базальты Манычарского лавового потока. Вся толща разбита рядом сбросов, простирающихся параллельно береговой линии. Выявляется некоторое сокращение мощности низов Сарыкаинской толщи по направлению от нагорья к береговой линии озера Севан. Вероятно в западной половине экватории Б. Севана эти отложения все же развиты в сокращенных мощностях. Это следует из корреляции с результатами структурного бурения вдоль южной, Приварденисской зоны. Заделавший несогласно на складчатой позднемиоценовой молассе плиоцен-раннечетвертичный комплекс деформирован

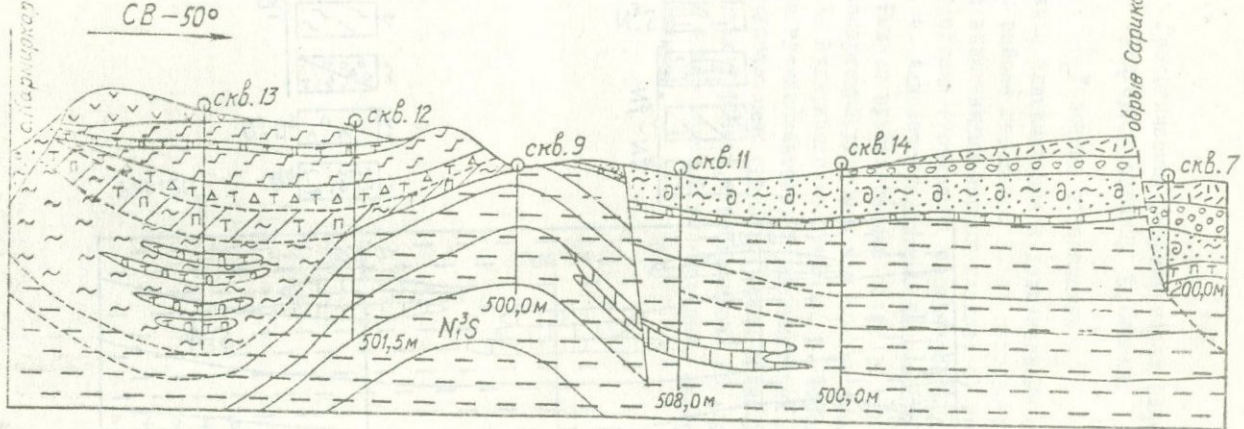


Рис.20.

ЮВ - 150°

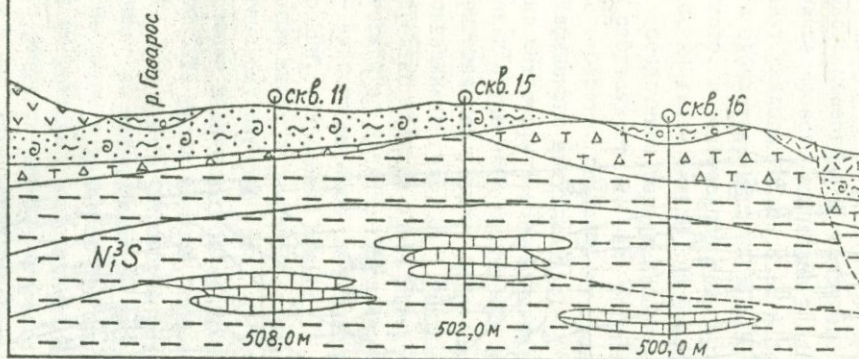
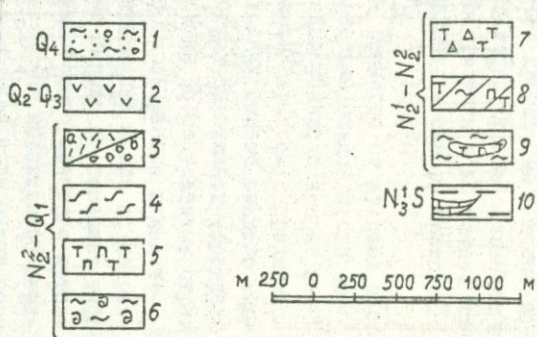


Рис.20



M 250 0 250 500 750 1000 M

Рис. 20 Геологические разрезы через западную предгорную равнину Б. Севана.

Условные обозначения

1. Современные аллювиальные и делювиальные отложения.
2. Базальты района гор. Камо.
3. а) пеплово-пемзовые отложения с включениями черных плаков; б) гравийно-галечные отложения (горизонт сарыкаинской свиты — нижний).
4. Андезито-базальты. Манычарский лавовый покров.
5. Рыхлые вулканические пески.
6. Глинисто-песчаные, содержащие диатомеи и в обилии дрейсенсии, отложения.
7. Вулканические брекчии.
8. Чередование косослоистых вулканомиктовых и полимиктовых песчаников с прослойями диатомовых глин.
9. Глины с линзами плотных псаммитовых туфитов и песчаников.
10. Глины зеленовато-серые с прослойями и включениями, линзами рифогенных известняков.

весъма слабо, лишь в приразломных участках.

Из складчатых структур юго-восточного подножья нагорья и особенно у берега оз. Севан наиболее крупной является Арцвакарская антиклиналь, сложенная сарматскими отложениями /25,60/. Верхнеплиоценовые и нижнечетвертичные лавы слагают пологий вал, имеющий про-стирание 135-140°, с более слабо выраженным юго-западным крылом. Тянется он от "мыса с часовой" на берегу оз. Севан к с-з, проходя несколько восточнее с. Арцвакар. В 200-300 м южнее "мыса с часовой" обозначается антиклиналь с-з простирания с довольно крутым (до 60-70°) падением крыльев. Ядро ее сложено известняками-ракушниками и туфобрекчиями мэотиса-пonta, прорванными мелкими дайками дацитов, которые иногда сильно брекчированы и протягиваются в ю-в направлении. С размытом и угловым несогласием отложения мэотиса-пonta перекрываются нижнеплиоценовыми пемзово-пепловыми диатомитовыми и глинистыми отложениями с более пологим падением слоев по крыльям, в среднем до 20-25°. Верхнеплиоценовые лавовые покровы залегают значительно выше (10-15°). Все указанные образования в приосевой части антиклинали разорваны широтным сбросом с опущенным северным крылом. Амплитуда сброса около 15-20 м. Южнее картируется небольшая брахиантиклиналь, сложенная верхнеплиоценовыми лавовыми потоками, с углами падения до 10-15°.

Другое асимметричное горст-антиклинальное поднятие протягивается в меридиональном направлении между долиной среднего течения р. Гехаркуник (Гаварaget) и западным побережьем оз. Севан. Это поднятие известно под названием Башкендская гряда / 60 /. Западный ее склон представляет крупный, почти отвесный обрыв, возвышающийся на 200-250 м над долиной реки Гехаркуник. Верхняя часть гряды сложена верхнеплиоценовыми темно-серыми пористыми оливиновыми андезито-базальтами. Подстилающие их плиоценовые андезиты выражены более пологим (40-30°) склоном. Гряда сложена разломами в виде нескольких ступеней (некоторые из них с пологим обратным наклоном), бронированных андезито-базальтовыми лавами. Сбросы возникли в постплиоцене после излияния Манычарского лавового покрова и образования древних широтных долин. Амплитуда смещения, по-видимому, достигает 100-150 м, с падением плоскости нарушений под углом 60-90° на запад.

На северо-восточных и юго-восточных краях Башкендского поднятия пологая наклоненная поверхность андезито-базальтового покрова погружается под почти горизонтальный покров аллювиально-озерных отложений приозерной равнины. На востоке однако лавовое плато об-

рывается к озеру крутыми, местами почти отвесными уступами высотой в 10-30 м, сбросового или флексурного вида.

В пределах крупного нарушения, морфологически выраженного уступом на протяжении 3 км, вдоль восточного склона южной части Башкенского поднятия, между селениями Еранос-Дзорагюх, выступают плиоценовые вулканогенно-обломочные породы и подстилающие их глинисто-песчанистые отложения сарната. От сбросового уступа до берега оз. Севан распространены древнечетвертичные, ныне стабилизированные оползни, сложенные отложениями плиоцена с останцами андезитовых лав. На их поверхности, в центральной части Манычарского лавового плато имеется меридионально вытянутая бессточная котловина, окруженная со всех сторон невысокими лавовыми грядами. Плоское дно этой котловины выполнено пролювиально-дельювиальными, а под ними — озерными отложениями. Возникла она в результате новейших тектонических движений, деформировавших лавовый покров.

К числу неотектонических структур относится и Саруханская котловина меридионального простирания вдоль западного склона Башкенской гряды. Сужаясь к югу, она замыкается у сел. Гехаркуни, на севере же расширяется и далее погружаясь под верхнечетвертичные лавы.

Западный берег и склон озера были тектонически активны и в голоцене. Так, выявлены резкие перепады уровня поверхности коричневых глин (пачка I) донных осадков, вскрытых в низах разреза вибропоршневыми трубками (рис. 2.), датируемых примерно в 3 тыс. лет. Скорее всего это сейсмические уступы голоценового времени. Примеры весьма молодых современных (историческому человеку) тектонических деформаций склонов заслуживают дальнейшего изучения и должны быть учтены и в современной хозяйственной деятельности.

Плейстоцен-голоценовая тектоническая активность вырезилась также в формировании грабена М. Севана, усложнившего позднеплиоценовую впадину, более обширную на западе. На с-з ее продолжении развита Цовагюхская впадина, наложенная на восточное крыло асимметричной Дзкнагетской горст-антиклинали с офиолитовым ядром. Продолжением последнего в Малосеванском грабене является Цамакабердское поднятие с выходами андезитов среднего эоцена. Западносеванская впадина (прибрежной зоны) также имеет структурное продолжение в строении дна Севанской бухты (Еленовской).

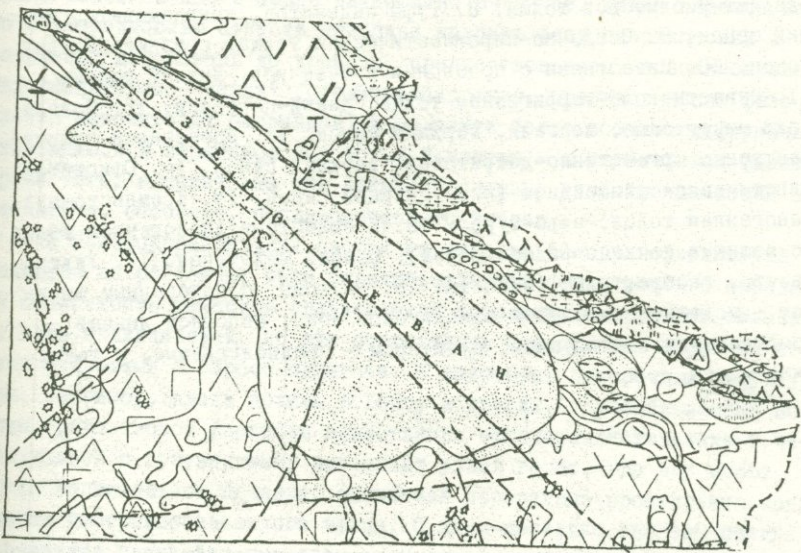
Глава 3. ГЕОЛОГИЧЕСКОЕ СТРОЕНИЕ ОБРАМЛЕНИЯ

Обрамление озера составляют Севанский хребет на с-в, Варденисское нагорье - на юге и Гегамское нагорье - на западе. Строение обрамления весьма своеобразно. Наиболее древним - позднемеловым-палеогеновым является Севанский горст-антиклиниорий, входящий в Севано-Акериинскую офиолитовую зону, совместно с кулисовидно к нему расположенным Турагачайским синклиниорием на востоке и Сарыбабинским - на юго-востоке. Сочленение этих структур и с обремняющей их с востока Сомхето-Карабахской тектонической зоной выражено зонами разломов-взбросов, поддвигов и сбросов, сложно сочетающихся со сдвигами. Ряд исследователей /53, 54, 29/ полагают, что породы офиолитовой ассоциации представляют аллохтонные массы, которые выполняют впадины предверхнеоньянского палеорельефа, и что, соответственно, под офиолитами может быть и более молодой, чем офиолитовая ассоциация, комплекс пород. Другое объяснение сложной структуре пород офиолитовой ассоциации состоит в том, что офиолитовая ассоциация слагает не аллохтон, а мелкие прикорневые покровные пластины, в основном же паравалтохтон в составе чешуйчато-наддвиговой структуры, в целом надвинутой ю-з на комплекс обрамления.

В строении Севанского горст-антиклиниория достаточно надежно картируются сенонский-палеогеновый надофиолитовый "чехол" и сложно построенное офиолитовое ядро. Породы "чехла" окаймляют ядро горст-антиклиниория с с-з и ю-з, отчасти погружаясь под молласы акватории к ю-з от полуострова Шоржа, с выходами лишь в Масрикской котловине.

В ядре горст-антиклиниория картируются несколько с-з простирации синклиналей и антиклиналей, с общей ю-з вергентностью. Слагают они несколько чешуй, разобщенных разрывами того же простиранья типа взбросов и сбросов, с амплитудой перемещения по ним до нескольких сот метров, реже более 1 км (Возмужский сброс, Памбакский поддвиг), с падением плоскостей нарушений чаще на с-в с крутыми в центральной части антиклиниория и более пологими в ю-з краевой части углами падения.

Ядра частных структур выполнены кремнисто-эфузивной формацией офиолитовой ассоциации, сложно дисгармонично складчатыми породами, разобщенными на мелкие блоки нарушениями (рис. 22). К некоторым крупным антиклиналям принадлежат прорузыи серпентинизированных гарнбургитов и лернолитов, а также прорывающих их габброидов и топалитов.

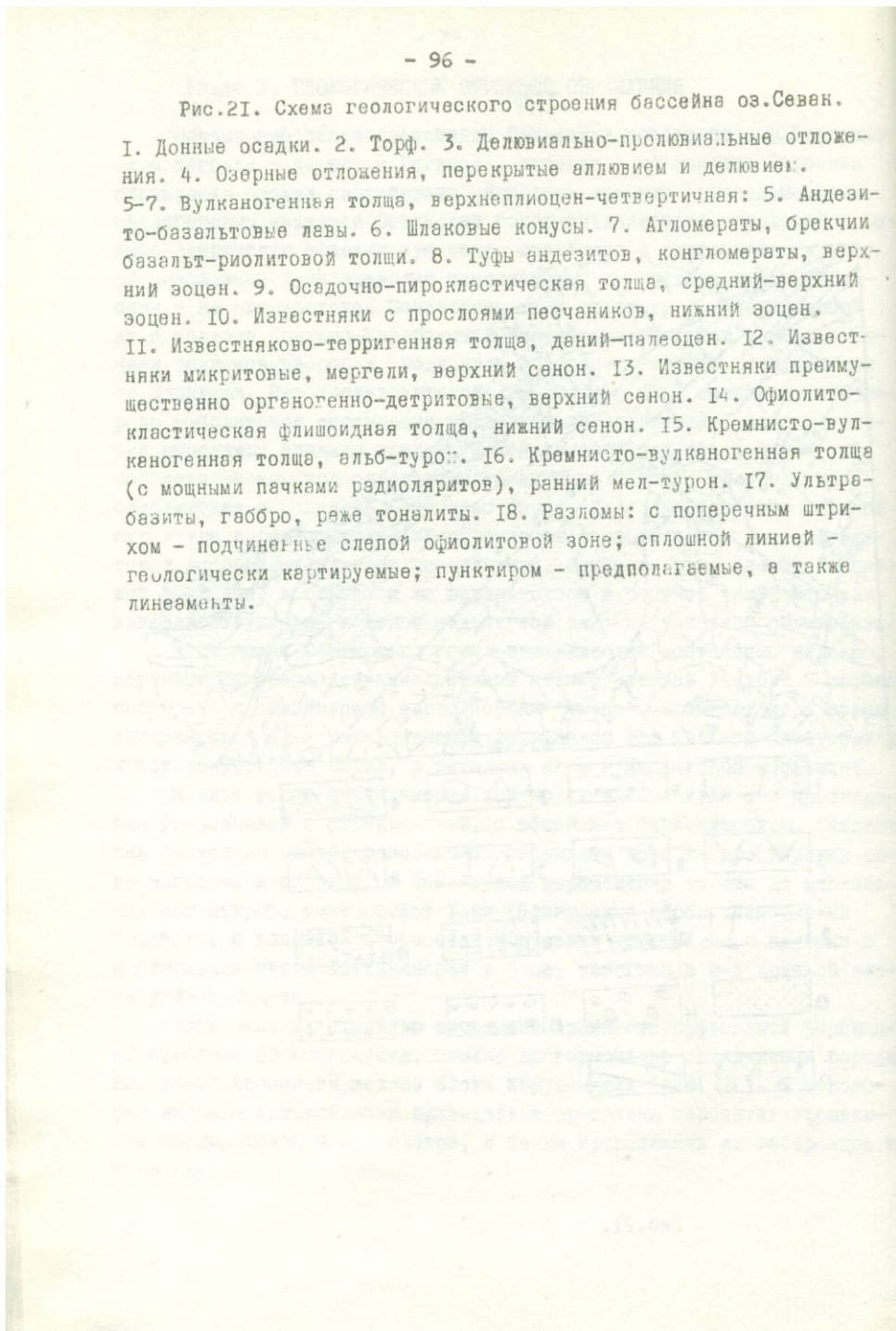


- | | | | |
|-------|-------|----|-----|
| 1 | 2 | 3 | 4 |
| — | —+—+— | △○ | ○△ |
| 5 | 6 | 7 | 8 |
| ▽▽ | ○○ | △Γ | △▽△ |
| 9 | 10 | 11 | 12 |
| T T | ---- | —— | --- |
| 13 | 14 | 15 | 16 |
| ●●●● | ○○○○ | | |
| 17 | 18 | | |
| λ λ λ | —+—+— | | |

Рис.21.

Рис.21. Схема геологического строения бассейна оз.Севан.

I. Донные осадки. 2. Торф. 3. Делювиально-пролювиальные отложения. 4. Озерные отложения, перекрытые аллювием и делювием. 5-7. Вулканогенная толща, верхнеплиоцен-четвертичная: 5. Андезито-базальтовые лавы. 6. Шлаковые конусы. 7. Агломераты, брекчии базальт-риолитовой толщи. 8. Туфы андезитов, конгломераты, верхний эоцен. 9. Осадочно-пирокластическая толща, средний-верхний эоцен. 10. Известняки с прослойями песчаников, нижний эоцен. II. Известняково-терригенная толща, даний-палеоцен. 12. Известняки микритовые, мергели, верхний сенон. 13. Известняки преимущественно органогенно-детритовые, верхний сенон. 14. Офиолито-кластическая флишоидная толща, нижний сенон. 15. Кремнисто-вулканогенная толща, альб-турон. 16. Кремнисто-вулканогенная толща (с мощными пачками радиоляритов), ранний мел-турон. 17. Ультрабазиты, габбро, реже тоналиты. 18. Разломы: с поперечным штрихом - подчиненные слоем офиолитовой зоны; сплошной линией - геологически картируемые; пунктиром - предполагаемые, а также линеаменты.



Мелкие тела серпентинитов обычно слагают, совместно с зелеными сланцами основания пологих надвигов ю-з краевой части (рис.22). Причем именно в этих, нередко опрокинутых краевых складках в складчатость вовлечены также породы граувакковой и микритово-известняковой формаций сенона и известняки эоцен. Однако комплекс чекла менее сложно и менее интенсивно складчат. Таким образом, можно с уверенностью отнести наиболее крупную фазу пластических и разрывных деформаций ко времени, предшествовавшему возникновению надофиолитового "чехла" (средиземноморская, предконьякская фаза скатия офиолитовых бассейнов) и выделить более поздние деформации, относящиеся к парамийской и большей частью - к пиренейской фазам. Кроме того, офиолитовые швы испытали сложные глыбовые движения орогенного и, особенно, позднеорогенного этапа.

В близводораздельных частях горст-антиклиниория офиолитовый комплекс по разломам, реже стратиграфически сочленяется с породами офиолитокластической граувакковой формации, они как бы облекают ядра антиклиналей, но эти соотношения существенно нарушены поздними взбросами и сбросо-сдвигами. В некоторых поперечных структурах, как, например, вдоль долины р. Гейсу и других, грубообломочные породы граувакковой формации существенно офиолитокластические и чередующиеся с граувакками, выполняют узкий горст, где они имеют почти вертикальное падение, обозначая поперечные простирию зоны скатия постстратиграфического этапа. С ними локально связаны мелкие проявления глаукофановых сланцев и магнезитов. Такие поперечные структуры, в их числе и приразломные, вдоль Нор-Баязетского вала, представляют несомненно крупные антиавказские разрывы континентальной коры, возникшие к концу офиолитового, но главным образом на пост офиолитовом этапе. На космических снимках они выражены крупными линеаментами.

Таким образом, очевидна многоплановость и многоэтапность деформации офиолитовой зоны. Преобладают линейные структуры с общим сокращением геологического пространства в частях зоны, наиболее насыщенных пластическими ультрабазитами в виде корней и прожилок в основании мелких покровов. Крупные тела ультрабазитов, как следует из результатов геокарттирования, пространственно совмещены с блоками кремнисто-эффузивной формации, сложенными наиболее глубоководными осадками и вулканическими породами - эти парагенезы впечатляют наличием мощных потоков толеитов и чередующихся с субшелочными базальтами протяженных пачек радиоляритов и других типов силицитов,

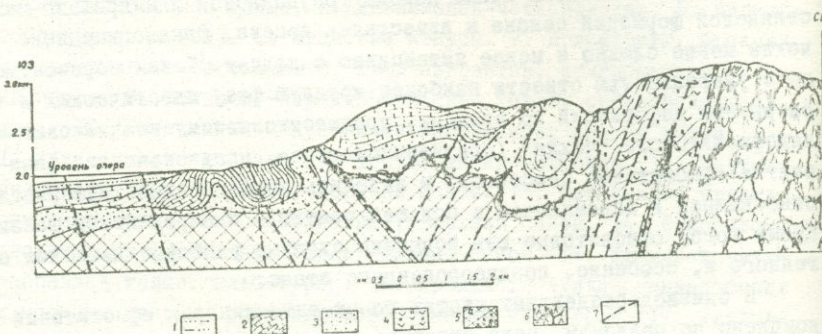


Рис.22. Геологический разрез через Севанскую офиолитовую зону
(Севанский хребет, ущелье Саринар).

1. Флишоидные отложения. Даний-палеоцен. 2. Известняки микритовые. Верхний сенон. 3. Граувакковая толща (офиолитокластическая). Верхний конъяк-нижний сантон. 4. Кремнисто-эфузивная формация офиолитовой серии. Ранний мел - нижний конъяк. 5. а - доофиолитовое основание, метаморфический комплекс: герцинский (?), открытый в восточной части комплексом плитчатых известняков юрского-раннемелового времени и флишоидными отложениями альба-сеномана; б - зоны дробления со сланцами и серпентинитами. 6. Серпентинизированные ультрабазиты. 7. Разломы.

в их числе и марганценосных — металлоносных осадков мезозойских офиолитовых бассейнов / 84 /. Между тем, на удалении, по простиранию, например, от междуречья Шишкяя и Дара на восток и на северо-запад в строении формации характерно преобладание менее глубоководных отложений — известняков, сильно миндалекаменных трахибазальтов и др. Как видно, наиболее сложно дислоцированными оказываются глубоководные фрагменты кремнисто-эфузивной формации, что еще раз подкрепляет предположения о масштабных конседиментационных деформациях выполнения офиолитовых трогов.

Другой тип разрезов кремнисто-эфузивной формации, который картируется у подножья Севанского хребта (низовье ущ. р. Саринар, северные окраины с. с. Шишкяя и Гейсу), отличается отсутствием пачек силицитов, вулканические породы включают лишь мелкие линзы радиоляритов, чередующихся с микритовыми известняками, встречаются линзы известняков апоорганогенно-детритовых с гравийной примесью. В разрезе много щелочных базальтов, сильно миндалекаменных, в верхах разреза обычны красновато-сереневые кератофиры и их брекции. Крупные выходы ультрабазитов в этой полосе отсутствуют. Мелкие тела серпентинизированных ультрабазитов, сопровождаемых кверц-хлоритовыми сланцами, слагают основание пологих надвиговых чешуй. Эти разрезы характеризуют, безусловно, менее глубоководную зону офиолитового трога и, скорее всего, его краевую часть. В линзах микритовых известняков здесь найдены хорошей сохранности двухкилевые фораминиферы сеномана. Надо полагать, что основание, на котором залегают офиолиты, в промежутке от средних до нижних отметок Севанского хребта, представляет тектоническое подложение, на которое шарированы близкоренные мелкие покровы.

Судя по сейсмическому профилированию, метаморфический древний комплекс приподнят в виде узкой полосы вдоль подножья хребта (районы с. с. Шишкяя, Гейсу и юго-восточнее). Этот комплекс, видимо, тектонически перекрыт маломощным палеозойским-триасовым рифтогенным комплексом, на который, в свою очередь, надвинуты пластинки позднеюрской-неокомской толщи плитчатых известняков и флишоидной толщи альба-сеномана / II /, обнаруженные в серии чешуй в районе с. Кясаман и выполняющие ядро Зинджирлинской антиклинали на ю-в хребта и в басс. р. Тертер.

Джил-Сатанахачский массив и другие, кулисовидно с ним сопряженные, относятся скорее к корневой зоне — зоне выжимания офиолитовых масс (рис. 22). При формировании близкорневых покровных плас-

тин и надвиговых чешуй на наибольшем удалении от корневой зоны оказываются породы, относящиеся к выполнению близбортовых частей олиолитовых трогов. Механизм подвертывания под наступающие близосевые массы покровов, как видно, здесь не имел места и главным образом по причине малых масштабов шарырирования. Именно потому блоки в современном пересечении от оси олиолитовой зоны к ее краям, их латеральная очередьность в значительной мере сохранили свою начальную стратиграфическую последовательность. На ю-в Севанского хребта выявлена зона развития крупных олистолитов в разрезе района Зодского перевала (вдоль старой дороги). Разрез начинается на восточном склоне перевала выходами габбро-брекчий. Выше них по северному борту перевальной дороги следуют базальты буровато-коричневые, местами с шаровой отдельностью. Их радиологический (K/Ar) возраст — позднемеловой ~ 94 млн. лет. Мощность потоков базальтов до 5-10 м. Непосредственно по сухому логу склона перевала выступает пачка тонкоплитчатых песчаников, чередующихся с серыми мелко-зернистыми известняками. Их соотношение с габброкластами, по-видимому, тектоническое. Азимут простирации $270-290^{\circ}$, падение на ЮВ $\angle 15^{\circ}$, мощность пачки до 5 м. Выше следует чередование коричневых оскольчатых пелитовых кремнистых туфлитов, туфов с потоками миндалекаменных базальтов. В верхах пачки пелитовые туфлиты включают угловатые обломки базальтов, линзы вулканокластических песчаников. Их сменяет пачка плитчатых коричневато-серых алевролитов и слюдистых песчаников (5 м). Выше по разрезу следуют коричневато-красные радиоляриты с прослойями коричневатых разностей. Мощность радиоляритов до 20-25 м. Радиоляриты включают остатки радиолярий позднего триаса и представляют олиостолику. Их сменяют вулканические брекчии средне-мелкообломочные, зеленовато-бурые, мощностью до 5 м. Выше по разрезу следует горизонт олистолитов известняков, серых и розовато-серых, тонкослоистых, местами среднеслоистых с линзами ракушечников. В известняках обнаруживаются редкие обломки (2-4 см) красновато-бурых вулканических пород. Условная мощность этого горизонта с олистолитами до 10 м. В ракушечниках определены *Nalobia norica Majs.* характерные для позднего триаса. На южном склоне перевальной дороги следуют базальты с крупной в поперечнике (до 1,5 м) шаровидной отдельностью. Мощность базальтов 10-15 м. На южном борту перевальной дороги выступают габбро-брекчии с большим количеством обломков базальтов. Видимая их мощность до 200 м. Этот разрез с олистолитами позднетриасовых известняков и радиоляритами

ритов очень важен для интерпретации доюрской истории развития региона, на чем мы остановимся и далее.

Севанский горст-антиклиниорий на карте высотной (1200–4000 м) аэромагнитной съемки (Г.А.Русков, Г.А.Сироткин) выделяется овальной, вытянутой зоной положительных аномалий (+I – +4 мэ), совпадающей с ядром этой структуры. Расположенная на ю-востоке него Масрикская котловина выражена зоной нулевой и отрицательной (до -I мэ) аномалий (Масрикский минимум). Здесь отметим, что и Кафанский антиклиниорий, структурным продолжением к северу которого является, видимо, Масрикская котловина, также характеризуется отрицательными значениями магнитного поля.

Гравитационное поле этих структур также резко отличается. Масрикская котловина совпадает с гравитационным минимумом. Северо-восточнее, в зоне перехода к Севанскому горст-антиклиниорию и далее к его ядру имеет место резкое повышение гравитационного поля, при средней величине градиента 6–7,7 мгл/км.

Рассмотрим далее основные черты геологического строения Варденисского нагорья.

Плиоцен-четвертичные лавово-пирокластические покровы существенно маскируют строение донеогенового комплекса. Судя по структурным элементам мелких выходов меловых и палеогеновых пород под неоген-четвертичным чехлом Варденисского нагорья погребена крупная асимметричная антиклиналь северо-западного простирания. В выходах донеогеновых отложений исследуемого района (бассейны р.р. Мартуни, Астхадзор, Варденик, Орбатех, Айсасы, Каракая, Соганду, Ехегис) на значительной полосе шириной более 17–18 км, охватывающей почти все нагорье, наблюдаются северо-западные падения под углами 20–40°. Варденисская антиклиналь осложнена рядом параллельных или кулисообразно расположенных северо-западных или близширотных мелких брахиантеклиналей: Вагашенская, Гетикванская, Акункая, Масрикская, Хопурлинская и разделяющих их синклиналей. Некоторые из них являются надразломными складками крупных северо-западных разрывных нарушений. На восточном краю нагорья, в районе его соединения с Кельбаджарской наложенной мульдой, с поперечным планом дислокаций, северо-западные второстепенные складки дугообразно изгибаются до близмеридионального или даже северо-восточного (10–20°) простирания. Кратко рассмотрим частные структуры нагорья.

Вагашенская антиклиналь (верховье р.Мартуни) выделяется предположительно на основании уменьшения угла падения (от 35° до 18 –

20°) верхнеэоценовых вулканогенно-осадочных пород в юго-западном направлении, что, видимо, наблюдается при приближении к ядру антиклинальной складки. Ось складки имеет северо-западное простирание, она погребена под неогеновой вулканогенной толщей.

Породы ядра складки гидротермально изменены и содержат полиметаллическое оруденение. Гранитоидная интрузия (средний плиоцен) дайкообразно вытянута вдоль разломной полосы.

Гетикванская антиклиналь расположена в верховьях р.Гетикванс, вдоль зоны Варденинского глубинного разлома. Выделяется предположительно в качестве надразломной асимметричной антиклинали, с более крутым юго-западным опущенным крылом. Ядро антиклинали сложено верхнеэоценовыми андезитовыми порфиритами, а северное – верхнеэоцен-олигоценовыми и миоценовыми кислыми вулканитами. Вдоль оси антиклинали внедрен Северо-Гетикванский гранитоидный интрузив верхнеэоцен-олигоценового возраста. К юго-западному сброшенному борту зоны разлома приурочены молибденовое, Варденинское и медно-полиметаллическое-Гетикванское проявления.

Акунинская антиклиналь (расположена между с.Субатен и Акунк) сложена среднеэоценовыми осадочно-вулканогенными породами, имеет резко асимметричное строение с пологим ($16-30^{\circ}$) северо-восточным и крутым ($60-75^{\circ}$) юго-западным крыльями. На ю-з антиклиналь почти полностью бронирована четвертичными лавовыми покровами. В ядре складки внедрены анортозитовый интрузив и многочисленные дайки диорит-порфиритов. На северо-западном окончании складка погружается под неоген-четвертичные образования Севанской впадины.

Синклинальные прогибы, разделяющие антиклинали, всюду маскируются новейшими вулканическими образованиями.

Новейшая структура Варденинского нагорья, судя по элементам залегания нижне-среднеплиоценовой вулканогенной свиты, представляет собой широтно-вытянутое пологое брахиантиклинальное поднятие со средними уклонами склонов от $10-12^{\circ}$ (на юг и запад) до $15-22^{\circ}$ (на север, северо-восток). Ось складки совпадает с центральным водоразделом Варденинского хребта. К северу антиклиналь переходит в Севансскую синклинальную впадину.

На западе Варденинского нагорья выступает Аргичинский антиклинарий, представляющий систему складок северо-западного простирания, погружающихся к юго-востоку. В ядре антиклиналей (Северо-Аргичинской, Южно-Аргичинской) выступают интенсивно дислоцированные кварциты, известняки и глинистые сланцы верхнего дэзона и нижнего кэр-

бона. Синклинальные структуры заполнены полого залегающими отложениями верхнего мела и, изредка, палеогена. Складки на значительной площади перекрыты слабо дислоцированными или почти горизонтально залегающими вулканическими и другими континентальными образованиями мио-плиоцен, плиоцен и постплиоцен.

Проведенные исследования с применением разномасштабных аэрофотоснимков в комплексе с высотными и космическими снимками, а также анализ данных специальных геофизических работ (данные станций "Земля", "Черепаха" и др.) позволили выделить разрывные нарушения разного порядка.

Из разрывных нарушений Варденисского нагорья Варденисский разлом выражен на высотных и космических снимках, трассируется в северо-западном направлении от района кур.Джермук в сторону Гетиквансского рудного поля. Вдоль долины правой составляющей р.Варденис разлом прослеживается к городу Мартуни. Зона разлома на поверхности представлена гидротермально измененными породами: обеленными загипсованными (с алюнитовыми кварцитами), местами со значительной рудной минерализацией (Варденисское молибденовое и Гетикванское полиметаллическое проявления). В долине р.Варденис на глубине 500-600 м зона разлома пересечена в Арпа-Севанском тоннеле, где на протяжении более 0,5 км развита зона дробления с минерализацией азурита и обильной водоотдачей.

С зоной разлома связаны многочисленные минеральные источники в долинах р.р.Арпа, Ехегис, Варденик, а также в районе с.Личк.

По данным ст."Земля", Варденисский разлом имеет вертикальное ложение и достигает нижних слоев земной коры. Амплитуда вертикального перемещения, выраженная в верхних слоях земной коры крупным флексурообразным изгибом, достигает 2,5 км. Подвижки по Варденисскому разлому продолжались и в постплиоценовое время. Вдоль его трассы пачки ниже-среднеплиоценовых вулканических пород раздроблены и флексурообразно наклонены (под углом 30-35°) к северо-востоку. Линейная цепь нижнечетвертичных базальтовых вулканов: Сардаривар, Тапак, Хрекнир и Пепенот выстроены именно в этом направлении. В шлаках вулкана Пепенот в окрестностях с.Астхадзор и Золакар встречены ксенолиты с пиритовой минерализацией.

Карчахпюрский разлом трассируется по линии с.Карчахпюр - с.Лчаван, вулк.Кармирванк - вулкан Порак - долина р.Курбага и дальше на юго-восток в сторону массива г.Делидаг. Он хорошо фиксируется на крупномасштабных аэрофотоснимках. На поверхности четко от-

ражен в сдвигах контуров низнечетвертичных многоступенчатых лавовых покровов. По линии разлома вулканический шлаковый центр Кармирванк разделен сдвигом и восточная часть конуса перемещена к юго-востоку на 750 м.

Карчахпюрский сдвиг в глубоких слоях коры имеет сбросовую компоненту с опущенным юго-западным крылом. В результате этого сброса в приподнятом северо-восточном блоке глубина залегания меловых вулканогенных пород не превышает 1 км, палеогеновые отложения отсутствуют (данные ст."Земля").

Норакертский разлом прослеживается по долине р. Каракоюн, от района Кельбаджарского перевала на северо-запад к коч. Чом и далее по Месрикской котловине к с. Норакерт. Этот глубинный разлом фиксируется ст."Земля" как крупный сброс с опущенным северо-восточным крылом. Этот и Карчахпюрский параллельные разломы предопределяют горстообразное поднятие Карчахпюрского блока. Норакертский разлом выделяется на аэрокосмических снимках. В районе коч. Чом, в долине р. Каракоюн этим разломом левый борт долины сброшен на 100-150 м. Разломом рассечен липарито-дайцитовый экструзив Чом, внедрившийся в нижнеплиоценовую туфобрекчевую толщу.

В группу второстепенных разломов включен крупный Вагашенский разлом северо-западного простирания, входящий в зону Варденисского глубинного разлома. С Вагашенским разломом связаны интенсивные гидротермальные изменения, сопровождавшиеся полиметаллической рудной минерализацией (Вагашенское проявление). Имеется также множество тектонических и других нарушений, трещин меньшего порядка, приуроченных в основном к главным разрывным нарушениям небольшой протяженности или магматическим внедрениям. Амплитуда смещения у них колеблется в пределах первых десятков метров, а порой и вовсе не имеется. Они выражаются узкими зонами гидротермально измененных пород.

Ограничивающее озеро с запада Гегамское нагорье в плане представляет эллипсовидный выпуклый щит почти меридионального простирания. Осевая, наиболее приподнятая часть нагорья достигает высот около 3000 м и представляет слабо выпуклое плато, над которым возываются останцевые вершины (более 30) и многочисленные шлаковые конусы в виде единой цепи, вытянутые с юга на север. Лавовые покровы, начинающиеся из этих конусов и останцевых вершин, покрывают все склоны и предгорное плато нагорья. Древние складчатые образования нигде не обнаружены.

Большая (до 150 мГ) отрицательная аномалия силы тяжести вряд ли обозначает глубокий прогиб или синклинальную структуру складчатого подлавового комплекса. Далее, отрицательная аномалия силы тяжести характерна для всей области развития неовулканического пояса региона, включая Цахкуняцкий хребет, где допалеозойский субстрат значительно приподнят. Отрицательная аномалия, вероятно, обусловлена разуплотнением, расширением глубинных масс, неглубоким заложением фундамента, как предполагают многие авторы. Это подтверждается и последним сейсмическим профилированием. Наличие погребенного антиклинального сооружения под Гегамским хребтом подтверждается следующим.

К северу и югу от центральной части нагорья расположены Ахтинское и Южно-Армаганское (Аргичинское) поднятия — выступы палеозойского и допалеозойского комплексов; широтные складки меловых и палеогеновых отложений Ереванского синклиниория, приближаясь к нагорью, загибаются к юго-востоку; область центральной части нагорья представляла в позднем мезозое, в палеогене-нижнем миоцене область сноса обломочного материала. То же и в плиоцене, и антропогене. Среди плиоценовых туфобрекчий, снесенных с центральной части нагорья, на его восточном склоне обнаружены глыбы и обломки кварцитовидных песчаников палеозоя; галька кварцитов отмечается и среди плеистоценовых лав; южная и северная приподнятые части нагорья испытали дальнейшее воздымание, дробление разломами продольного и поперечного направления, с которыми связаны эруптивные вулканические аппараты и лавовые излияния плиоцен-четвертичного времени.

Геофизические исследования методами ДЕЗ, МТП и МТЗ в юго-восточной части нагорья, от котловины оз. Севан к водоразделу показали резкое уменьшение электропроводимости разреза, что, вероятно, указывает на уменьшение (выклинивание) мощности проводящих сарматских отложений.

Гегамское нагорье возникло в неоген-четвертичное время в результате своеобразного воздымания, вместе с тем неоднократные извержения того же времени обусловили возникновение мощного вулканического пенцира нагорья.

3.I. Формации позднеплиоцен-четвертичных вулканогенных образований

Окаймляющие оз. Севан с запада - Гегамское и с юга - Варденисское вулканические нагорья - крупные брахиантклинали новейшего времени, входят в состав Северной вулканической дуги.

Нижнеплиоценовые вулканиты слагают преимущественно осевые части нагорий и обнажаются ограниченно в ущельях поперечного стока. Представлены они следующим рядом формаций.

Андрезит-риолито-дацитовая формация (Гегамская и Варденисская свиты) объединяет главные объемы вулканических продуктов крупных полигенных вулканов, действовавших в это время (5,5-4,0 млн. лет) по всей северной дуге.

Для полигенных вулканов характерна резкая смена мощностей. В прижерловых частях мощности вулканитов достигают 700-900 м. Наряду с лавовыми потоками, развиты субвулканические тела, высока доля эксплозивного материала, значительны колебания составов по мощности и латерали.

По Г.А. Казаряну и др. (1981), варденисская свита подразделяется на две толщи. Нижняя толща - риолито-дацитового и риолитового состава, верхняя - дацитового, андрезито-дацитового и андрезитового. Разрез завершается базальтами. В строении гегамской свиты можно отметить небольшой объем риолито-дацитов и, особенно, риолитов, но уже возросшую роль андрезитов, андрезито-базальтов и, частично, базальтов.

Вулканические породы преимущественно порфировые. Фенокристаллы образованы олигоклазом до лабрадора и клинопироксеном; в вулканитах ряда андрезито-базальт - дацит нередок также гиперстен, в базальтах и, реже, в андрезито-базальтах - оливин. Базальтическая роговая обманка встречается редко. Риолито-дациты и риолиты не всегда содержат калишпат и кварц, в них обнаруживается изредка биотит.

В основной массе обычны микролиты плагиоклаза, пироксенов, рудная сырь и стекло, иногда полураскристаллизованное и раскристаллизованное. Породы формации относятся к известково-щелочным ассоциациям; большая часть основных и средних вулканитов отличается повышенной щелочностью, определяемой содержанием калия. Вероятно, тяготеют к центрам извержений алунитизация, хлоритизация, реже окварцевание и цеолитизация пород. Измененные породы района

с.Кепутан вмещают апатит-магнетитовое месторождение; в верховьях ущелья Грыдзор в низах свиты поры и газовые каверны базальтов и андезитов выполнены агатом.

Трахиандезитовая формация развита в центральной и южной частях Гегамского и в западной части Варденинского нагорий. Породы формации налегают на образования гегамской и варденицкой свит и перекрываются так называемыми манычарскими лавами. Формация слагается главным образом эфузивными породами, мощность потоков редко превышает 10 м; общая мощность комплекса только местами пре-воходит 100-120 м. Вулканизм ареального типа (многовыходный). Центры извержений (купола) и их руины сохранились у с.Гехаркуник, в верховьях р.Азат (Еракатар), у Архашенских высот, на "мысе с развалинами" у с.Еранос.

В объеме формации абсолютно преобладают трахиандезиты (не менее 90% площади развития); им резко уступают трахиандезито-базальты, слагающие небольшой поток и дайку на Гегамском нагорье. На восточных склонах и периферии Гегамского нагорья развиты трахидациты, нередко с жилками (0,5 мм - 40 см) и небольшими, длиной до 50-60 см линзовидными обособлениями трахилитаритов. Обнажены они на "мысе с развалинами" ($2,5 \text{ км}^2$) и у с.Еранос ($3,5 \text{ км}^2$), "самостоятельные" трахилитариты - у с.Гехаркуник ($0,3 \text{ км}^2$) и на "мысе с часовойней" (небольшие тела внедрения), трахиты - у с.Сарухан ($1,8 \text{ км}^2$) и на левом берегу р.Грыдзор, у выс.2243 ($0,5 \text{ км}^2$).

Трахиандезиты и трахиандезито-базальты имеют эвпорфировое, как правило, мегафировое строение; порфировые выделения представлены андезином (до 27,5%), опацитизированным биотитом (до 11,6%) и бурой роговой обманкой (до 7,2%), мелкими кристаллами клинопироксена (до 3,3%). Биотит распределен спорадически; редки микрофенокристаллы гиперстена, единичны выделения оливина. Основная масса состоит из стекла, нередко полураскристаллизованного или раскристаллизованного с выделением калишпата, плагиоклаза и кристаллитов, микролитов плагиоклаза, клинопироксена и иногда роговой обманки и рудного минерала. Довольно обычны гомогенные включения, состоящие из оливина, клинопироксена, лабрадора, рудного минерала и черно-бурого стекла.

Трахидациты представлены олигофировыми породами с обязательным присутствием вкраепленников андезина (до 12,5%) и опацитизированного биотита (до 2,9%); в лавах "мыса с развалинами" есть также санидин (до 2,8%) и клинопироксен. Единичны микровкраепленники

гиперстена, а у с.Бранос и санидина. Основная масса гиалиновая и, частично, гиалопилитовая, с микролитами плагиоклаза, реже калишпата и рудного минерала. Стекло обычно в разной степени девитрифицировано (плагиоклаз+калишпат) и участками содержит кристаллы. Нередки небольшие (несколько мм) "глазки" - включения гомогенного типа (лабрадор, клинопироксен, рудный минерал, "чистое" стекло и изредка оливин).

Трахилипараты имеют олигофировую структуру, содержат фенокристаллы санидина (до 6,9%), плагиоклаза (до 4,6%) и опацитизированного биотита (до 2,1%), очень редки микровкраепленники клинопироксена и оливина. Ортофировая основная масса сломана микролитами калишпата, плагиоклаза, редкими кристаллическими выделениями рудного минерала и, как правило, бесцветным жидким стеклом. Трахилипартовые жилки и линзы в трахиадзитах имеют незакаленные, иногда "растасканные" контакты - границы. В самих трахилипаритах встречаются небольшие (редко более 12-15 мм) шаровидные и ленточные пиквационные обособления.

Трахиты выражены плезиофировой разновидностью - порфировые выделения представлены андезином (до 32,1%), опацитизированным биотитом (до 5,7%), клинопироксеном (до 3,3%), гиперстеном (до 0,8%) и спорадически распределенными и совершенно замещенными рудным минералом единичными кристаллами базальтической роговой обманки. Основная масса эпигиалиновая; стекло, содержащее редкие микролиты плагиоклаза и рудную сырь, девитрифицировано в полевошпатовую массу, в которой местами встречаются волосовидные, собранные в пучки кристаллы калишпата. Участками основная масса пронизана темными стекловатыми жилками (нередко с флюммелоподобными раздувами) толщиной 0,2-4 см, придающими породе флюидальный облик; стекло жилок содержит ориентированные по "течению" микролиты плагиоклаза, пироксена и кристаллиты. К акцессорным относятся эпратит, сфеен, циркон, рутил.

В порах всех пород формации часто отлагался кристобалит. В целом, формация отличается повышенной щелочностью, тяготея, главным образом, к линии Этны; обычно соотношение $\text{Na}_2\text{O} > \text{K}_2\text{O}$, исключая трахиты, в которых содержатся щелочи, примерно одинаковые или скиси калия немного больше. Главная масса пород относится к субизвестково-натровому типу атлантической серии.

В формировании состава формации выявлен эволюционный ряд: трахиандезито-базальт, трахиандезит, трахиадзит, трахилипарат; на-

ясным остается место трахитов. Такая закономерность определяется дифференцированным характером эволюции с финальным ликвационным расщеплением трохилипаратов. Не исключено, впрочем, что и сами трохилипараты являются ликватом, если это так, то случай (двойная ликвация) уникальный. Что касается наиболее ранних членов комплекса - трохиандезито-базальтов и трохиандезитов, есть основание считать, что генетически они связаны с базальтовой магмой.

Нижнеплиоценовый этап вулканизма завершается линейными излияниями щелочно-известковых, двутироксеновых "мэнчарских" андезито-базальтов и андезитов, распространенных, в основном, на восточных склонах и периферии Гегамского нагорья.

Обособление нагорий - брахиантклиналей, имеющих глыбовую, блоковую основу, происходило после извержения пород трохиандезитовой формации. К началу верхнеплиоцен-четвертичного этапа они, в общем, уже были автономны и имели примерно те же границы, что и современные. В начале этапа на восточной периферии Гегамского нагорья, к северу от гор. Кемо и в нижнем течении р. Аргичи, на юге произошло линейное излияние небольших покровов долеритовых базальтов базальтовой формации Транскавказской вулканической зоны, сложенных лабрадором, оливином, клинопироксеном, рудным минералом. Извержение этих лав, являющееся крайним, восточным отголоском активности указанной зоны, связано с разломами, тоже меридионального направления, протягивающимися вдоль западного побережья Большого Севана. Непосредственно же в пределах северной дуги, а, следовательно, и в пределах Гегамского и Варденинского нагорий, верхнеплиоцен-четвертичный этап выразился в последовательном образовании риолитовой и андезито-базальтовой формаций.

Риолитовая (липаратовая) формация. Породы формации, обнаженные на водоразделе Гегамского (гг. Спитакасар и Гехасар и их окрестности) и северном склоне Варденинского (г. Хорапор) нагорий, выражены лавами, обсидианами, перлитами, брекчиями и пемзами, слагающими небольшие покровы и потоки. Извергнуты они куполовидными вулканами (упомянутые горы), расположенными на трещинах небольшой протяженности: тип деятельности - ареальный. Преобладают риолиты. Риолито-дацитов и, особенно, дацитов значительно меньше, причем их извержениями (Гехасар) завершается деятельность вулканов. Порфировые выделения, содержание которых редко превосходит 3,5%, представлены плагиоклазом и единими, обычно спорадически распределенными кварцами, калишпатом, биотитом, роговой обманкой и кли-

нолиоксеном. Основная масса обычно стекловатая, гиалиновая, временами (обычно в лавах) девитрифицированная, микрофельзитовая и сферолитовая. В порах и трещинках иногда отлагаются тридимит, кристобалит, калишпат и кварц; в породах формации выявлено (Карепетян, 1972) более сорока акцессорных минералов, характерных для семейства гранитоидов, в том числе таких как самородные свинец, цинк, золото, олово, медь, галенит, ортит и т.д. Петрохимически породы формации относятся к известково-щелочному типу тихоокеанской серии; главная их масса тяготеет к линии Пассен-Пик. От риолитов к дацитам сумма Na_2O и K_2O понижается, причем Na_2O преобладает над K_2O . На общем петрохимическом фоне выделяются и отдельные особенности, характерные для вулканов каждого из нагорий; то же относится и к составу акцессорий.

Предполагается, что вулканы питались неглубоко залегающими, общими для нагорий, изолированными очагами, а образование формации связано с магмой, имеющей близкий к риолиту состав и, как считает большинство исследователей, коровое, пелингенное происхождение.

Анdezито-базальтовая формация сложена потоками и покровами общей площадью около 2600 км^2 . Большая их часть принадлежит Гегамскому нагорью (1500 км^2). Извержения типично ареальные. Центры извержений (около 200) — сложные и простые шлаковые конусы, лавовые конусы, вулканы Тегемского типа и линейно-локальные вулканы. Трещины, с которыми связаны центры извержений, образуют систему, разбитую вдоль северной дуги. Трещины северо-западного, северо-восточного и реже близмеридионального направления непосредственно связывали поверхность с залегающими неглубоко изолированными вулканическими очагами (гегамским и варденисским). Очаги снабжались магмой, скорее всего, посредством глубинного разлома /64/. Извержения происходили в три фазы: ранне-, средне- и позднечетвертичную, причем последняя, юрмская, мощно проявлена только к северу от разлома-востриания (с. Гарни-вулкан Аждак — Норатус — Артенишский мыс), разделяющего экваторию Большого и Малого Севана, в пределах опущенного южного блока Гегамского нагорья. Формация слагается лавами и рыхлым, пирокластическим материалом (10–14% объема от общей массы вулканитов). Площади отдельных покровов редко превышают 200 км^2 , длина потоков лишь иногда превосходит 50 км. Мощности отдельных потоков обычно не более 6–8 м; суммарная мощность лав комплекса, но только в ложевых депрессиях, достигает

-III-

300-400 м.

В составе формации преобладают андезито-базальты, несколько меньшим развитием пользуются андезиты и небольшим - базальты. Исключение из этого набора составляют локальные андезито-дацитовые тела внедрения у основания вулкана Менаксар. Какой-либо закономерности в распределении той или иной разновидности не обнаруживается. Отметим лишь, что на Варденисском нагорье базальты извергались преимущественно в раннечетвертичное время.

Строение пород, как правило, порфировое; характерно невысокое содержание скрепленников (до 10-12%) и их небольшие (до 3,5 мм) размеры. Обязательными являются плагиоклаз и клинопироксен. Большим распространением пользуется оливин, но редко гиперстен, который характерен для среднечетвертичных вулканитов Гегама. Для пород Варденисского нагорья обычна базальтическая роговая обманка, которая в вулканитах Гегама встречается спорадически. Минералы фенокристаллов ассоциируют в самых различных комбинациях, вплоть до сопутствия - плагиоклаз+клинопироксен+оливин+гиперстен+роговая обманка. Наиболее распространены ассоциации: плагиоклаз+клинопироксен; плагиоклаз+клинопироксен+оливин; плагиоклаз+клинопироксен+роговая обманка. Основная масса сложена микролитами плагиоклаза, клинопироксена, очень редко гиперстена и роговой обманки, рудной сырью и свежим, неизмененным стеклом; в роговообманковых породах Варденисского нагорья встречаются и микролиты эпратита. Для пород формации очень характерен ксеногенный кварц, образующий окаймленные клинопироксеном "глазки", не превосходящие в поперечнике 3-4 мм. Породы андезито-базальтовой формации относятся к известково-щелочному и субизвестково-щелочному типам тихоокеанской (известковой) серии; небольшая часть базальтов выражена переходным к атлантической серии субизвестково-нетровым типом. В целом породы Варденисского нагорья щелочнее (область Этна-Йеллоустон) пород Гегамского нагорья (область Йеллоустон-Лессен-Пик).

В магматические очаги поступала базальтовая магма и переход к андезитам klarным образом обусловлен процессами дифференциации. Некоторые различия в химизме и минералогии объясняются более продолжительными перерывами в вулканической деятельности на Варденисском нагорье, в ходе которых магма эволюционировала значительно /64/.

3.2. Геоморфология западной части бассейна озера Севан

Одним из интереснейших и показательных районов проявления новейших движений являются западное побережье Б.Севана и прилегающая часть склона Гегамского щитовидного массива (район г.Камо). Доплиоценовое основание – морские верхнесарматские молассы выступают лишь у с.Арцвакар в ядре антиклинали. Они являются одним из основных реперов при подсчете абсолютных значений новейших движений.

Манычарские лавы, бронирующие восточное крыло Гегамского нагорья, обнаруживают значительный наклон ($8\text{--}10^{\circ}$), который лишь отчасти можно связать с первичным их наклонным залеганием. В южной части это крыло плавно опускается к занятой озером центральной части впадины Б.Севана; севернее этот переход совершается гораздо сложнее.

С запада на восток здесь выделяются: Гаварагетская впадина (III порядка), на западе переходящая в крыло Гегама, с востока ограниченная зоной разломов; Гехаркунийское поднятие (III порядка), которое представляет собой меридиональный горст; Норатусская синклиналь (IV порядка); Сарыкайская антиклиналь (IV порядка).

Е.Е.Милановский / 59 / в новейшем этапе развития западной части бассейна оз.Севан выделяет две стадии. В первой (мэотис-нижний плиоцен) происходило унаследованное развитие складчатых структур северо-западного, субширотного простирания и начало общего воздымания Гегамского щитовидного массива, на второй стадии (верхний плиоцен-голоцен) продолжалось общее воздымание в виде меридионального свода, в которое постепенно втягивались отдельные участки периферических впадин. Перестройка структурного плана сопровождалась мощным развитием глубоких, преимущественно меридиональных разломов.

Как известно, продольный профиль реки является индикатором изменений географической среды, влияющих на сток поверхностных вод. Форма и характер продольного профиля в значительной мере предопределены тектоническими движениями. Известны несколько методов анализа продольных профилей рек. Эффективными для суждения об особенностях формирования морфоструктур являются выделение по крупномасштабным картам участков и зон аномальных падений рек и последующей тектонической интерпретацией этих зон, с учетом влияния экзогенных и литологического факторов, а также составление

карты изодэф.

С целью изучения неотектоники западной части бассейна оз. Севан составлены карты аномальных падений рек и изодэф в масштабе 1:50000. Метод составления карты изодэф, разработанный Н.Г. Волковым / 23 /, основан на сопоставлении реально существующих в природе продольных профилей рек (топографических) с математически рассчитанными их геометрическими аналогами.

В бассейне р. Гаварагет, в основном, встречаются значения -100, -150 до -250 м (притоки Цахкашен, Гридзор № 2, Кукудер), а притоки № 4, 5, 6 и среднее течение р. Гаварагет характеризуются более меньшими значениями -150 м. В верхнем течении р. Гаварагет встречаются плюсовые значения до +115 м. Юго-восточный и восточный участки бассейна р. Гаварагет характеризуются в целом повышенными значениями: плюсовые значения верхнего течения р. Гаварагет объяснямы интенсивным воздыманием, а меньшие и минусовые значения среднего течения, видимо, обусловлены осадконакоплением, которое достигает максимума в нижнем течении (до +15 м). В новейшем этапе Гаварагетский грабен развивается расщепленно, вероятно наследуя более древний структурный план.

Южная граница грабена проходит, видимо, южнее, чем показано, примерно по руслу притока № 9 р. Дзорагюх на тектонических и геоморфологических картах / 27 /. Западный и северо-западный участки грабена, очевидно, испытывают более интенсивное воздымание, и врезание рек происходит не только в лавы, но и в флювиогляциальные и аллювиальные отложения. В пределах южного и юго-восточного участков реки не успевают врезаться, и темп осадконакопления превышает врезание. То же наблюдается в долине р. Дзорагюх и ее притоков № 7, 8, 9. Начиная с притока № 10 и южнее, в бассейне р. Цаккар, включая долины притоков № II, I2, I3, I4, I5, I6 и I7, наблюдается широкая область врезов рек до -200 м. Юго-восточная граница Гегамского массива оконтуривается очень четко, поскольку южнее притока № 19 р. Цаккар (-30-50 м), в притоке р. Аргичи Назар-хана, на этом участке он оконтуривается значением порядка -160, -250, -300 м. Нижние течения рр. Дзорагюх и Цаккар имеют значения до +30, +50 м, а выше по течению р. Цаккар - до +100, +110 м. На данном участке они характеризуют приближенную мощность лав. В бассейне р. Аргичи выделяются 2 участка интенсивного врезания до -300 м в среднем течении р. Назар-хана и Чентиль. Верхнее течение р. Аргичи по своим значениям больше относится к бассейну р. Веди. В бассейне

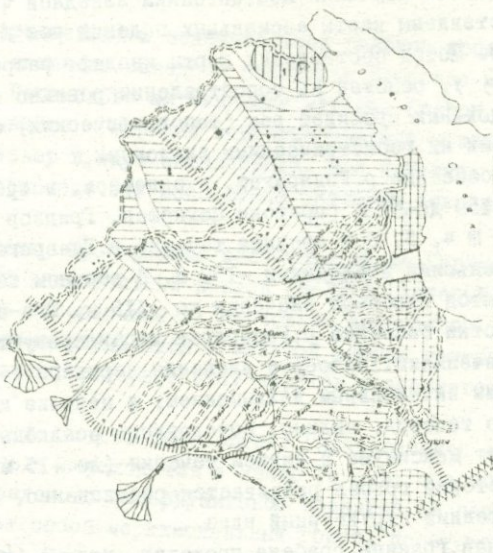


Рис.23. Палео-морфоструктурная карта западного побережья оз. Севан и сопредельных территорий

	Моноклинальные поднятия
	Антиклинальные поднятия
	Горстовые поднятия
	Грабены
	Палеодолины
	Антecedентные долины
	Количество денудированного объема продольных профилей рек в %
	Вулканы
	Глубинные разломы

р. Веди западнее и северо-западнее р. Хосров, включая долины рек № 45 и 46 обособляется единый блок. Минимальные значения определены в среднем течении р. Веди до -600 -650 м. Такая же картина наблюдается в бассейне р. Азат, но здесь минимум достигает почти -800 м. Бассейн р. Гедар представлен отдельным блоком, здесь максимум -365 м, а в среднем -200 -230 м.

При составлении карты изодев для каждой реки определялся коэффициент продольного профиля. По предложению П. В. Иванова, он представляет отношение между частями площадей прямоугольника HL , описанного вокруг профиля: $K = \frac{S_B}{S_H}$,

где K - коэффициент продольного профиля, S_B - площадь выше линии профиля, S_H - площадь ниже линии профиля.

При изучении неотектонического строения Гегамского щитовидного массива использованы показатели S_B и S_H , которые дают ясное представление о денудирующем объеме продольных профилей рек. Проведенные расчеты указывают на следующие особенности.

Почти все крупные реки снесли большую часть своего продольного профиля, например, р. Азат - 73%, р. Веди - 73%, р. Гаварегет - 79%, чего не наблюдается для рр. Раздан, Дзорагюх и Цаккар. Для них получены показатели соответственно 53%, 67%, 66%. Объясняется это тем, что указанные долины сравнительно молодые и еще не успели обрабатывать свой профиль. В бассейне р. Аргичи главная река снесла 58% своего профиля, ее же притоки Назар-хан, Гельдара и др. снесли 71-83%. Притоки являются, как видно, составной частью древней гидрографической сети, которая на данном участке (длина около 20 км) совпадает с глубинным разломом, а собственно долина р. Аргичи более молодая.

В бассейне р. Гаварегет все притоки относительно молодые - денудировано от 50 до 65% продольного профиля, а в главной долине - 79%. Вероятно, либо вся долина, либо ее верхняя, субширотная часть принадлежит другой, более древней речной системе.

На основе приведенных данных составлена структурно-палеогеоморфологическая карта изучаемой территории.

Наблюдаются две зоны понижений север-северо-западного и северо-западного направлений, которые сочленяются в районе Зовашен-Варданесской вулкано-тектнической депрессии.

Рисунок гидрографической сети (извилистость, резкое изменение направления, одностороннее развитие притоков и т. д.), а также на-

личие на месте соединения двух протяженных зон вулкано-тектонической депрессии показывает, что отмеченные выше зоны не являются единными на всем протяжении. Так, западная граница Гаварагетского грабена проходит намного западнее (около 10 км), чем проводилась многими исследователями. Грабен занят андезитовыми, андезито-базальтовыми лавами и выполнен перекрывающими лавы широко развитыми здесь флювиогляциальными отложениями.

Структурная позиция образования Зовашен-Верданесской депрессии принципиально сравнима с образованием куполовидного поднятия также на пересечении хребтов разных направлений. Западно-Гегамская зона имеет северо-западное простиранье, проходит через верховья рр. Веди, Азат, нижнее течение р. Гедар, по вулкану Араилер, далее к северо-западу-среднее и верхнее течение р. Касах.

Отмеченные две зоны опусканий существовали до нижнего миоцена, после чего в результате интенсивного миоценового вулканизма были выполнены лавами. В процессе интенсивных вертикальных движений юго-восточнее линеамента Азат-Шоржа произошла реконструкция палеорек южной части Гегамского массива. Изменилось направление стока р. Веди, с этого времени начавшей протекать по Шагапскому синклинальному прогибу. Можно привести также пример р. Палеомармарики, которая, как видно на приведенной карте подлавового рельефа, являлась притоком р. Палеопамбак. После излияния Гегамских лав в плиоцене и четвертичном периоде и окончательной реконструкции речной сети, когда в короткое время существовало Верхне-Разданское озеро, р. Мармарики стала протекать по новому, ю-з направлению, и началось формирование долины р. Раздан.

Территория, расположенная между двумя отмеченными зонами, по имеющимся данным, представляет одностороннюю горст-моноклиналь, что наблюдается на многих щитовидных массивах. С юго-запада эта структура ограничивается глубинным разломом, а к востоку, северо-востоку полого опускается к Восточно-Гегамской зоне. В современной геоморфологии восточные, северо-восточные склоны Гегамского массива пологие, а юго-западные и западные - крутые, местами даже ступенчатые. Восточно-Гегамская зона на северо-западе сочленяется с Мармарикиским, на востоке - с Малосеванским, а на севере - с Цовгюхским грабенами.

3.3. Подлавовый рельеф и распределение глубинного водного стока Гегамского и Варденисского вулканических нагорий (по данным геофизических исследований)

Мощный чехол новейших вулканических образований существенно маскирует древние отложения. При геокартировании погребенного рельефа геофизические методы оказываются наиболее эффективными и недорогими.

В обобщенной физико-гидрологической модели рельеф подлавовых пород представлен относительно проводящими осадочными и вулканогенно-осадочными отложениями — глинами и глинистыми песчаниками с электросопротивлением ρ до 10-20 ом.м, туфопесчаниками — 40-60 ом.м; туфобрекциями и туфсконгломератами — 100-200 ом.м. Перекрывающий их вулканогенный комплекс высокомоментный, с $\rho \geq 800-1000$ ом.м, иногда до 8000-10000 ом.м и более. Значительная разница в величинах электросопротивлений пород способствует подлавовому картированию с использованием модификации метода электроразведки. Использованы также корреляционные зависимости между современным и погребенными формами рельефа — выявлены они на основании анализа функций распределения их высот. С некоторым допущением эта корреляция распространена и на высокогорные, заросшие лесом труднопроходимые районы нагорий. По коэффициенту связи (K) выявлены наиболее распространенный тип соответствия (унаследованности) обоих рельефов ($K=+1$); участки ее отсутствия (при K близком к 0) и участки относительной инверсии рельефа ($K = -1$) встречаются гораздо реже.

По результатам геофизических работ, данных буровых скважин, вскрывших полную мощность лав, а также информации по дешифрированию аэрокосмоснимков составлены обобщенные карты палеорельефов в масштабе 1:50000 и получено объективное представление о распределении глубинного стока, а также выделены меж- и подлавовые водотоки.

Г е г а м с к о е н а г о р ь е . Сильной трещиноватостью лав нагорья, развитием пористых шлаков и каменных россыпей предопределено интенсивное поглощение атмосферных осадков, талых вод и конденсирование влаги.

Глубина инфильтрации вод до эродированной поверхности подлавовых водоупорных пород (рис.24), осадочных и вулканогенно-осадочных образований зависит от суммарной мощности вулканогенного

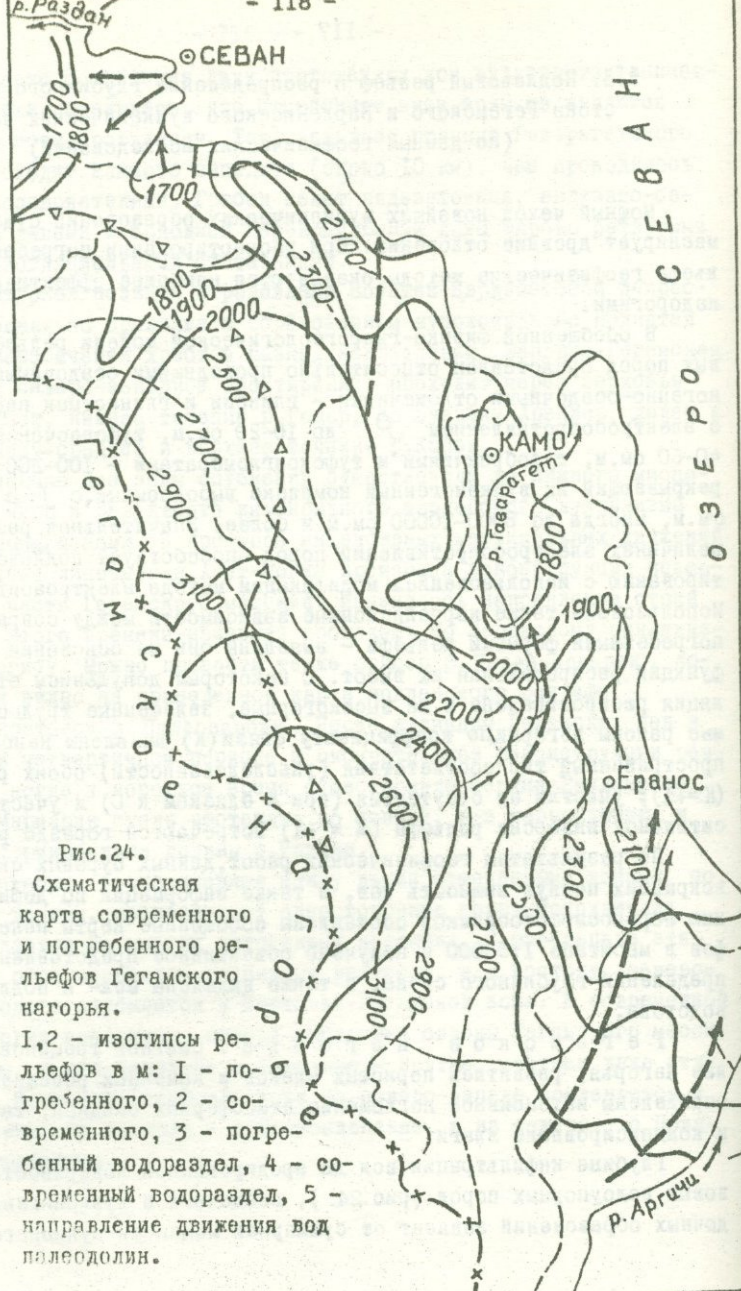


Рис. 24.
Схематическая
карта современного
и погребенного ре-
льефов Гегамского
нагорья.

I, 2 - изогипсы ре-
льефов в м: I - по
гребенного, 2 - со-
временного, 3 - погре-
бенный водораздел, 4 - со-
временный водораздел, 5 -
направление движения вод
полеодолин.

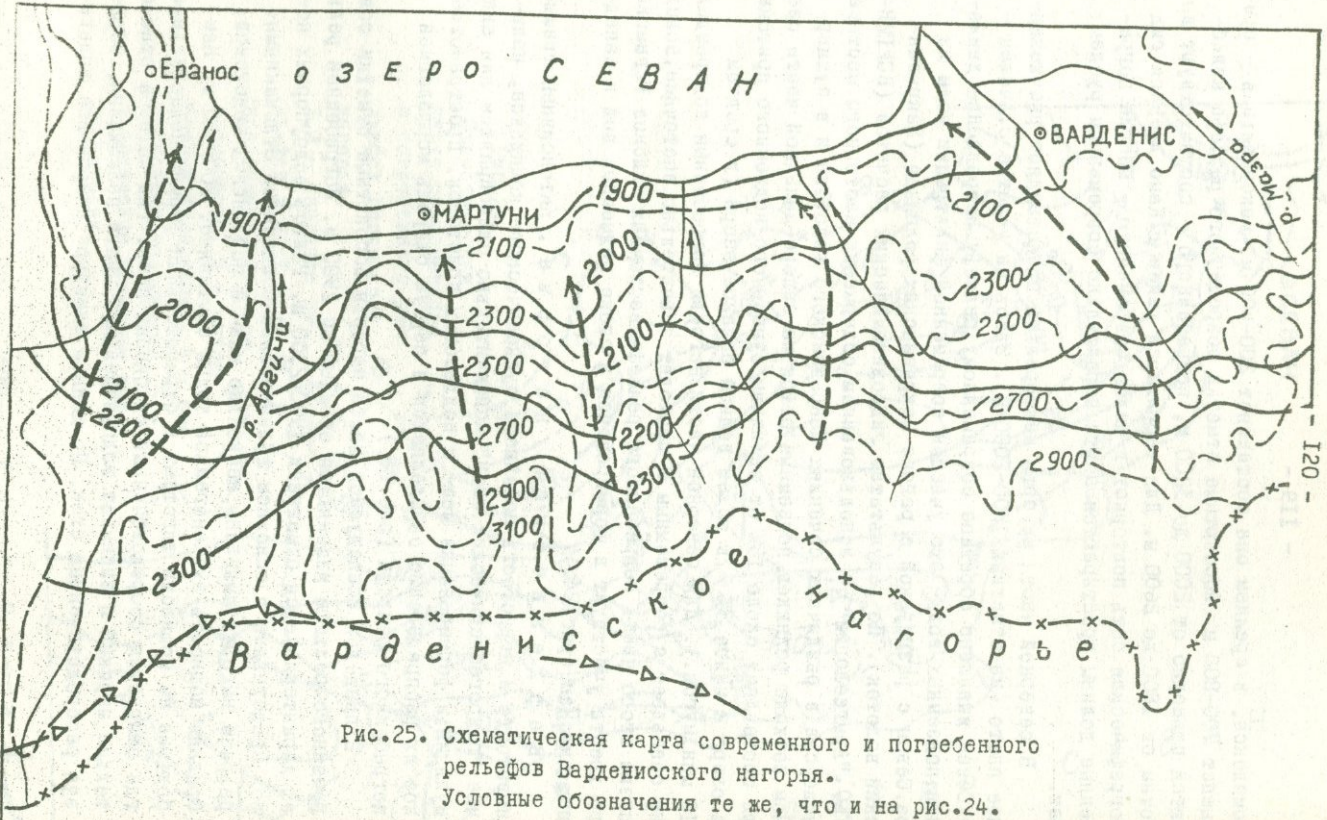
1. - 2000 - 2. - 2600 - 3. ▲ - ▲ 4. x - x 5. —

комплекса, в среднем она составляет 200-400 м, максимальная - превышает 700-800 м. Абсолютные отметки современного рельефа колеблются примерно от 2000 до 3200 м, погребенного - соответствуют высотам от 1800 до 2600 м. Для территории южнее г. Камо древняя гидрографическая сеть повторяет в целом современную - многие погребенные долины простираются почти параллельно современным руслям рек.

В северной части нагорья палеорельеф представляет расчищенное плато (на отметках 1800-2000 м). Здесь на участке с. Лчашен - г. Севан выявлено обратное современному рельефу направление движения подземных вод - это участок современной фильтрации воды из оз. Севан с разгрузкой в районе Макраванских родников (Макраванский водоток). По результатам гидродинамических расчетов (ВСЕГИНГЕО, "Армгеология"), с использованием содержания изотопного состава водорода в различных сечениях Макраванского водотока и в суммарном расходе родников, подземный отток из северо-западной части озера составляет около 15% от величины суммарного подземного притока в озеро и менее 3% - в общем водном балансе озера (в среднем 10 млн. м³/год.). Для северной части нагорья погребенный водораздел не совпадает с современным и проходит значительно восточнее, вследствие этого часть погребенного рельефа восточных склонов Гегамского хребта участвует в формировании и стоке подземных вод к западным склонам (рис. 24).

Варденисское нагорье. Интенсивная трещиноватость и пористость новейшего вулканического комплекса, наличие "гидрогеологических окон" исключительно благоприятны для аккумуляции и формирования меж- и подлавовых водотоков. Пространственное их распределение определяется в первую очередь морфологией погребенного рельефа (рис. 25).

В пределах исследуемой части нагорья абсолютные отметки современного рельефа изменяются от 2100 до 2900 м. Погребенный рельеф характеризуется отметками 1900-2300 м. Рельеф водоупорных пород представлен в основном вулканогенно-осадочными отложениями. В разрезе нагорья выявлены несколько меж- и подлавовых водотоков. Средняя мощность вулканогенной толщи составляет 200-300 м. Наибольшие ее мощности тяготеют к отрицательным формам палеорельефа, где ожидается сосредоточенный глубинный сток. Ряд потоков относительно широкий и занимает водораздельные части палеодолин, обраzuя рассредоточенный сток. По данным электрованодрионикий долаво-



вый рельеф нагорья с общим уклоном на север-северо-запад определяет сток к оз. Севан основного количества подземных вод по палеорельефу. Нессоответствие погребенного и современного водоразделов выражено на северо-востоке нагорья. Палеорельеф здесь имеет уклон также в сторону оз. Севан, поэтому части формирующихся подземных вод с южных склонов стекают на север - к озеру, питая напорные водоносные горизонты Масрикской долины.

Глава 4. АКТИВНАЯ ТЕКТОНИКА И СЕЙСМИЧНОСТЬ.

Важнейшим элементом геологических и сейсмических исследований в сейсмоактивных регионах является выделение и изучение молодых разломов, активных в позднем плейстоцене и голоцене. Известно, что подавляющее количество сильных землетрясений, а также других стихийных геологических катастроф (извержения вулканов, крупные оползни и пр.) приурочено к зонам активных разломов и связано с их геодинамической активностью. Вдоль таких разломов происходят максимальные сейсмогенные разрушения при землетрясениях. Военное изучение молодых активных разломов в совокупности с анализом геологической обстановки, обуславливающей возможность концентрации тектонических напряжений, представляет генетический путь выявления мест вероятного проявления будущих геологических опасностей, а в первую очередь — сильных землетрясений.

Основным методом выделения признаков современной тектонической и сейсмической активности разломов является: 1) геолого-тектонические методы анализа, включающие метод аэрокосмического анализа, сейсмогеологический метод, полевое детальное картирование морфоструктурных и неотектонических параметров; 2) метод инструментальных и геодезических (геодинамических) наблюдений; 3) метод историко-хронологического анализа.

При выделении и изучении активных разломов исследуемой территории учитывались: степень достоверности и основной метод выделения, время тектонической активности, количественная интенсивность активности, тектономорфологические и кинематические параметры, сейсмическая активность по инструментальным и историко-хроникальным данным.

Памбак-Севанский активный (голоценовый) разлом. Крупнейший тектонически активный разлом территории Армении. На западном фланге протягивается по южному склону Базумского хребта, севернее села Фиолетово, гор. Кировакан, сел Аревашох, Гогаран, Сарапат, Вардахшор.

Выделенный А.А.Габриеляном и др. (1981) южный краевой разлом Базум-Севанской зоны глубинного разлома проходит намного севернее, а выделенный Е.Е.Милановским (1968) Памбак-Севанский неотектонический разлом проводится по Памбакским впадинам, т.е.

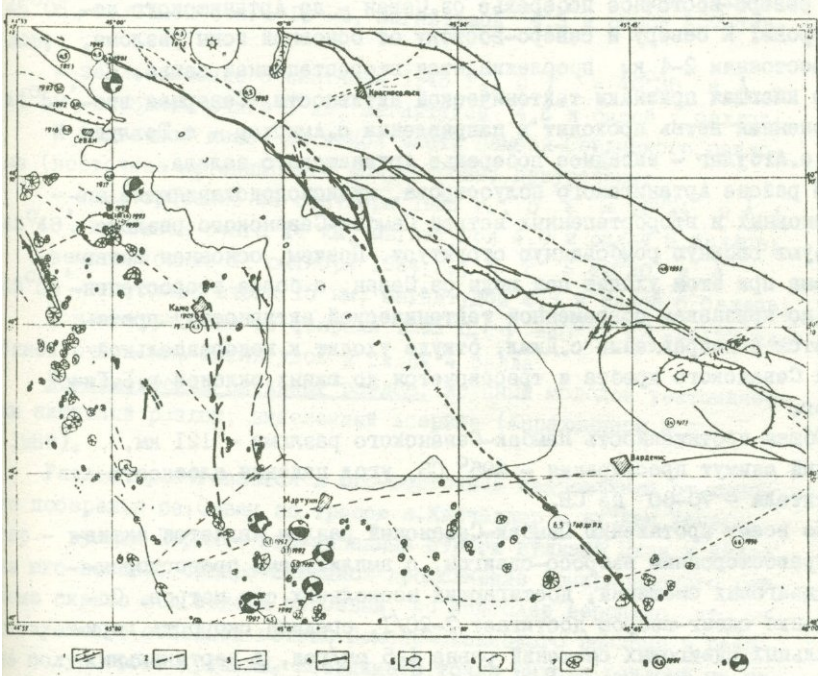


Рис.26. Карта активной тектоники и сейсмотектоники басс.оз. Севан

Главнейшие активные разломы: 1 - активные в голоцене; 2 - активные в плейстоцене; 3 - геологические разломы без признаков современной активности; 4 - сейсмогенные разрывы (выход очага землетрясения на поверхность); 5 - колиевые структуры; крупные сейсмогенные оползни и обвалы; 7 - четвертичные вулканы; 8 - эпицентры землетрясений; 9 - определение фокальных механизмов землетрясений.

значительно ниже. Таким образом, Памбак-Севанский активный (голоценовый) разлом никем ранее не выделялся и впервые описан в 1989 г. (Трифонов, Каракян, Кожурин, 1989).

В пределах бассейна оз. Севан протягивается вдоль северо-восточного побережья озера, по линии гор. Дилижан - с. Семеновка - северо-восточное побережье оз. Севан - до Артанишского полуострова. К северу и северо-востоку от основной зоны разлома, на расстоянии 2-4 км прослеживается второстепенная ветвь, также имеющая признаки тектонической активности. Северная второстепенная ветвь проходит в направлении с. Амирхер - с. Тохлудка - с. Агбулаг - западное побережье Артанишского залива.

В районе Артанишского полуострова, кулисоподотвляющие зоны основных и второстепенных ветвей Памбак-Севанского разлома образуют сложную ромбовидную структуру. Причем, основная ветвь разлома при этом уходит под воды оз. Севан, а более второстепенная (по признакам современной тектонической активности) протягивается в направлении с. Джил, откуда уходит к водораздельной части Севанского хребта и трассируется до южных склонов г. Б. Гиндалаг.

Общая протяженность Памбак-Севанского разлома - 121 км, средний азимут простирания - 295° СЗ, угол падения плоскости сместителя - $70-80^{\circ}$ на СВ.

По всему протяжению Памбак-Севанский разлом является активным правосторонним взбросо-сдвигом, с амплитудами правосторонних сдвиговых смещений, достигающих нескольких сот метров. Соотношение сдвиг-взброс достигает 7-20/I, средняя скорость горизонтальных сдвиговых смещений равна 4-5 мм/год, а вертикальных взбросовых смещений - 0,4-0,5 мм/год.

Сейсмичность зоны разлома. Кроме высокой тектонической активности Памбак-Севанский разлом отличается значительной сейсмической активностью. К западной части разлома (за рамками карты) приурочено катастрофическое Спитакское землетрясение с $M = 7,1$ и интенсивностью 10 баллов, а также целый ряд более слабых землетрясений.

В пределах рассматриваемой территории бассейна оз. Севан к Памбак-Севанскому разлому приурочены:

- Чибухлинское землетрясение 18 января 1853 г. с $\varphi = 40^{\circ}38'$ и $\lambda = 44^{\circ}56'$ глубиной очага 5 км, магнитудой 4,5 и силой 7 бал-

лов;

- землетрясение 14 октября 1933 г., с $\varphi = 40^{\circ}36'$ и $\lambda = 45^{\circ}12'$, глубиной очага 10 км, магнитудой 4,5 и силой 6-7 баллов;

- землетрясение 11 августа 1945 г., с $\varphi = 40^{\circ}40'$ и $\lambda = 45^{\circ}06'$, глубиной очага 10 км, магнитудой 4,3 и силой 6-7 баллов;

- землетрясение 5 сентября 1945 г., с $\varphi = 40^{\circ}38'$ и $\lambda = 44^{\circ}59'$, глубиной очага 5 км, магнитудой 4,5 и силой 7 баллов;

К восточной менее активной части Памбак-Севанского разлома (восточнее Артанишского полуострова) приурочены:

- землетрясение 28 сентября 1953 г., с $\varphi = 40^{\circ}24'$ и $\lambda = 45^{\circ}48'$, глубиной очага 14 км, магнитудой 4,0 и силой 5 баллов;

- землетрясение 31 октября 1954 г., с $\varphi = 40^{\circ}20'$ и $\lambda = 45^{\circ}54'$, глубиной очага 15 км, магнитудой 4,3 и силой 6 баллов;

- землетрясение 19 февраля 1993 г., с $\varphi = 40^{\circ}37'$ и $\lambda = 44^{\circ}57'$, глубиной очага 5 км, магнитудой 4,5 и силой 4 балла.

Хонарасарский активный разлом. Крупный молодой тектонически активный разлом, выделенный впервые (Карахняном и др., 1989).

Разлом протягивается в юго-восточном направлении от южного побережья оз. Севан по трассе с. Карчахпур - вулкан Хонарасар - вулкан Порак - юго-западные отроги вулкана Цхук и далее на юго-восток. Северо-западное продолжение Хонарасарского разлома скрыто под водами оз. Севан, но наиболее вероятно, что он стыкуется с основной ветвью Памбак-Севанского разлома в районе полуострова Артаниш. Координаты точки выхода разлома на южное побережье оз. Севан - $\varphi = 40^{\circ}10'55''$ и $\lambda = 45^{\circ}33'51''$. На юго-восточном фланге разлома, в точке с координатами $\varphi = 39^{\circ}10'39''$ и $\lambda = 46^{\circ}17'51''$ происходит раздвоение Хонарасарского разлома на две ветви, которые протягиваются в Зангезур. Общая наблюдаемая протяженность разлома в пределах этих пунктов - 84 км, азимут простирации - $325 \pm 15^{\circ}$ СЗ. Угол наклона плоскости сместителя - $70-75^{\circ}$ СВ, в том числе в точке с координатами $\varphi = 40^{\circ}07'57''$ и $\lambda = 45^{\circ}38'09''$.

Хонарасарский разлом повсеместно представляет собой молодой, активный правосторонний взбросо-сдвиг. Разлом проходит непосредственно через центр вулкана Хонарасар и, разрывая его

корпус, смещает вправо по сдвигу его восточную половину на 800 м (за время с Q₂) ($\Psi = 40^{\circ}07'57''$ и $\lambda = 45^{\circ}38'09''$). Амплитуда вертикальных взбросовых смещений в этой точке достигает 10–20 м (за время, начиная с Q₂).

Юго-восточнее горы Хонарасар, в точке с координатами $\Psi = 40^{\circ}06'57''$ и $\lambda = 45^{\circ}54'17''$, амплитуды вертикальных взбросовых смещений за время, начиная с Q₄, достигают 2–4 м. В районе группы вулканов Кар-кар ($\Psi = 39^{\circ}45'00''$ и $\lambda = 45^{\circ}57' = 17''$) амплитуды горизонтальных сдвиговых смещений достигают 400 м за время с Q₂.

Скорости горизонтальных правосдвиговых смещений, при возрасте вулкана Хонарасар – $1-4 \cdot 10^5$ лет, равны 2–8 мм/год. Скорее всего, возраст вулкана Хонарасар равен $2-4 \cdot 10^5$ лет, соответственно, скорость горизонтального смещения – 3–4 мм/год. Это подтверждается смещением на 400 м вулкана Кар-кар, возраст которого $1-2 \cdot 10^5$ лет.

Скорость вертикальных всбросовых смещений – 0,2–0,6 мм/год за $5 \cdot 10^4$ лет. Соотношение скоростей горизонтальных и вертикальных смещений – $5/I = 10/I$.

Сейсмичность зоны разлома. После Спитакского землетрясения 1988 г. Хонарасарский разлом потерпел явную сейсмотектоническую активизацию. 17 мая, 30 июня, 10, 11, 16, 21 и 25 июля 1989 года в зоне Хонарасарского разлома произошли землетрясения с $K = 9-9,5$.

В зоне Хонарасарского разлома произошло самое сильное землетрясение в районе оз. Севан. Землетрясение датируется ориентировочно 768 годом до н.э. и описание его приводится впервые. Хорхорская клинопись Урартского царя Аргишти I, высеченная на западной стороне скалы близ гор. Вак в седьмом столбце содержит следующее – "Величием Халда Аргишти говорит, когда я вновь осадил (город) Бехура, разрушились горы Ушкияни и горы Бамли вокруг города Бехура, дым и копоть и сейчас с них до солнца поднимаются. Жители города Бехура, которых я не убил и не пленил, 60 г. Тейшеба (бог подземного царства) умертвил и скег".

Район города Бехура, гор. Бамли находится на юго-восточном побережье оз. Севан. К юго-востоку от вулкана Хонарасар, прямо в зоне Хонарасарского разлома находится развалины крупного древнего города.

Следы сильнейших землетрясений, кроме того фиксируются в районе оз. Гейгел (южные склоны горы Котурдаг, 3048 м), где обнаружена крупная сейсмогравитационная палеосейсмодислокация. Это грандиозный сейсмогенный оползень-обвал, запрудивший и образовавший упомянутое оз. Гейгель.

Крупный сейсмогенный скarp-уступ меридионального профиляния (~ 3 км) зафиксирован на восточном склоне Гегамского нагорья, на восточной привершинной части горы Грасар (3181 м).

Начиная с 1991 года наблюдается общая сейсмическая активизация территории бассейна оз. Севан. Активизация началась с землетрясения 27.03.93 г. в акватории озера с $M=4,4$. После чего, в течение 1992-1993 гг. произошло 6 землетрясений с M от 3,1 до 5,0. Наиболее сильным было Мартунинское землетрясение 9 декабря 1992 г. с $M = 5,0$, вызвавшее повреждение и отдельные разрушения в Мартунинском и Ехегнадзорском районах. Обращают на себя внимание значительные глубины почти всех очагов землетрясений, 20-30 км в среднем. По-видимому, это связано с общим процессом сейсмической активизации Армянского нагорья во второй половине двадцатого века.

4. I. О палеосейсмической активности в акватории
озера Севан

Голоценовые осадки озера и особенно его центральной части наиболее полно запечатлели проявления сейсмоактивности в голоцене. Изучение этих разрезов дает наиболее полную информацию о практических мгновенных сейсмических событиях. В разрезах осадков, которые были вскрыты в акватории вибропоршневыми трубками длиной в 4,5 м, обращают внимание перепады гипсометрии поверхности наиболее нижней из вскрытых осадков — коричнево-серых глин. Эти деформации выявлены и в центральной части Б.Севана, и на его западной периферии (рис. 2.27). Их перекрывают, сглаживая деформированный рельеф, серые и темно-серые плотные глины, а выше следуют пески и черные пластичные глины, сменяющиеся илами самой верхней части разреза. Средняя мощность перекрывающих деформированные глины осадков составляет 2,7 м и, следовательно, исходя из подсчитанной для донных осадков озера сезонной слоистости в 10-12 пар слойков на 1 см осадка, время деформации рельефа коричнево-серых глин относится к IX (?) или, вероятнее, к VIII веку до н.э. В записях урартов при Сардури-II (764-730 г. до н.э.) упомянута природная катастрофа в бассейне озера: божество стихии — Тейшеба карат огнем бежавших в горы аборигенов. Имеются также признаки последующего спада в жизни поселений.

Обратимся к структурно-текстурным особенностям осадков. Очевидны во всех изученных колонках комковатость глин первого слоя, местами глины отчетливо брекчированы. Деформации в коричнево-серых глинах отражают тектонически неспокойную обстановку седиментации и постседиментационного времени, поскольку брекчирование чаще тяготеет к верхам пачки и затрагивает уже отчасти уплотненные осадки. Причиной тому могло быть содрогание дна бассейна, более сильные толчки могли взламывать более литифицированные осадки и способствовать их оползанию по склону. Текстурные признаки более слабой деструкции осадков видны и в вышележащих плотных серых глинах. Таким образом, сейсмические толчки продолжались и во время их накопления при начале подъема уровня озера в позднем голоцене. Также примечательно, что латеральные резкие переходы в составе осадков и перепады мощностей тяготеют к реконструируемым на разрезах участкам разрывов. Черные битуминозные глины, перекрывающие деформированный рельеф, явно его наследуют. Вертикальное

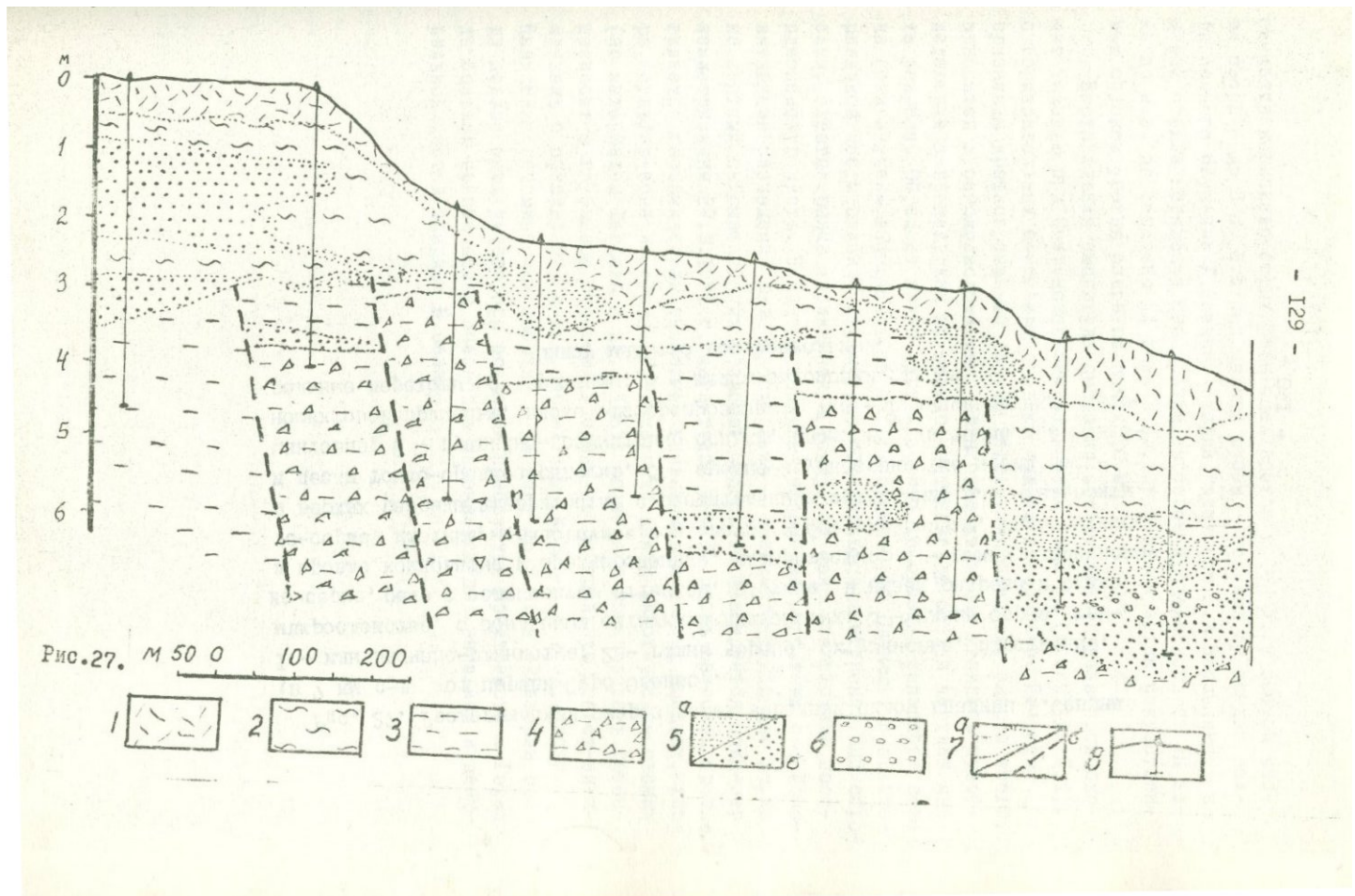


Рис. 27. M 50 0 100 200

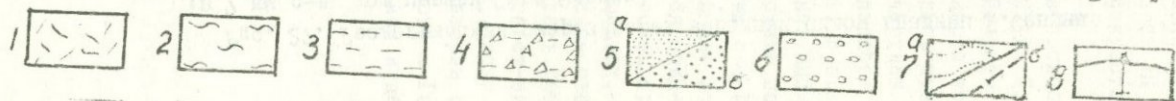


Рис. 27. Геологический разрез через западный склон впадины Б. Севана (в 7 км с-в от церкви Сурб Ованес).

1 - илы песчано-глинистые; 2 - глины черные, битуминовые, пластичные, микрослоистые, с обильными остатками диатомовых; 3 - глины серые, темно-серые, реже с зеленоватым оттенком, плотные, в низах разреза и ближе к кровле комковатые и брекчированные, алевритистые; 4 - глины коричневато-серые, плотные, непластичные, комковатые и брекчированные, карбонатные, в верхах разреза алевритистые с растительными остатками; 5. а - алевриты и пески тонко-среднезернистые, б - средние-крупнозернистые пески полимиктовые; 6 - гравийно-иссаммитовые осадки, пески полимиктовые и с вулканомиктовой примесью, плохо отсортированные; 7. а - границы пачек и латеральные переходы, б - разломы; 8 - места заломения трубок.

Внизу масштаб горизонтальный.

смещение коричнево-серых глин оценивается в 1-2 м, в осевой части озера - до 3 м. Это был важный рубеж - переход от стадии почти полного осушения Б.Севана, стадии "луж" (по Л.А.Варданянцу) к новой стадии повышения его уровня, которое продолжалось от УП века до н.э. до середины ХХ века н.э., прерванное затем искусственным спуском уровня озера на почти 20 м.

Вертикальная амплитуда смещения сопоставима и даже превосходит таковую при Спитакском землетрясении 1988 г. (магнитуда 7,1), о горизонтальных смещениях осадков судить невозможно. По всем признакам кратковременные резкие деструкции осадков, скорее всего, относятся к сейсмодислокациям. Криповые движения являлись преобладающими в промежутках и, видимо, затрагивали осадки верхней части разреза. Обращает также внимание, что деформации западного склона (они изучены в 7 км по аз.св 45° от церкви Сурб Ованес, в акваториальной части склона) структурно объединяются со ступенчатыми сбросами, охватывающими сарикеинскую толщу, ее наиболее верхнюю постплиоценовую часть. В центре впадины деформации сопряжены с сейсмоактивными разломами с-з простирации - фрагмент единой для региона системы сейсмоактивных разломов. Здесь же фиксируется эпицентр землетрясения 27.Ш.1991 г. магнитудой в 4,3; вдоль разломов протягивается геохимическая аномалия, выявленная в донных осадках, хлора, сульфат-иона и магния. Гравиметрическая и акустическая съемки (по материалам Тагиева и др., 1969) позволяют предполагать разобщенность в глубинном строении впадины на центральную (горст-энтиклиналь с офиолитами) и две, сопряженные к с-в и ю-з, части. Выявление сейсмических событий в УШ веке до н.э. в акватории озера должно быть учтено при освоении прибрежных пространств. Гораздо большая сейсмическая опасность намечается для западной и центральной частей впадины Б.Севана.

Глава 5. ИСТОРИЯ ГЕОЛОГИЧЕСКОГО РАЗВИТИЯ
БАССЕЙНА ОЗЕРА СЕВАН

5.1. Доплиоценовая история геологического развития

Бассейн озера Севан в геологическом смысле включает практически все главнейшие структурно-формационные зоны М.Кавказа-это область резкого их сближения, в тектонической терминологии обычно именуемая зонами синтаксиса / II /. Формирование бассейна озера, приподнятого над окружающими пространствами, произошло в орогенный этап, тогда как заложение основных структурных границ ее - поднятий обрамления было разновременным и началось с возникновения западного - Севанского поднятия, затем уже Варденисского поднятия и, наконец, наиболее молодого, верхнеплиоцен-четвертичного Гегамского поднятия. Вопросы эти с той или иной подробностью рассматривались и ранее / 9, 19, 58 /, а также в предшествовавших разделах данной работы. Здесь же они будут обсуждены подробнее с обзором предшествовавшей палеозойской и мезозойской истории геологического развития региона, когда сформировались основные черты седиментационно-тектонической зональности. Наименее ясным остается допалеозойский этап развития региона - в равной мере это относится и к истории развития басс.оз.Севан. Позднерифейский метаморфический комплекс, время метаморфизма которого определяется как байкальское, продолжается под молодыми отложениями от Цахкуницких выходов на восток, под лавы Гегамского нагорья, где имеются небольшие его выходы по левобережью долины р.Раздан. По-видимому, этот комплекс развит и вдоль всего нагорья, поскольку продукты размыва - гальки и валуны, исключительно сходные с породами нижней серии метаморфического комплекса, выявлены в обломочных отложениях турона Шугайской и Ераносской антиклиналей / 87 /. Также вероятно наличие метаморфического байкальского комплекса в основании Масрикской котловины. Наиболее проблематичным является вопрос о метаморфическом основании, перекрытом мелкими близкорельвийными покровами в пределах офиолитовых зон.

Полученные радиогеологические датировки ($Rb-Sr$, $Sr-Nd$) герцинского возраста метаморфизма по гранатовым амфиболитам и сланцам эпидот - амфиболитовой фации нуждаются в более тщательных изотопных исследованиях из-за возможного искажения изотопных соотношений за счет, в частности, воздействия морских вод / 110 /.

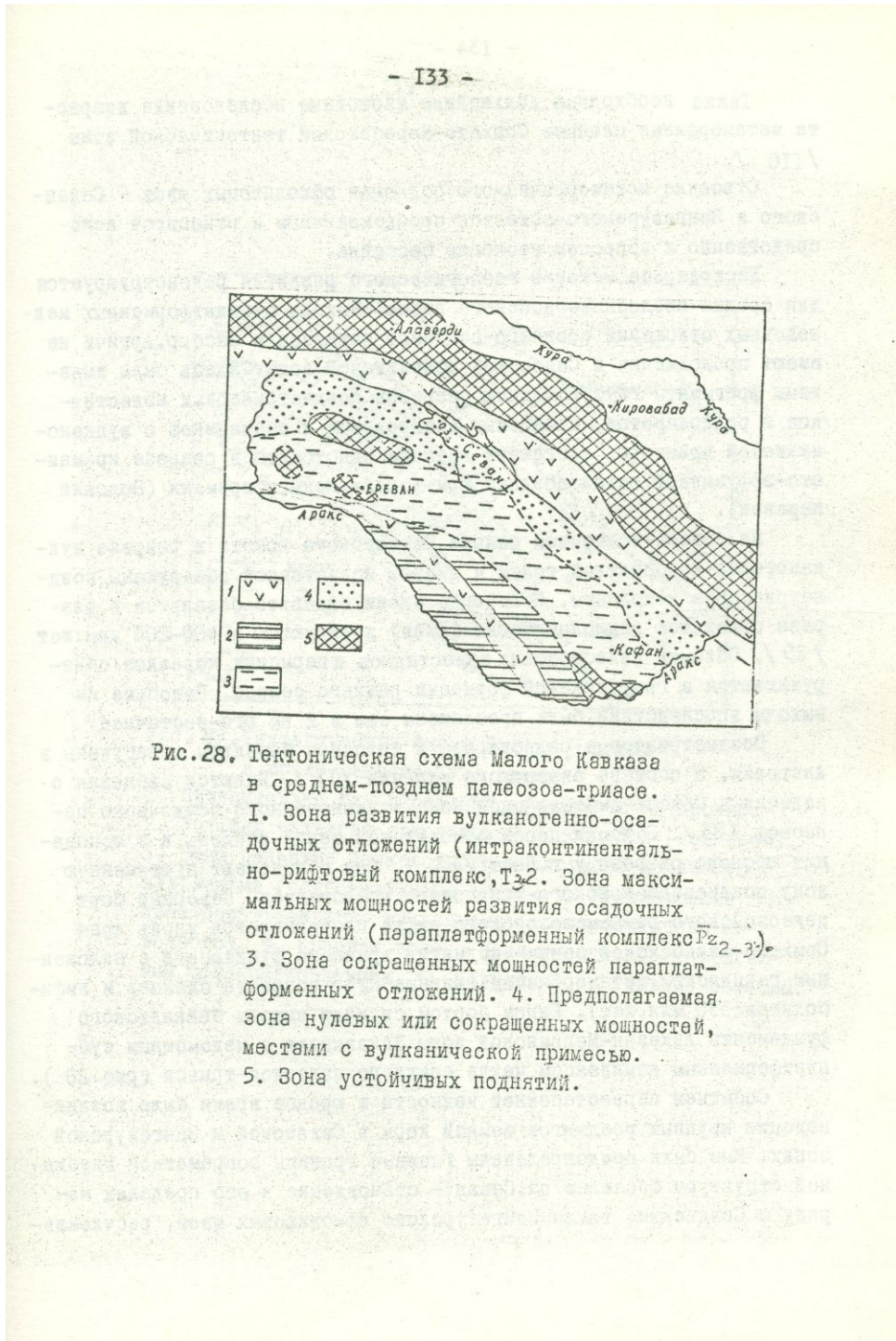


Рис. 28. Тектоническая схема Малого Кавказа в среднем-позднем палеозое-триасе.
1. Зона развития вулканогенно-осадочных отложений (интраконтинентально-рифтовый комплекс, Тз2).
2. Зона максимальных мощностей развития осадочных отложений (параплатформенный комплекс Pz_{2-3}).
3. Зона сокращенных мощностей параплатформенных отложений.
4. Предполагаемая зона нулевых или сокращенных мощностей, местами с вулканической примесью.
5. Зона устойчивых поднятий.

Также необходимы дальнейшие изотопные исследования возраста метаморфизма сланцев Сомхето-Карабахской тектонической зоны /110/.

Строение метаморфического подложья офиолитовых швов - Севанского и Зангезурского остается проблематичным и относится непосредственно к вопросам геологии бассейна.

Достовернее история геологического развития реконструируется для средне-позднепалеозойского этапа. Выходы субплатформенных мелководных отложений среднего-позднего палеозоя в басс. р. Аргичи не имеют продолжения в Севанской офиолитовой зоне. Здесь были выявлены фрагменты глубоководных разрезов позднетриасовых известняков и радиоляритов, слюдистых плевролитов и песчаников с вулканомиктовой примесью, слагающих крупные олистолиты в разрезе кремнисто-эффузивной толщи поздней юры-доконьякского времени (Зодский перевал).

На северо-восточном склоне Шахдагского хребта в разрезе вулканогенно-карбонатной толщи в линзах известняков обнаружены позднетриасовые конодонты. Некоторые блоки андезито-базальтов в разрезе офиолитов радиогеологически (K/Ar) датируются в 400-200 млн. лет /29/. Обломки палеозойских известняков и пермских кораллов обнаруживаются в граувакковой формации раннего сенона. Подобные им выходы впоследствии были прослежены еще в 2 км юго-восточнее.

Позднетриасовые радиоляриты и щелочные базальты обнаружены в Анатолии, в составе анкарского меланжа /II/. Имеются сведения о наличии в Северо-Анатолийской зоне вулканогенного-осадочного палеозоя /83/. Обломки пород офиолитовой серии найдены и в основании юрского разреза у г. Решт /83/. Они обозначают протяженную зону позднепалеозойского-триасового рифтогенеза. Северный борт палеозойского-раннемезозойского рифта протягивается вдоль края Сомхето-Карабахской зоны - поднятия древнего фундамента с наложенным герцинским метаморфизмом (данные Rb/Sr возраста сланцев и амфиболитов 330 млн. лет). Южным бортом служили выходы байкальского фундамента Анкаван-Мегринской зоны Закавказья с маломощным субплатформенным комплексом чехла среднего палеозоя-триаса (рис. 28).

Событием первостепенной важности в юрское время было возникновение крупных раздвигов земной коры в Севанской и Зангезурской зонах. Ими были предопределены главные границы современной глубинной структуры бассейна оз. Севан - становление в его пределах наряду с Севанским, также Зангезурского офиолитовых швов, расчленив-

(15-16) в юрско-раннемеловую эпоху ви-
димый член Араксской антиклиналии, а также Доганчай-
ская складка, включая зону гипсометрии, неоднократно
переворачивались в северо-западном направлении, тектониче-
ский разлом, на который указывает здесь член

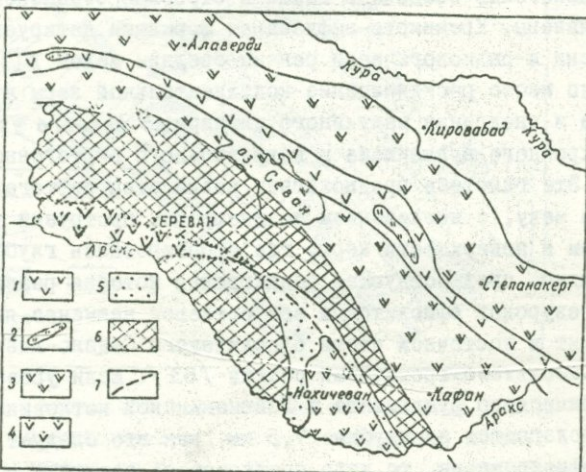


Рис. 29. Тектоническая схема Малого Кавказа
в юрско-раннемеловое время.

1. Сравнительно глубоководный вулканический прогиб.
2. Участки развития офиолитовой ассоциации (неполной).
3. Зона развития мелководного известково-щелочного вулканизма (островодужного типа).
4. Приразломная зона базальтоидного вулканизма (преимущественно щелочного).
5. Краевая зона с преимущественно терригенным осадконакоплением.
6. Поднятия.
7. Главные разломы.

ших области континентально-корового строения (рис. 29).

Домеловой возраст развития Севанской оphiолитовой зоны ныне доказывается средне(?)—позднеюрскими датировками (U/Rb) /II/ тоналитов, соответственно габбро этих же массивов (и ультрабазиты) должны быть древнее. Однако синхронные им и особенно средне-юрские вулканогенно-осадочные толщи в строении Севанского хребта пока не выявлены. Кремнисто-эфузивная формация датируется палеонтологически и радиологически ранним-средним мелом /II/. Как видно, имело место расклинивание континентальной коры в средней-поздней юре и внедрение мантийного диапира до некоего уровня коры, но без синхронного вулканизма и надразломного рифтогенного прогиба /II/. Эта гипотеза предполагает новый этап рифтогенеза в раннем-среднем мелу, с вовлечением позднеюрских прорывов ультрабазитов в подъем к поверхности коры, где сформировался глубоководный трог. Очевидно, предшествующая раннеюрская история развития Севанской и Зангезурской оphiолитовых зон остается наименее ясной. Формация Келькит в восточной части оphiолитового Севано-Анатолийского шва имеет базальто-трехитовый состав /83/. Если уровень древнего метаморфического фундамента в Ленинаканской котловине действительно располагается на глубине 7,5 км, как это следует из сейсмического профилирования, то надо предполагать развитие не только альб-позднемелового комплекса, но и мощного разреза юры. На южном продолжении Севанской оphiолитовой зоны средне-позднеюрские андезиты, андезито-базальты выходят на поверхность в Сарыбабинском синклиниории. Сходные породы выявлены в доаптском разрезе и скорее — в позднеюрском по правобережью р. Воротан. Наконец, наличие в чешуйчато-недвижевой структуре Севанского хребта плитчатых известняков титона-неокома, флишоидных отложений альба, в тектонических соотношениях с вулканическими породами оphiолитовой серии, тоже известные на структурном продолжении — в ядре Базумского горст-антеклиниория, в басс.р. Акера и, наконец, менее глубоководные их разности в ущелье р. Гиратах Зангезурской оphiолитовой зоны обозначают протяженные узкие рифты. Итак, в северной половине региона, включая юг и басс.оз. Севан, возникли зоны растяжения с базальто-трахитовым вулканизмом на начальной стадии, затем в связи с австрийской фазой они частично деградируют и на новом этапе рифтогенеза — в альб-рэзинеконъякское время эти зоны в основных чертах наследуются.

Для структурно-формационной, тектонической зональности бассейна озера принципиально важно разобраться в том, где проходит граница Севанской оphiолитовой зоны относительно более юго-западных

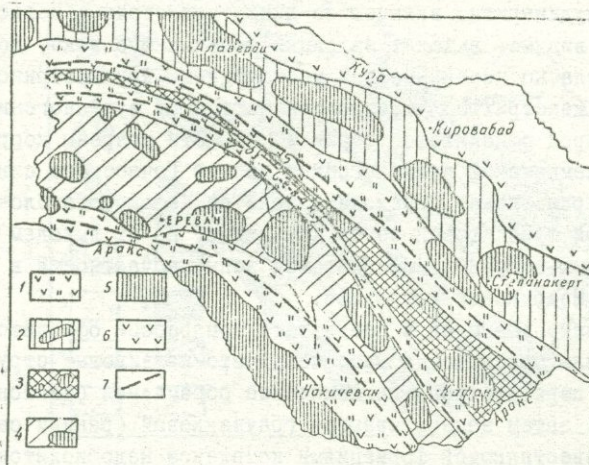


Рис. 30. Тектоническая схема Малого Кавказа в альб-позднемеловое (доверхненесенононское) время.

1. Офиолитовые прогибы с СВ на ЮЗ: Севанский, Зангезурский, Вединский. 2. Сомхето-Карабахская зона с поднятиями в ее пределах и поперечными эфузивно-вулканокластическими мелководными прогибами. 3. Базумо-Кафанская зона поднятий с размещенными в ее пределах мелководными преимущественно эфузивно-вулканокластическими прогибами. 4. Аккявин-Мегринская (Цахкунк-Зангезурская) зона поднятий и размещенными в ее пределах терригенно-карбонатными прогибами. 5. Урц-Джульфинская зона поднятий с размещенными в ее пределах терригенно-карбонатными мелководными прогибами. 6. Предмалокавказская зона мелководных эфузивно-вулканокластических прогибов. 7. Главные разломы.

структур. Очевидно, что разрезы верхнемеловых вулканических пород левобережья р.Масрик, в своем большинстве это оливиновые базальты, муджиэриты, включающие линзы мелководных известняков, их возраст, видимо, выходит за рамки коньянского века, поскольку они несогласно перекрываются мелководными крупнозернистыми известняками маастрихта, т.е. резко отличаются от вулканогенных и осадочных пород офиолитовой серии /82,83/. Эти разрезы коррелируются с турон-кампанской вулканогенной толщей Гочасского синклиниория /33/ и принадлежат переходной зоне от Кафансского блока к Севано-Акоринской офиолитовой зоне. Как видно, по их выходам следует проводить ю-з границу офиолитовой зоны, в частности в басс.оз.Севан - по Масрикской котловине.

Сформировавшиеся в результате компрессии офиолитовых трогов и выжимания офиолитовых масс чешуйчато-надвиговые структуры офиолитового пера автохтона на комплексе обрамления (тектоническом подломье) затем запечатываются граувакковой (ранний сенон) и микритово-известняковой формациями комплекса надофиолитового "чехла". Вдоль офиолитовых швов и вкрест них их мощности резко варьируют, обозначая частные новообразованные поднятия и прогибы. Особо интересно появление поперечных грабенов, выполненных мощными офиолитокластическими отложениями, или участков несогласного с размывом налегания известняковой формации на базит-гипербазитовом комплексе с корой выветривания в их основании, т.е. на поднятиях раннего сенона / 83/.

Для палеогенового этапа показательно формирование крупных прогибов с-з простирации, вулканических с андезитовыми преимущественно продуктами вулканизма. Эти прогибы также наследуют протяженность офиолитовых зон и простираются на сотни километров (от района Синопа в Понте до южного Эльбурса - формация Карадж). Они принадлежат скорее к прогибам тыловых сдвиговых зон (комбинация сдвига с разрывом).

На с-в басс.оз.Севан, вдоль Аргунийского хребта выступает толща чередующихся зеленых туфов с потоками лав . Очевидно офиолиты басс.р.Дзорагет разобщают лито-фациальные зоны среднезоценового бассейна. Зеленые туфы выступают в составе акункской свиты в басс.р.Масрик, но простижение отложений палеогена здесь подчинено близширотному простианию Восточно-Севанской меловой антиклинали.

Сейсмическим профилированием максимальные мощности палеоге-

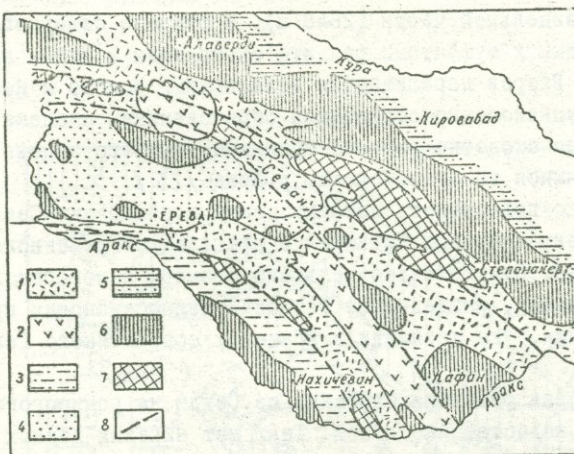


Рис. 31. Тектоническая схема Малого Кавказа в палеогене.

1. Флишоидные умеренно-глубоководные осадочно-пирокластические и вулканогенно-терригенные приразломные мелководные и сравнительно глубоководные прогибы. 2. Вулканические прогибы с интенсивным субвулканическиммагматизмом. 3. Терригенно-карбонатные мелководные приразломные прогибы. 4. Карбонатно-терригенные мелководные прогибы, наложенные на зону поднятий срединных массивов, Анкаван-Мегринскую (Цахкунк-Залгезурскую). 5. Терригенно-карбонатные мелководные прогибы, участками с проявлением вулканизма. Предмалокавказская (Куринская) зона. 6. Устойчивые поднятия. 7. Новообразованные поднятия, преимущественно офиолитовые. 8. Главные разломы.

на оцениваются до 2,4 км. В тоннеле Арпа-Севан вскрыты оба крыла антиклинали, причем сводная часть антиклинали приходится в 3-4 км от водораздельной части (2648 м). В разрезе северного крыла наряду с туфами и туффитами развиты экструзивы и дайки андезитового состава. Разрез наращивается залегающими подо го и несогласно на зоне вулканогенно-осадочными образованиями миоценом и плиоценом. Несомненно сходство разреза среднего-верхнего эоценом с разрезами, обнажающимися по правобережью р.Арпа /25/.

Важно подчеркнуть возникновение в палеогене Севанского поднятия, а также частных поднятий в пределах современного Варденинского нагорья. Относительно меньшего размера Южногегамское и Ахтинское поднятие, разделенные Рэздан-Западносеванским прогибом с в простирающимися уже возникли в пределах современного Гегамского нагорья.

История развития бассейна оз.Севан на раннеорогенном этапе остается недостаточно ясной. Так, нет никаких данных о наличии в разрезах Гегамского нагорья и более восточных молассоидных отложений раннего олигоцена и красноцветных молasses нижнего миоценом. Соленосно-гипсонасные толщи среднего миоценом, вскрытая в скважине у с.Арцвакар, имеет гораздо большее развитие в бассейне озера. Зангезурский офиолитовый шов разобщает котловину на юго-западную и северо-восточную впадины. Западная впадина включает соленосно-гипсонасные отложения среднего миоценом. Именно западной половине бассейна принадлежат воды колодцев, известные аномальными содержаниями натрия и калия, хлора и сульфат-иона /55/. Отметим также наличие ореолов высоких содержаний магния, хлора, сульфат-иона в донных осадках средней части котловины. Поскольку в озерных отложениях, вскрытых скважинами на восточном берегу озера, не содержатся компоненты эвапоритов, граница развития эвапоритов и "эвапоритоидов" более вероятно проходит вдоль Дзкнагет-Карчахпюрского офиолитового шва.

Северо-западная часть озерной котловины, судя по разрезу, вскрытому в тоннеле в долине р.Дзкнагет, включает угленосную терригенную толщу - аналог диликанской свиты позднего олигоцена-раннего миоценом и средне-верхнемиоценовую молассу, которые должны иметь продолжение в озерную котловину и в Масрикскую впадину. Граница литофациальных зон среднего-позднего миоценом, видимо, также проходит вдоль Дзкнагет-Карчахпюрской антиклинали Зангезурского офиолитового шва.

Можно полагать, что озерный бассейн миоценом через Масрикскую

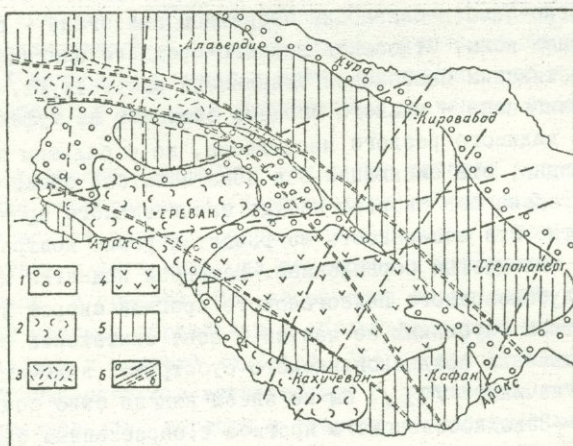


Рис. 32. Тектоническая схема Малого Кавказа
в миоцене-раннем плиоцене.

1. Молассовые прогибы (Предмалокавказский и др.),
а также краевые молассы эвапоритовых прогибов.
2. Молассово-эвапоритовые прогибы (гипсоминерально-со-
лесные). 3. Терригенно-пирокластические угленос-
ные лагунные накопления. 4. Наземные, озерные и
лагунные вулканические, вулканогенно-молассовые,
участками молассовые образования. 5. Устойчивые
поднятия. 6. а) Главные разломы; б) Линеаменты,
выявленные преимущественно дистанционными методами.

впадину продолжался в басс.р.Акера и южнее соединялся с Араксинской впадиной. В этой связи объяснимы находки кристаллитов галита в цементе позднеконьяских конгломератов басс.р.Акера (разрез у с.Иняк-2), скорее всего при инфильтрации хлоридных растворов из миоценовых отложений в нижележащие отложения мезозоя. Соответственно необходимо допустить, что затем отложения миоцена были размыты. Пространственные соотношения морского залива позднего миоцена с Ширако-Памбак-Севанским бассейном палеогена - раннего миоцена наименее ясны. Отложения нижнего-среднего олигоцена почти на всем протяжении Памбакской синклиналии отсутствуют, а молассы верхнего олигоцена - нижнего миоцена залегают на туфах среднего эоцена без видимого резкого несогласия, но с большим перерывом.

Как видно, эта синклинальная зона испытала общее поднятие в начале олигоцена без сколько-нибудь значительного проявления складчатости. Эта особенность ее развития резко контрастирует с интенсивно складчатым обрамлением. Механизм поднятия и осушения довольно глубоководного палеогенового прогиба скорее всего обусловлен смятием глубинных ее частей в зоне синтаксиса офиолитовых сутур, воздымания позднеконьякского субстрата, включающего серпентинитовую "начинку" / II /. Мы не знаем каково было сочленение Приереванско-Западносеванского прогиба с опресненным бассейном северной части Ширакской впадины и Памбакским бассейном, так же как неясны связи с Куриńskим бассейном. Останцы конских известково-песчаных морских отложений северных предгорий Сомхето-Карабахской зоны (г.Киклик, Кобах-тапа) являются свидетельством трансгрессии моря Парасетис со стороны Куринской депрессии. Сходство макротроповой фауны с таковой разрезов Причерноморья подкрепляет предположение о проникновении моря через Рисено-Куринскую депрессию / 25 /. Миграция из Ирана и с запада - из Анатолии менее вероятна, вследствие развития в сопредельных зонах этих регионов лагунных разрезов сармата, хотя и не исключена полностью. Выровненные поверхности склонов Севанского хребта нередко связываются с распространением в этой части региона сарматского бассейна, однако вопрос этот также спорный, поскольку крупные вытянутые поверхности на юго-западном склоне хребта, по мнению ряда геоморфологов, могут не представлять террасы, а быть поверхностями выветривания разных литологических комплексов, в других случаях - блоковыми опусканиями, в третьих - поверхностями крупных сейсмогравитационных срывов.

Кратко охарактеризуем обстановки осадконакопления моласс сармата.

Морская мелководно-прибрежная обстановка отражена в лито-фаунистической изменчивости отложений, особенностях структуры пород, составе фауны, наличии органогенного детрита, органогенных и оолитовых известняков. Близость питающих областей, изменчивость гидродинамической обстановки, неровное дно и относительно снизившиеся берега водоемов способствовали отложению неотсортированных песчаников-хлиодолитов и глин, обогащенных песчано-алевритовой фракцией. В наиболее прогнутых зонах отлагались глинистые и, частично, карбонатные породы с подчиненным значением более грубых отложений.

По соотношению главнейших минералов тяжелой фракции возможно выделить две терригенно-минералогические ассоциации. Первая - это ассоциация эпидот-рогочная обманка-пироксеновая с повышенным значением биотита и магнетита, из акцессорных минералов - хромшпинелиды, циркон и гранаты. Эта ассоциация связывается с юго-западной и южной частями обрамления и обусловлена размывом Южно-Гегамского и смежных к востоку поднятий. Другая ассоциация - эпидот-рогочная обманка-пироксен-магнетитовая с повышенным значением биотита, хромшпинелидов, циркона и граната, охватывает юго-восточные области бассейна и связана с размывом главным образом пород офиолитовой серии и надофиолитового "чехла".

В юго-западных областях бассейна с терригенным материалом в бассейн поступало в большом количестве органическое вещество, в его накопление и преобразование создавало восстановительную обстановку, о чем свидетельствует наличие в отложениях значительного количества аутогенного пирита, $\text{S}_{\text{орг}}$ (остаточного), сульфатов.

В мелководном бассейне временами устанавливалась спокойная гидродинамическая обстановка седиментации, и отложения отличались тонкой горизонтальной слоистостью. Обуглившийся растительный детрит на плоскостях наслаждения пород свидетельствует о теплом субтропическом климате, временами сменявшемся зридным (по наличию пордообразующего пальгорскита и редких пропластков гипса и соли). Аутогенный седиментогенез пордообразующих глинистых минералов - монтмориллонита и пальгорскита в глинах и глинистых компонентах песчано-алевритовых и туфогенных пород был сопряжен с вулканизмом. Образование этих магнезиальных силикатов происходило в щелочном солеродном бассейне, насыщенном кремнеземом и магнием.

Некоторое значение в седиментации имел синхронный осадконакоплению вулканизм, однако эруптивные центры находились на значи-

тельном расстоянии от бассейна, что снижало его влияние на осадконакопление.

Седиментогенез происходил в несколько опресненном морском бассейне, где получили развитие эвригалинные формы гастропод, пелеципод, мшанок, остракод, фораминифер. Остракоды пользуются широким диапазоном вертикального и горизонтального распространения. Особо пышное развитие получили их солоноватоводные и, частично, пресноводные виды. Периодически бассейн становился полузамкнутым, с этим связано наличие эндемических форм фауны, высокая карбонатность пород, маломощные пропластки сульфатов и каменной соли.

Известно, что одним из показателей солености водоемов прошлого является содержание хлора в осадочных породах (глинах), поскольку хлор-ион с катионами образует хорошо растворимые соли, не участвует в ионном обмене и не адсорбируется породой.

Содержание хлора из водных вытяжек глинистых пород, по данным 100 определений, варьирует по разрезу скв.Карчахпюр-I от 0,15 до 0,54%, мода - 0,31% на породу; в скв.Еранос-I - 0,06-0,5%, мода - 0,22%; в скв.Кясаман-3 - 0,10-0,24%, мода - 0,20%. Содержание хлора соответствует нормальному - морским бассейнам, временами возможно солоноватоводным. Для сравнения отметим, что морские глины девонских отложений Урало-Поволжья содержат хлор в пределах 0,2-0,3%, в глинах же пресноводных бассейнов составляет сотые доли процента. Показателем фациальных условий седиментации водоемов прошлого также служит отношение Sr/Ba , которое в изученных молассах составляет более единицы, что характерно для морских бассейнов нормальной солености.

5.2. История геологического развития бассейна озера Севан в плиоцене-плейстоцене

Данные по палеогеографии нижнего и позднего плиоцена, а также плейстоцена /7, 9, 16, 25, 27, 59, 117, 120/ ныне могут быть дополнены результатами структурного бурения плиоцен-плейстоценовых моласс на юном и восточном берегах озера и изучения плейстоценовых озерных глинисто-кремнистых отложений басс.р.Дзкнагет.

В разрезе вулканобломочных отложений - аналогов вохчабердской толщи, развитых от Гегамского и Варденисского хребтов к прибрежным равнинам Севанской владины, все больше наращивается осадочного компонента - мергелей, песчаников, глины. Преобладание осадочных компонентов особо обнаруживается в разрезах раз-

нина, прилегающих к Севанскому хребту, слагаемых озерными слоистыми мелко- и крупнообломочными породами. Несогласно залегающие на средне-верхнеэоценовой вулканогенно-осадочной толще отложения плиоцена разреза тоннеля Арпа-Севан, вблизи Северного портала также приобретают падение ($\sim 10-20^\circ$) к акватории озера. Это прямые признаки существования в плиоцене, и тем более в позднем плиоцене, Варденисского поднятия. Аналоги вохчабердской толщи отсутствуют в разрезе Дзкнагетской антиклинали. Выявляются они к ю-з, в разрезе Верхнеразданской впадины.

Существенное место в формировании расчлененного рельефа принадлежит разломам сбросового типа по всему контуру котловины, вдоль и поперек нее. Следствием этих движений явились резко различные уровни кровли сарматской молассы на западе и востоке бассейна. Так, сарматские молассы обнажаются в районе г. Камода на восточном берегу озера, по данным бурения, погребены до глубины 410 м /120/ с очевидным выклиниванием и развитием в разрезе сармата грубообломочных отложений к подножью Севанского хребта.

Отметим также грабенообразное проседание Дзкнагетской антиклинали или развитие одностороннего горста Аргунийского поднятия /59/, который отделен от Севанской впадины крупным разломом, ныне сейсмоактивным, с амплитудой новейших смещений более 600 м.

Бурением в районе Сарикаинского берега подтверждается развитие вдоль береговой линии сброса с опущенным крылом одноименной толщи в сторону акватории. С меридиональными сбросами этой части озера связаны древнеоползневые выносы и выходы минеральных вод /16/.

Наименее изучена структура осевой части озера. Е.Е. Милановский /60/ полагает, что "абсолютные отметки домэотического днища впадины в ее центральных частях не превышают, видимо, +1000 м (а может быть +500, +700 м), а глубина его погружений относительно смежных поднятий составляет 2-2,5 км". Надо полагать, домэотическое основание приподнято вдоль осевой, Дзкнагет-Карчахпюрской антиклинали. Сформировались разобщенные мелкие бассейны.

О химическом составе этих вод известно мало. Геохимия отложений восточной, Присеванской зоны седиментации /63/ не показала сколько-нибудь заметной аномальной солености бассейна плиоцена. Гипсонасно-соленосные отложения среднего миоцена и огипсованные отложения сармата западной части современной котловины внесли

лишь локальный вклад в общую соленость бассейна, разобщенного Карчакпюр-Дзкнагетским поднятием или отмелью. Эзотис-понтический Севан, как известно, был местом обитания пресноводных диатомовых.

Наряду с относительным опусканием региона и некоторой пляжной рельефа с продолжающимися дифференциальными вертикальными движениями в позднем плиоцене связывается новое вскрытие, "откапывание" речных долин, погребенных вулканогенно-обломочными отложениями раннеплиоценового времени /27/. Происходит заполнение тектонических и залрудно-тектонических впадин, возникновение новых и оформление ранних озерных бассейнов (Араратской и Ширакской и др., котловины в басс.оз.Севан). Акчагильская трансгрессия произошла со стороны Приараксинской депрессии, через поперечные прогибы на север до Памбак-Севан-Масрик-Акеринского линеймента, в частности через Агстевский прогиб.

Позднеплиоценовый Севан на палеогеографических схемах /27/ ограничен с с-в сушей, причем южный контур озерных осадков доведен до высоких отметок современного Варденинского хребта. В этой связи важны находки глинисто-кремнистых отложений, коррелируемых с позднеплиоцен-нижнечетвертичными разрезами долины р.Памбак, которые отодвигают к северу гипотетическую границу позднеплиоцен-плейстоценового М.Севана. Эти поправки сднако не меняют основных черт палеогеографии бассейна: связь через западный проход с акчагыл-апшеронским бассейном, с с-з-с долиной р.Палеопамбак и с ю-з-с р.Палеоаргичи.

Глинисто-кремнистый (опоковый) состав и горизонтальная слоистость позднеплиоцен-плейстоценовых отложений басс.р.Дзкнагет наводят на мысль о значительном удалении их от береговой линии, чем и вызван был малый терригенный снос. Это вряд ли произошло в случае притока с северо-запада в бассейн озера реки Палеопамбак. К этому времени только началось формирование Халабского воздымания и обособление озерной котловины на ее северо-западе.

В разрезе долины р.Дзкнагет выше глинисто-кремнистых отложений плейстоцена залегает пачка (3-4 м) фиолетовых туфов и выше них - с падением к озеру - мощная, до 40-60 м толща олистостромового типа, состоящая из обломков всех нижележащих пород в неотсортированном олистостромовом матриксе. Олистостромовые отложения отражают этап резкой тектонической активизации рельефа - главная фаза формирования Халабского поднятия.

Иной состав и строение имеют отложения восточного обрамления. Отложения позднего плиоцена-плейстоцена подножья Севанского хребта

чрезвычайно насыщены офиолитокластическим материалом (обломками серпентинитов, габбро, спилитов, радиоляритов). Содержание окислов магния в известковых алевролитах и песчаниках достигает 4,5-5,5%.

В слабых (2,5%) солянокислых вытяжках обнаруживается высокое содержание подвижного магния (500-600 мг на 100 г осадка). Устойчиво высоко содержание подвижного марганца (20-40 мг на 100 г осадка). В единичных образцах выявлено повышенное до 5,3% содержание окислов фосфора, возможно, в них накопление минеральных их новообразований.

Влияние вулканизма на осадконакопление особенно сказалось вдоль юго-восточной части Севанского хребта и в Масрикской котловине. В разрезе здесь значительное развитие имеют продукты перемыча синхронного пемзового материала. В районе с.Сариягуб мощность озерной глинисто-пемзовой толщи позднего плиоцена, например, достигает 30 м при падении ее слоев к современному Б.Севану. Мощные кислые туфы картируются в наземной обстановке на Варденисском хребте. Озерные отложения позднего плиоцена содержат остатки пресноводной диатомовой растительности, причем по их комплексам можно судить о нарастающем углублении бассейна /7/.

В дополнение к характеристике плейстоценовых отложений басс. оз.Севан /7,14,25, 60/ отметим, что манычарские лавы нижнего плейстоцена западного берега озера и более молодые, позднеплейстоценовые андезито-базальтовые лавы и шлаки Норатусского мыса имеют продолжение в озерной котловине. Они были вскрыты трубками на с-э акватории Б.Севана /86/, на Нор-Баязетском валу, причем помимо тектонического происхождения валообразная морфология создавалась и шлаковыми конусами.

Излияния андезито-базальтовых и андезитовых лав на границе позднего плейстоцена и голоцене достигали западного склона и, видимо, части даже дна М.Севана. С этими излияниями в озерную котловину К.Н.Паффенгольц /77/ связывал подъем уровня озера. Вопросы взаимодействия лав и осадков в этой части озерного бассейна остаются пока, к сожалению, вне литологического изучения. В равной мере это относится и к зоне смыкания лав и синхронных озерных осадков на северном предгорье Варденисского хребта.

5.3. История геологического развития озера Севан в голоцене

Наиболее нижние слои голоцена в разрезе предгорных равнин выделены в разрезе скважины вблизи устья р.Дзинагет / 90, 91 /. Субарктический этап по периодике Блитта-Сернандера в схеме М.И.Нейштадта / 70 / выражен глинистыми отложениями на глубине 15-30 м разреза скважины. Хотя нельзя не обратить внимания на условность временного расчета: интервал глин залигает на 20 м ниже рапера 6270 ± 110 лет другого, корашенского разреза. Выше по разрезу глины сменяются регressiveными отложениями мощностью 10-15 м, после которых вновь следуют глинистые отложения, обозначающие новую трансгрессию (Атлантическую) при мощности пачки в 4-5 м. Некоторая неопределенность имеется и для другого пункта - торфяников озера Гили с радиоуглеродным возрастом 2950 ± 150 лет на уровне глубины 2 м.

Предполагаемый для низов этого разреза возраст на глубине 8 м (подошва торфов) в 11800 лет предложен из пересчета на среднегодовую скорость накопления торфяников, однако очевидны значительные вариации скорости седиментации из-за крупных климатических колебаний в голоцене. Других раперов осадков раннего голоцена пока нет. В центре котловины трубками вскрыт разрез глин. Используя сезонную слоистость (средняя скорость 0,8мм в год) для осадков мощностью в 3,7 м, возраст нижних слоев определяется в 2,9 тыс. лет. Из прибрежных разрезов, с которыми можно коррелировать позднеголоценовый разрез центральной части котловины на Б.Севане, отметим хорошо изученный и датированный / 90, 91, 93 / разрез устья р.Аргичи. Этот разрез наиболее динамически активной устьевой части реки и стыка с озером вряд ли характеризуется устойчивой скоростью седиментации. С глинами центра озера возможно сопоставимы пачки 5-10 (?) аргичинского разреза. Пачка 5 аргичинского разреза радиоуглеродным методом датируется в 5 тыс. лет. Эти датировки расходятся с возрастом основания трансгрессивной глинистой пачки (2-3) центрального разреза акватории (3 тыс. лет). Между тем возраст пачки 2 и пачки 3 центра Б.Севана близок к слоям, относимым к началу субатлантического этапа Дзинагетского разреза (2,5 тыс. лет). Как видно, трудности в корреляции этих разрезов имеются.

Но обратимся к разрезу донных осадков с точки зрения последовательности развития озера. Выше отмечалось, что пачка I - коричнев-

вых глин и песков характеризует окислительную среду и представляет осадки наименьшего уровня Б.Севана, "стадии луж" /19/. Возраст этой пачки древнее 2,9-3 тыс. лет. Вышележащие глины пачки П и Ш характеризуют нарастающий подъем уровня озера. Важно подчеркнуть, что пачка П залегает на пачке I резко несогласно (рис.2) и, видимо, перед ее накоплением произошли заметные деформации рельефа дна озера, деформации скорее всего приразломные. Надо думать, что этот эпизод в жизни озера оказал влияние на жизнь и дальнейшую судьбу урартских поселений. Но вернемся к возможным причинам повышения уровня озера. Сравним разрезы Б.Севана и М.Севана. Бурение в 1929 г. со льда /12/ Еленовской бухты М.Севана вскрыло разрез: темно-серые глины (0,75 м), светло-серые глины (0,50 м), черные глины с песком (0,81 м), синие глины с примесью черной (0,50 м) и выше по разрезу — илы (2,36 м). Сходные разрезы вскрыли буровые Армводхоза вблизи устья р.Раздан. Как видно, данные разрезы донных осадков действительно характеризуют с-з части М.Севана, и другой вывод — сходство этих разрезов с разрезом центральной части оз.Б.Севана. Отметим, что подобные разрезы были вскрыты и единичными вибропоршневыми трубками вдоль западного берега М.Севана /38/. Можно утверждать, что коричневые глины "стадии луж" не имеют полных аналогов в разрезе Малого Севана. Котловина Малого Севана была в интервале 3-3,5 тыс. лет более глубоководной, чем блэдцеобразный бассейн Большого Севана. Что касается пачек П и Ш Б.Севана, то они имеют аналоги в разрезе М.Севана.

Рассмотрим время развития и причины возникновения Нор-Баязетского вала. Бурение трех трубок вдоль Нор-Баязетского вала показало следующее.

В разрезе трубы № 7, заданной ближе к Шоржинскому полуострову, к востоку от прорезающего вал каньона, преобладают по всему интервалу пески. В основании разреза вскрыт серо-сизый мелкозернистый песок с окатанным гравием и галькой (150 см), выше следуют се-рые сцементированные крупнозернистые пески с редкой галькой и ос-татками раковин (135 см), серо-желтый рыхлый крупнозернистый песок, состоящий из обломков известняка и включающий обломки раковин (85 см), серо-сизый крупнозернистый песок, также с обломками рако-вин (50 см) и, наконец, разрез завершается пачкой рыхлого средне-зернистого песка с примесью песка крупнозернистого (40 см).

Преобладание песков обнаружено и в трубке № 9, заданной на ю-з краю вала, вблизи Норатусского мыса. Она вскрыла следующий разрез

(снизу-вверх): буровато-серый плотный мелкозернистый песок с включениями известковых конкреций (265 см), серо-сизый мелкозернистый песок с известковыми конкрециями и линзами грубозернистого песка (165 см), серый тонкозернистый песок с глинистой иловатой примесью и остатками раковин (135 см), черный грубозернистый псаммитовый песок из шлакового материала (65 см), светло-желтый крупнозернистый песок с обильным детритом раковинного материала (60 см), светло-серый рыхлый крупнозернистый песок с обилием детрита раковин и цельными их формами (40 см). Как видно, в обеих трубках состав осадков песчаный, при этом имеются прослои черных шлаков и серо-сизых песков — с заметной шлаковой примесью. По всей длине южного склона Н.Баязетского вала осадки включают продукты размыва вулканических шлаковых конусов. Поверхность вала находится на глубине 15 и 35 м от нынешнего и былого уровня (до спуска озера) соответственно. Каньон с асимметрично приподнятым восточным плечом углублен на 10 м ниже поверхности вала. Склон к М.Севану на створе каньона гораздо более обрывистый, со стороны Б.Севана имеется углубление — "яма" глубиною на 10 м больше, чем дно каньона. В рельефе М.Севана склон вала протягивается параллельно его оси. Пологий рельеф Б.Севана на подходе к каньону все более сужается и делается асимметричным. В пологом рельефе чаши Б.Севана обозначаются впадины меньшего порядка с отметками ниже современного уровня дна каньона на 3-4 м.

О происхождении каньона, поперечного валу, можно судить по разрезу трубы № 8, заданной на его восточном склоне. Низы разреза (235 см) слагают серо-сизые пески с шлаковой примесью и с обилием травертинового материала. Выше по разрезу количество травертина все более увеличивается и уже преобладает в осадках на глубине от поверхности на 1,2 м. Как видно, склоны каньона и его дно выполнены преимущественно травертинами, а травертины обозначают разломы — места подтока глубинных минерализованных вод ко дну бассейна. Можно ли в этой связи утверждать тектоническое происхождение каньона, рассекающего Н.Баязетский вал?

Интересно, что частные впадины дна Б.Севана выстроены по одной линии. И если снять чехол осадков в 2,7 м, осадки времени трансгрессии озера, то линейное их расположение, начиная от "ямы", далее в 7 км против устья р.Шамберт и в 8 км северо-восточнее мыса Карчахпур, станет еще более наглядным.

Речная сеть позднеголоценового Б.Севана прежде всего заполни-

ла водами частные понижения, приразломные впадины днища. Такая последовательность заполнения должна была ограничить динамическую активность рек и их воздействие на Нор-Баязетский вал. Прорыв Нор-Баязетского вала мог быть лишь при тектонической (сейсмотектонической) нарушенности его сплошности. Подъем уровня вод начался примерно с этапа в 3 тыс. лет и после заполнения частных впадин, воды поднялись до уровня южного склона Нор-Баязетского вала и затем произошел прорыв его водами, предопределенный развитием сейсмоактивного разлома на месте нынешнего каньона. Указанный сейсмогенный разлом может быть отнесен к северо-западному продолжению Карчахпюрского сейсмогенного разлома. В ранних схемах / 60, 77 / прорыв Нор-Баязетского вала объяснялся прорезанием каньона по причине слабости в теле вала - наличия некоего оврага, либо развития антицентрического ложа в поверхности затопленной долины. Итак, выявлены существенные деформации рельефа котловины на этапе примерно в 3 тыс. лет. Сейсмогенный характер этих деформаций и нарушение сплошности Нор-Баязетского вала Карчахпюрским сейсмогенным разломом наиболее вероятны. И в этом причина последующего возникновения каньона. Следует отметить, что признаки сейсмоактивности наблюдаются и в других частях голоценового Севана. Так, крупный конус выноса от дельты р. Аргичи, достигший почти середины дна, может быть объяснен именно всплеском сейсмоактивности (рис. 2).

Возникновение в голоцене каньона, наряду с более высоким стоянием уровня дна Б.Севана, относительно Малого Севана, предопределило опережающее наполнение Малого Севана за счет слива большей части вод из Б.Севана. Слив в М.Севан вод начался после достижения водами Б.Севана уровня дна каньона, который практически близок к уровню большей части днища Б.Севана, исключая углубления в нем. Следовательно, на стадии "дуж" Б.Севан долгое время не заполнялся, а сливал воды в М.Севан. Из сказанного следует, что седimentация в М.Севане была длительнее. Действительно, по акустическим данным мощность рыхлых осадков в ю-з части М.Севана, прилегавшей к валу, достигает 8 м, тогда как в Б.Севане не превышает 5 м.

Как видно, М.Севан, как более глубоководная впадина, дно которой расположено гипсометрически ниже, явился своего рода водосборником сливавшихся из Б.Севана вод. Уровень вод в обеих чашах сравнялся после поднятия вод в М.Севане до уровня дна каньона в Н.Баязетском валу. В последующем он регулировался (до техногенного вмешательства) лишь перемычкой в верховье позднеголоценового и современного Раздана (Варсерская).

Мезозойское офиолитовое горст-антиклинальное поднятие центральной части Б.Севана было перекрыто и слажено осадками сармата и плиоцен-четвертичного возраста. По акустическим данным / 119 /, падение плотных пород под осадочным рыхлым чехлом имеет два преобладающих направления — на восток и запад от центральной части озера (рис. 15). Данные бурения на юном берегу озера показывали наличие двух синклинальных впадин, разделенных горст-антиклиналью (позднемезозойским поднятием). Причем, впадины характеризуются более полным разрезом сенона, палеогена и неогена, тогда как в строении горст-антиклинали отсутствуют отложения сенона и палеогена, разрез сармата сокращен в мощности (скважина у с.Карчахпюр), то же характерно и для разреза плиоцен-плейстоценовой молассы.

Сложное строение чаши Б.Севана, представленное центральной горст-антиклиналью и двумя синклиналями, в известной мере отражается и в мощностях, и в некоторых особенностях позднеголоценовых осадков. Асимметрия распределения по площади бассейна осадков выражена в большей водонасыщенности осадков Присеванской синклинали, в приподнятости в районе Пригегамской синклинали плотных пород — пачки I, вскрытой трубками разреза, в наличии в Аргичинском секторе синклинали крупной линзы песков, почти достигающих центра котловины, в наличии на дне с-з части котловины шлакового конуса (конусов ?), а также в рассмотренных в начальном разделе особенностях минерального и геохимического состава осадков. Еще более очевидна разница глубинного строения ю-з и с-в частей котловины, разделенных офиолитовой сутурой (рис. 17). Карчахпюрский офиолитовый разрез коррелируется с Дзкнагетским офиолитовым / 10 /. Соответственно, Присеванская синклиналь смыкается с синклиналью, расположенной северо-восточнее Дзкнагетской горст-антиклинали и относящейся к частным структурам юго-западного крыла Красносельск-Дилижанской крупной синклинали. Пригегамская же синклиналь на с-з маскируется голоценовыми лавовыми потоками Ератумберской группы вулканов, лавы которых могли достигать середины современной впадины М.Севана / 52,

77 /. Продолжением не с-з Пригегамской синклинали является Верхне-Разданская брахисинклиналь. Глубинное строение коры басс.оз.Севан представляет соединение разных по глубине заложения и строению тектонических зон: Севанской офиолитовой с Базумо-Кафанской континентально-коровой, последней с Зангезурской офиолитовой зоной, а ее — с Анкаван-Мегринской континентально-коровой зоной (рис. 17). Наконец, отметим, что бассейн озера и его ю-з обрамление — это область

сокращенной в мощности земной коры, до 38 км, и что причина тому – мантийный диапир. Можно полагать, глубинные воды бассейна испытывают влияние диапира и, видимо, не случайно столь широкое развитие на его площади минерализованных вод. Их разгрузка или диффузия через илы в наддонную воду, как видно, и предопределили своеобразный содовый состав озерной воды – вопрос этот затрагивался во многих работах /12, 55, 77, 79, 85, 95/, но лишь с обнаружением в центре бассейна крупной аномалии ("центральной Мары") приобрел реальный смысл.

5.3.1. О климате голоцене

Периодизация голоценовой истории развития бассейна озера Севан, как и всего Армянского нагорья, сопоставима с унифицированными схемами голоцене Ж.Мангеруда, С.Т.Андерсена, Б.Е.Берглуда и Ж.Ж.Доннера /108/ и М.И.Нейштадта /70/. В основе их климатические периоды Блитта-Сернандера. Терминология и периодизация голоцена, принятая для Северной Европы: "бореальный", "атлантический" и др. менее приемлема для аридных регионов, чем схема М.И.Нейштадта, которая использована для голоцена региона.

Древний голоцен (12000–10000 лет) – переход от плейстоцена к голоцену на Малом Кавказе связан с дегляциацией горных хребтов. Торфяники болота Гилли басс.оз. Севан имеют возраст нижних слоев в 11800 лет. В разрезе скважины, в дельте р.Дзкнагет древний голоцен характеризуют спорово-пыльцевые спектры в осадках с глубины от 24,5 м до забоя включительно (30,5 м). Преобладает пыльца тревянистых и кустарничковых растений (до 80%). Среди них преобладают: маревые (до 50%), злаковые (до 35%), полыни (до 15%), разнотравье (до 65%), грубоцветные (до 40%). Пыльца древесных пород (20%) представлена дубом (до 45%) и сосной (до 40%), а также березой (до 20%) и елью (до 10%), есть также пыльца лапини, облепихи, хмелеграба, ореха, бук, вяза. Обнаружены споры зеленых мхов, многоножковых. Вертикальная поясность в Севанском бассейне сформировалась уже с первой половины древнего голоцена. В лесном поясе преобладали дуб, сосна, береза, ель, в степном и субальпийском и альпийском – произрастали различные травянистые и кустарниковые растения. Климат был прохладнее современного, уровень воды в озере был высоким за счет таяния верхнеплейстоценовых ледников. Древний голоцен в Севанском бассейне совпадает с позднекавказской трансгрессией Каспия /98/.

Таблица 15

Колебания увлажненности Армянского нагорья
и уровня Каспийского моря в голоцене

Подразделения голоцена	Время	Армянское нагорье	Каспийское море (по П.В.Федорову, 1978 и др.)
Поздний	2500	Современные	Современный бассейн минус 28 м
		Увлажнение	Поздне-Новокаспийская трансгрессия минус 23 м
Средний	8000	Потепление и иссушение	Дербентская регрессия минус 32-33 м
		Увлажнение (климатический оптимум)	Главная фаза Ново-каспийской трансгрессии минус 22(21) м
Ранний	10000		Челекенская (самурская) регрессия минус 20-22 м
		Относительно теплый и сухой	Ранне-Новокаспийская трансгрессия (климатический оптимум) минус 23-25 м
Древний	12000	Континентальный прохладный (холодный)	Мангышлакская регрессия минус 48-50 м
			Позднехвалынская трансгрессия минус 16-17 м

Ранний голоцен (10000-8000 лет, интервал 24,5-4 м). Пыльца травянистых и кустарничковых растений достигает 90%, среди которых основная масса принадлежит ксерофитам: маревым (до 62%), злаковым (до 18%), полыням (до 20%), разнотравью (до 45%). Группа пыльцы древесных пород содержит лишь единичные зерна сосны, березы, дуба, ольхи, ивы. Споры практически отсутствуют.

Как видно из спорово-пыльцевой диаграммы, произошла резкая еридиализация и континентализация. Древесная растительность редких и мелких островков сохранилась в долинах рек; уровень воды в озере значительно понизился.

Эпоха раннего голоцене в Севанском бассейне, по-видимому, со-поставима с поход мангышлакской регрессии Каспийского моря.

Средний голоцен (8000-2500 лет, интервал 4-0 м, палинзоны 10, 9, 8, 7). Состав пыльцы трав и кустарничковых растений варьирует в пределах 60-85%, преобладает пыльца злаковых (до 60%), маревых (до 43%), полыней (до 20%), разнотравья (до 63%). Состав пыльцы деревьев и кустарников варьирует в пределах 10-22%, представлен пыльцой ели (до 10%), сосны (до 24%), берескы (до 45%), дуба (до 22%) и таких пород, как граб (до 10%), дуб (до 22%), вяз (до 10%), ива (до 25%), орех (до 20%), лесной орех (до 5%), облепиха (до 42%); из спор присутствуют: зеленые мхи (до 60%), многоножковые (до 98%), гроздовики (до 40%). Сходное соотношение пыльцы древесных и травянистых растений прослеживается и в палинзонах 10. Наблюдается увеличение пыльцы древесных пород (до 40%), растет содержание пыльцы ели, сосны, берескы, а также широколиственных деревьев: граба, дуба, бук, вяза, ивы, лесного ореха, хмелеграба. Содержание пыльцы трав и кустарниковых растений составляет около 60%. Преобладает пыльца разнотравья (до 60%), полыней (до 20%), маревых (до 20%). В средней части этой палинозоны, в илистых гумусированных отложениях мощностью 25 м наблюдается полное отсутствие пыльцы древесной растительности на фоне сохранения пыльцы трав. Это явление может быть вызвано лесными пожарами, возникшими при вулканических извержениях около 6200 лет назад.

Особенности состава растительности Севанского бассейна в первой половине среднего голоцене (8000-5000 лет назад) допускают существование более влажного и менее континентального, чем современный, климата. Это время наибольшего потепления в голоцене.

Археологические памятники эпохи неолита и энеолита в бассейне озера Севан, а также в других горных и высокогорных районах Армении и Закавказья не обнаружены, вероятно, ввиду неблагоприятных (влажных) для проживания человека климатических условий.

Такие памятники Армении имеются в Арагатской котловине, расположенной на 1000 м ниже уровня озера Севан.

В спорово-пыльцевых спектрах палинозоны 9 (III тысячелетие до

н.э.) сокращается количество пыльцы бересы до 22%, отсутствует пыльца ели, лапини, хмелеграба, ивы, лесного ореха и увеличивается пыльца травянистых растений: маревых - до 60%, полыней - до 40%, разнотравья - до 80%, а также появление пыльцы осоковых - до 20%. Количество пыльцы сосны, дуба, граба, буквы, ореха, ольхи изменилось незначительно.

Палинозона 9 свидетельствует об аридизации и континентализации климатических условий в Севанском бассейне, из-за чего уровень воды в Севане, вероятно, понизился. Создались благоприятные условия заселения побережья озера, возникли крупные поселения: Лчашенское, Норашенское, Айриванское и другие, которые существовали до середины II тысячелетия до н.э. Неоднократные колебания уровня озера Севан вынуждали в это время людей покидать обжитые места и перемещаться к источнику воды береговой линии озера. Об этом свидетельствуют строительные слои II тыс. до н.э. Норашенского поселения.

В спорово-пыльцевых спектрах палинозоны 8 (II тысячелетие до н.э. или эпоха поздней бронзы, в средней части имеются радиоуглеродные датировки 3500 ± 100 лет и 3630 ± 100 лет) в группе пыльцы деревьев появляется пыльца сосны, бересы, граба, буквы, вяза, лесного ореха и сокращается содержание пыльцы злаковых, осоковых, маревых, полыней. Очевидны некоторое повышение влажности и поднятие уровня воды озера, хотя уровень вод не достиг культурных слоев эпохи поздней бронзы в Лчашенском и Норашенском поселениях, которые залегают над верхним слоем эпохи ранней бронзы с перерывом около 500 лет, но не содержат озерных осадков.

Судя по спорово-пыльцевым спектрам палинозоны 7 (конец среднего голоцене, археологически датируется в Лчашене X-XI веками до н.э. или эпохой поздней бронзы и железного века), существенно сократились дрепесные породы деревьев, заметное место занимала сосна, вместе с которой произрастали: дуб, береска, граб, вяз, бук, хмелеграб, орех, кустарники были представлены ивой. Значительно были развиты ксерофитные: злаковые, осоковые, маревые, разнотравье, что, видимо, вызвано некоторой аридизацией климата и с ним связано было снижение уровня воды озера.

Подъем материального производства племен вызвал развитие культурных взаимоотношений и их об'единение в мощное Урартское государство (IX-XI вв. до н.э.) со столицей Тушпа, с поселениями, в том числе Лчашенским, где сохранилась клинопись царя Аргишти I (785-760 гг. до н.э.), и Норашенским.

Поздний голоцен (2500-0 лет) характеризуют шесть последующих палинозон. Они свидетельствуют о существовании лесной растительности за последние 2500 лет. Существенные изменения климат и растительность претерпели лишь на рубеже около 2000 лет, выразившиеся в значительном увлажнении климата.

Палинозона 6 (с I века до н.э. до III века новой эры, радиоуглеродная датировка отложений 2020 ± 120 лет в 2090 ± 70 лет) обозначает значительное разнообразие древесной растительности. Меньше стало сосны, но появилась ель; резко возросло разнообразие и количество широколиственных пород, особенно дуба, граба, ольхи, липы, которые произрастали вместе с буком, вязом, липой и лесным орехом. В степном, субальпийском и альпийском поясах заметно понизилась роль злаковых, маревых и полыней. Это вызвано заметным увлажнением климатических условий и поднятием уровня озерной воды. На это указывают осадки, перекрывающие все культурные слои Лчашенского и Норашенского поселений, значительное содержание в осадках планктонных диатомовых водорослей (до 25%), господствующим видом среди которых является *Stephanodiscus astraeanus*.

Циклонические крепости того времени строились на возвышенных участках побережья озера, в районе Лчашенского и Норашенского поселений, которые были связаны не только между собой, но и с другими населенными пунктами. При их затоплении население перемещалось в другие районы, сохраняя связь с крепостями.

Палинозона 5 соответствует периоду между III-X веками. Заметно уменьшилось количество древесных пород и становится разнообразнее травянистые и кустарниковые. В лесном поясе доминировала сосна, а из широколиственных пород – дуб, бук, вяз, встречались береза, липа. В степном, субальпийском и альпийском поясах заметно увеличилась роль ксерофитных элементов травянистой растительности. Диатомовый комплекс в отложениях данной эпохи исключительно беден в видовом и количественном составах, весьма мало планктонных форм диатомей. Основу комплекса составляют мелководные формы диатомей: *Lithothamnion turgida*, *Melosira arenaris*, *Meridion circulare*, *Cocconeis placentula*, *Navicula mutica*, *N. oblonga* и др.

Климатические условия области были близки к современным, но уровень воды в озере несколько понизился, возобновились поселения Лчашенское и Норашенское.

Палинозона 4 соответствует эпохе между X-XII веками. В лесной растительности преобладали сосна и широколиственные породы (дуб и

бук). Характерно увеличение бересы, лапины, ореха, а также относительно большое содержание граба и хмелеграба. Произрастали также вяз, лапина, липа, а из кустарников — ива и лещина. Количество сосны заметно уменьшилось. В степном, субальпийском и альпийском поясах преобладали злаковые, осоковые, разнотравье. Диатомовая флора весьма богата в видовом и количественном отношении. На долю планктонных форм приходилось до 48%, среди них в значительном количестве встречаются: *Cyclatella kuetzingiana*, *C. ocelata*, *Stephanodiscus astraea*.

Как видно, климат увлажнился, уровень воды в озере повысился. Лчашенское, Норашенское и другие поселения были затоплены.

Палинозона 3 охватывает период между XIX—ХУ веками. Несколько сократилось количество древесных пород и увеличилось — травянистых и кустарниковых растений. В лесном поясе преобладали сосна в совокупности с орехом, дубом, лапиной, грабом, буком, липой, вязом. Степной, субальпийский и альпийский пояса были представлены маревыми, злаками, осоковыми разнотравьем в несколько повышенном количестве. Диатомовый комплекс исключительно беден видами и количественным составом. С некоторым уменьшением влажности области спал уровень озера.

Палинозона 2 характеризует период между ХУ—ХУШ веками. Понизилась роль сосны и появилась ель, среди широколиственных пород дерегьев преобладали дуб, бук, вместе с которыми росли орех, вяз, липа, бересы, граб, ольха, лесной орех. Среди кустарников преобладала ива. В степном, субальпийском и альпийском поясах произрастали злаковые, осоковые, маревые. Относительно уменьшилось количество разнотравья. В видовом и количественном отношениях богата представлена диатомовая флора, особенно реофильные виды. С увлажнением и потеплением климата уровень воды в озере, вероятно, несколько повысился.

Палинозона I соответствует времени между XIX и ХХ веками. В XIX веке существовал лесной пояс. Пыльца древесных пород достигает 30%, трав и кустарничковых растений — 60%, спор — 10%. В группе пыльцы древесной растительности преобладают пыльца сосны (до 65%), имеется пыльца ели (10%), бересы, ольхи, хмелеграба, дуба, бука, ивы, липы, лесного ореха. Отсутствует пыльца ореха. В степном, субальпийском и альпийском поясах уже с ХХ века сократилось количество разнотравья и маревых и увеличилось — злаковых, осоковых и полыней. Количество пыльцы древесной растительности резко сокращает-

ся. Из спор присутствуют зеленые мхи, многоножковые, грозовики. Отложения последних десятилетий содержат богатую диатомовую флору, однако роль планктонных форм снизу вверх по разрезу уменьшается от 70% до 10%, что, по-видимому, связано с искусственным спуском воды озера.

Причина деградации лесного покрова находится не в связи с климатом, а характеризует антропогенное усиливавшееся воздействие на природу.

Колебание температуры и увлажненности в Севанском бассейне за последние 2900 лет рассмотрено В.П.Гричуком /34/. Выходы В.П.Гричука в целом совпадают с приводимыми выше. Некоторые расхождения имеются в определении возраста осадков. Первая эпоха охватывает от рубежа 2900-2600 лет до 1750-1300 лет тому назад, вторая эпоха - все последующее время до наших дней / 34 /. Накопление осадков изученного разреза дельты р.Аргичи мощностью 8,5 м определяется в 2500 лет. В нижней части разреза определена пыльца грабинника и граба, в настоящее время не произрастающие в Севанском бассейне, но известные в Северной Армении, где климатические условия гораздо мягче, чем в Севанском бассейне, зимние-на 6-7°, а летние-на 5-6°. Количество осадков также больше на 100-125 мм. По этим данным В.П.Гричук первую эпоху считает более увлажненной, чем современная. В Севанском бассейне экстремальная фаза этой эпохи относится им ко II веку н.э., когда на нижней границе альпийского пояса Памбакского хребта температура наиболее холодного и наиболее теплого месяцев были на 4-5° выше современных, безморозный период был на 20 дней продолжительнее, а годовое количество осадков достигало 1150 мм - в один-полтора раза выше выпадающих в настоящее время. Экстремальная фаза первой эпохи увлажнения хорошо выражена в пыльцевых спектрах палинозоны 6 сводной спорово-пыльцевой диаграммы.

Вторая эпоха увлажненности, по В.П.Гричуку, началась около 1750-1300 лет назад. В ее начале и середине исчезают все наиболее термофильные и влаголюбивые древесные породы. В Севанском бассейне экстремальная фаза этой эпохи отмечается в XI-XIII веках н.э., когда в альпийском поясе Памбакского хребта и зимние, и летние температуры были на 1-2° ниже современных; годовое количество осадков было меньше, чем в настоящее время. В сводной спорово-пыльцевой диаграмме эта экстремальная фаза выражена палинозоной 4. Затем, начиная с XIII-XIV вв., появляются пыльца бук, ясени, ореха, увели-

чивается ареал лесных формаций. Произошло некоторое потепление и увеличение осадков.

Современный растительный покров Севанского бассейна исключительно разнообразен. На склонах Севанского хребта на небольшой площади встречаются растения ксерофильного степного, субальпийского и альпийского поясов. В вертикальном направлении они не выдержаны. Небольшими островками до высоты 2500 м сохранился реликтовый лес дуба и можжевельника. Климатические условия для возникновения сплошного лесного покрова благоприятны; среднегодовая температура составляет +5°, осадки 500–550 мм, абсолютный минимум температуры -30°, а максимум +30°.

Дикорастущие древесные породы выявлены в окрестностях селений Цовагюх, Гомадзор, Цахкунк, Чкаловка /2/. Нахodka *Ulmus ellipica* с. Koch. на западном берегу озера Севан показывает, что в недалеком прошлом леса заходили к югу по р.Раздан. Известны многочисленные находки костных остатков благородного оленя – типичного лесного вида. На берегу озера Севан в верхней части естественного обнажения р.Дэкнагет нами найден рог оленя. В могильнике близ г.Камо найден череп куницы (*Mustela mantes sub. sp.*) – обитателя лесов /102/. Небольшие поросли барбариса, крушины и дикий алычи, встречающиеся на склонах Гюнейских гор, свидетельствуют о большой облесенности этой территории в прошлом /102/. Древесина из построек Лчашенского археологического памятника (ХП–ХУ вв. до н.э.) принадлежит дубу, клену и сосне лесов, существовавших в то время в окрестностях селения /98/. Большие массивы лесов вдоль склонов Гюнейского хребта указаны на карте Коха /98/. Густой лес вблизи с.Цовагюх 200–250 лет назад был вырублен с целью расширения участков для земледелия и сенокоса (свидетельства жителей).

Отметим также, что ритмы увлажненности и температурных колебаний в среднем и позднем голоцене в Севанском бассейне, по-видимому, совпадают с таковыми эпохами новокаспийской трансгрессии.

М.Магаритц и Ж.Хеллер /109/ для Восточного Средиземноморья с помощью изотопно-кислородного анализа карбоната раковин пресноводных моллюсков установили следующие климатические изменения: 14 тыс. лет – значительное увлажнение, 10,5–10 тыс. лет – аридизация; 10–5 тыс. лет – увлажнение с кульминацией между 6–5 тыс. лет, затем сильное иссушение области около 3000 лет назад.

В развитии природной среды районов озер Севан, Ван, Урмия, Зе-рибар намечается некая общая направленность, несмотря на различия

географического положения этих озер, климатических изменений и соответственно развития растительности Армянского нагорья.

В древнем голоцене (12-10 тыс. лет назад) климатические условия нагорья были континентальными и достаточно прохладными, но лесной пояс в горах существовал. В раннем голоцене (10-8 тыс. лет назад) преобладал относительно теплый и сухой климат и распространялась степная растительность. Основные черты современной растительности Армянского нагорья формировались уже в среднем голоцене (8 - 2,5 тыс. лет назад), когда самые ранние редколесья и сомкнутые леса занимали почти те же территории, что и в настоящее время. В первой половине среднего голоцена (8-5 тыс. лет назад) в связи с возросшей гумидностью (климатический оптимум) максимально расширился ареал древесной растительности, а во второй (5-3 тыс. лет назад) - климат стал несколько суще и теплее, и площади лесов сократились. В позднем голоцене (2,5-1,0 тыс. лет назад) существенных изменений климата и растительности не произошло, максимальная увлажненность отмечается около 2 тыс. лет назад.

Глава 6. О ПОЛЕЗНЫХ ИСКОПАЕМЫХ БАССЕЙНА ОЗЕРА СЕВАН

Окаймляющие озерную котловину горные хребты включают многочисленные полезные ископаемые. Некоторые из них имеют крупное промышленное значение, как Зодское золоторудное месторождение, подробно изученное (Амирян Ш.О., 1974) ^{х/}. Вулканические шлаки и другие строительные материалы (базальты, туфы, известняки и др.) широко используются в республике. Месторождения облицовочных материалов — цветных конгломератов, листогранитов расположены главным образом на северо-восточе бассейна, в пределах Севанского хребта. Там же имеются концентрации хромита, магнезита, принадлежащие офиолитовой серии (Абовян, 1981). На Севанском и Варденисском хребтах известны проявления ртути, медноколчеданных, окисных марганцевых руд и др. Имеются крупные запасы поделочных яшм (Сетиан, 1979). В предгорных долинах выявлены месторождения минеральных вод (Личк и др.).

Одно из главных богатств озера — пресные воды. В озеро разгружаются до первых куб.м в сек. напорные воды, которые формируются в погребенных долинах (Масрикской и др.). Однако, дебит их, например, в грифонах сильно варьирует во времени. Часть вод, видимо, поступает, просачиваясь по разломам ко дну и далее через поровое пространство слабо литифицированных донных осадков голоцен. Помимо пресных, ко дну поступают и минерализованные воды. Отток из озера вековых вод через горизонты галечников и песков среди вулканических пород Гегамского нагорья оценен от 10 до 30 (млн.м³/год (Венуни, 1986).

Полезные ископаемые, металлические и неметаллические, а также минеральные воды рассмотрены в соответствующих томах монографии "Геология Армянской ССР" в Издательстве АН Армении, а также в монографии "Геология СССР", том XL Ш, "Армянская ССР" (1970).

Помимо общего обзора размещения полезных ископаемых кратко рассмотрим перспективы нефтегазоносности бассейна озера.

В оценке нефтегазоносности региона важны приведенные выше данные о сложном тектоническом строении бассейна озера Севан, относящегося к зоне синтаксиса главнейших структурно-фор-

^{х/} Амирян Ш.О., Фарамазян А.С. Минералогия, геохимия и условия образования рудных месторождений Армянской ССР (Зод, Каджарен). Изд. АН АрмССР, Ереван, 1974.

мационных зон М.Кавказа, из них континентально-коровых зон: Анкаван-Мегринской и северного клина Кафанской (Базумо-Кафанской), которые разобщены двумя офиолитовыми швами: Зенгезурским и Севанским. Очевидно, что собственно офиолитовые швы, точнее собственно офиолитовые разрезы по ассоциациям пород и уровню постседиментационного прообразования не могут быть перспективными в отношении нефтепродуцирования и, тем более, сохранения крупных скоплений мигрировавших углеводородов. Поэтому главными объектами исследований и поисков должны быть либо разрезы обрамления, т.е. континентально-коровые блоки, либо надофиолитовый "чехол" и прежде всего позднесенонская известняковая формация.

Что касается разрезов обрамления, то диапазон поисков перспективных горизонтов на нефть и газ в них гораздо шире. Это пермская битуминозная известняковая формация и весь разрез мезозоя, особенно меловой и далее датско-палеоценовый разрезы (рис. 17). Немало перспектив мы связываем и с эоценовым флишидсм, и миоценовыми молассами, где при прохождении структурной скважины у с. Еранос были получены притоки газа-углеводородов нефтяного ряда. Заслуживает внимания специальное изучение распределения органического вещества в осадках мисцена, проведенное Э.А. Кургинян. По этим данным, разрез скв. Еранос-1 отличается высоким содержанием C_{org} , превышающим кларки (субкларки), по Н.Е. Вассоевичу (1968).

Гистограммы распределения C_{org} показывают весьма различное содержание по типам пород. Максимум C_{org} фиксируется в глинах – мода лежит в пределах 1–1,5% на породу. Следует отметить, что максимальных значений C_{org} достигает в темноцветных, почти черных и темно-зеленовато-серых разновидностях глин (варьирует от 1,06 до 3,66% на породу); в серых разностях глин C_{org} варьирует от 0,52 до 1,25%. В алевролитах мода лежит в пределах 0,2–0,3%, песчаниках – 0,1–0,3% на породу.

Отмеченные количественные вариации C_{org} по типам пород соответствуют изменениям условий седиментации, т.е. количество C_{org} возрастает пропорционально увеличению роли глинистого компонента. Закономерность уменьшения количества ОВ в осадках по мере увеличения размера слагающих зерен, подтвержденная на обширном материале, соблюдается в целом данными по материалам Ераносской скважины.

Наиболее восстановленной частью органического вещества (ОВ) является хлороформенный битумоид ХБ, извлекаемый хлороформом, а

спиртобензольный битумоид (СБ) – наиболее кислый компонент ОВ.

Количество и качество растворимой части ОВ оценивалось по данным люминесцентных анализов, проводимых по методу В.И.Фроловской.

По разрезу скважины Еранос-І ХБ варьирует от 0,0001 до 1,25% на породу, СББ – 0,0001-1,87% на породу. Почти по всему разрезу скв. Еранос-І (до гл. 800 м) содержание СББ превышает ХБ, что свидетельствует о преобладании "кислых" компонентов ОВ над "нейтральными". Отношение СББ/ХБ больше единицы. Вниз по разрезу несколько возрастает значение ХБ, что можно объяснить некоторым возрастанием роли катагенных факторов, таких как температура и давление, действующих процессу нейтрализации битумов.

С целью выявления закономерной связи между содержанием C_{org} и ХБ, использован метод огив $x/$ и сопряженных с ними субогив, recommendedный Н.Б.Вассоевичем и Б.Я.Абремсоном (1964). Этот метод дает эффективный результат при наличии ограниченного количества данных, характеризующих однородную совокупность. Изучены 30 образцов по разрезу скв. Еранос-І, однотипных по лито-фаунильному облику – это темно-серые глинистые породы. Построены клеточные диаграммы – огибы для содержания C_{org} и, соответственно, субогивы для содержания ХБ и битумоидного коэффициента ($\beta = \frac{X_B}{C_{org}} \cdot 100\%$), характеризующего степень битуминизации ОВ, связанную однородной зависимостью с концентрацией C_{org} . Значения β варьируют от 0,03 до 40. С увеличением C_{org} в целом повышается и количество битумоида. Аномалии следует объяснить примесью аллохтонных (возможно параллехтонных) $xx/$ битумоидов.

Вышеизложенный метод огив-субогив позволил выделить в отложениях смешанный генетический тип битумоидов: синбитумоидов остаточных, потерявших наиболее легкую, способную к миграции часть – микронефть, и параллехтонных, перераспределенных внутри свиты. Преобладание СББ над ХБ также свидетельствует о смешанном генетическом типе битумоидов.

Количественное содержание C_{org} в породах находится в соот-

$x/$ Огива – ранжированный ряд значений какого-либо параметра для членов данной совокупности.

$xx/$ Эпигитумоиды или миграционные битумоиды подразделяются на параллехтонные – сингенетичные материнской породе, но вторичные по отношению к материнской породе и месту своего нахождения.

ветствии с лито-фацальными условиями седиментации (увеличивается по мере возрастания роли глинистого материала) и в прямой зависимости от количества битумоидов в породе, указывающей на сингенетичность C_{org} с вмещающими породами.

С уменьшением C_{org} доля сингенетичного ХБА в ОВ закономерно возрастает. Причиной повышения β при снижении C_{org} являются диагенетические потери ОВ, ведущие к остаточному накоплению стойких битуминозных компонентов.

Структурный и литологический контроль формирования залежей углеводородов для мелового-палеогенового и тем более - палеозойского разреза остается невыясненным. Необходимо проведение глубокой параметрической скважины в районе с. Еранос. Выбор места ее заложения определится после проведения сейсмических профилей вдоль берега и поперечных. Более очевидна структура моласс миоценна, слагающего ряд синклинальных и антиклинальных складок меридионального простирания (рис. 20). Оценивая общие перспективы всей площади бассейна озера, в качестве первоочередного следует выделить его юго-западную предгорную - равнинную часть (район с. Еранос).

Далее целесообразно рассмотреть вопрос о радиоляритах - сырье для производства стекла. Проблеме производства стекла в Республике охватывает и бытовое стекло, и техническое (стекловолокно и др.). В пределах Севанского хребта выявлены крупные запасы радиоляритов - высококремнистых пород с содержанием двуокиси кремния до 85-90% и низкоглиноzemистых - признаки, позволившие выдвинуть эти породы, как перспективный вид стекольного сырья. Лабораторные и полупромышленные опыты подтвердили их пригодность для получения бытового стекла, и, вероятно, стекловолокна. Запасы радиоляритов достигают нескольких млн. тонн и могут обеспечить сырьем стеклотарные и другие предприятия. Подробная характеристика состава и строения радиоляритов и некоторые данные их применения, как стекольное сырье, и как источник пигментов (особенно марганцевистые разности) приведены в работах Сатягна (1979, 1984, 1987). Необходимо проведение дальнейших геологических работ для подсчета запасов сырья и технологических характеристик сырья.

ЗАКЛЮЧЕНИЕ

Тектоническая позиция бассейна озера Севан в связи со структурами первого порядка — офиолитовыми швами, глубинными разломами в широком смысле, сближает его со структурной позицией крупнейших озерных водоемов складчатых областей — Байкала, в Передней Азии — оз. Ван и Туз, возможно и Урмия. Вопрос этот неоднократно привлекал внимание исследователей с геологических и геоморфологических позиций. Пожалуй, к особенностям структурной позиции бассейна озера можно отнести его размещение в зоне резкого сближения важнейших тектонических структур — к зоне их синтаксиса. При этом стала очевидной принадлежность бассейна к протяженной и крупнейшей в Передней Азии Эрзинджан-Севанская зона синтаксиса /II/.

В этом смысле история возникновения и развития озерной котловины, точнее — цепи котловин, не может быть рассмотрена, и особенно ее плиоцен-четвертичная история, без корреляции с сопредельными приразломными долинами рр. Памбак, Агстев и Дзкнагет на западе и Масрик и Акера — на юго-востоке. В целом эта полоса молодых депрессий, выполненных молассами, уже не раз привлекала внимание исследователей, как возможная протяженная зона рифтогенеза позднеорогенного этапа. Действительно, возникновение узких и резко просевших молассовых грабеновидных впадин не может не навести на подобные со-поставления. Конечно, в современной геологической структуре обнаруживаются лишь какие-то фрагменты этих рифтогенных структур, маскированных длительно продолжавшимся и, судя по современным данным, происходящим и на нынешнем этапе сжатием региона, размещенного, как известно, в Фронтальной полосе микроплит относительно главных, ограничительных. Действительно, общая юго-западная вергентность складчатых и разрывных структур дает основание для таких выводов. При этом различие геологии офиолитовых сутур и более жестких блоков западного обрамления, служащего своеобразным упором относительно пластических офиолитов, является предпосылкой начального формирования надвигов доорогенного северо-восточного обрамления сравнительно с орогенным поднятиями юга и запада озерного бассейна, также как для формирования сложной многопластинчатой структуры доколоценового основания осевой части dna котловины Б. Севана. В сочетании с антикавказскими структурами, преимущественно разрывными дислокациями, образуется чрезвычайно сложная мелкоблоковая структура всего бассейна озера и его котловины. При этом чаша Большого Сева-

на слагается молодым поднятием вдоль офиолитовой сутуры и сопряженными с этим поднятием асимметричными синклиналями, из коих северо-восточная, наиболее интенсивно дислоцированная, сочленяется с фронтальной частью близкорневых мелких покровов и надвигами Севанского хребта.

Предложенная схема гетерогенного тектонического строения бассейна озера, надо полагать, будет способствовать развитию принципов инженерно-геологического и сейсмотектонического картирования и выявлению зональности строения и сейсмичности региона. Уже ныне намечается принадлежность осевой части, наиболее сейсмоактивной, Б.Севана к Зангезурской шовной зоне^В широком смысле - от западных границ региона в басс.р.Ахурян до юго-восточных - в долине Аракса эта зона включает очаги Татевского и Спитакского землетрясений.

Озерная котловина - уникальный объект для изучения литологии и минералогии моласс внутригорных прогибов. Особенности литологии, минералогии и geoхимии на площади акватории, вызванные резкими различиями геологии западного и восточного обрамления, служат веским подтверждением своеобразия тектонической позиции всего бассейна в пределах гетерогенных структур разного генезиса, времени и глубины возникновения в обстановке зоны синтаксиса. В частности, три ассоциации пород накладывают особо сильный отпечаток на голоценовый озерный литогенез: субзвапоритовая молассовая толща среднего-позднего миоцена, офиолитовая ассоциация средней(?) -поздней юры-верхнего мела и наземно-вулканогенная андезитовая надформация позднего плиоцена-плейстоцена. Очевидно, огромное влияние первых двух на формирование содового состава вод, особенностей внутристойных растворов осадков и размещение ореолов C_6 , SO_4^{2-} , Mg . Андезитовая надформация предопределяет тип осадков, как питающая терригенная провинция западной и южной зон седиментации. Эта же надформация бронирует рудоносные магматические и вулканогенно-осадочные комплексы палеогена-миоцена, и их поиски по обнаруженным вторичным ореолам рассеивания могут дать положительные результаты на молибден и медь на юго-западном подножье Варденинского хребта.

Здесь важно обратить внимание на сложный механизм формирования вторичных ореолов рассеивания металлов из областей молодых лавовых покровов в результате не поверхностного, а подлавового стока, который затем восходящими ко дну озера по разломам и другим зонам повышенной пористости и трещиноватости водами запечатлевает формирующиеся аномалии химических элементов в осадках поздне-

го голоцена. Выявленные ореолы рассеивания молибдена, меди предполагают поиски их первичных, возможно, промышленных концентраций в подледовом рельфе юго-западного бассейна озера – на склонах и нижних отметках Варденисского нагорья. Первоочередное значение могут иметь геохимические методы поисков потоков рассеивания металлов.

К сожалению, датировка осадков котловины изотопными методами по ряду причин проведена не была, и в этом задача последующих исследований.

Бассейн озера включает значительные ресурсы полезных ископаемых, многие из которых – золото, шлаки и вулканические пески, магнезиты и листвениты, конгломераты и известняки нашли промышленное применение. Другие полезные ископаемые, в том числе нетрадиционные, заслуживают освоения: поделочные яшмы и ряд пород, пригодных для получения пигментов, стекольного сырья (радиоляриты и другие, 85).

Отметим необходимость совершествования сейсмического и инженерно-геологического районирования бассейна озера, учитывая нахождение его в зоне высокой сейсмичности и формирования оползней, активно проявившихся в историческое время.

Как видно, бассейн озера представляет уникальный по разнообразию геологического строения и возможностей геолого-экологической оценки объект, заслуживающий дальнейших специализированных исследований, значение которого для развития региона в целом все будет нарастать. Это главный водоем пресных вод, местонахождение разнообразных полезных ископаемых, а также уникальных рыбных богатств, плодородных сельскохозяйственных площадей и зон отдыха и туризма.

Л И Т Е Р А Т У Р А

1. Аօօվյան Ս.Բ. Магит-ультрамафитовые интрузивные комплексы оғиолитовых поясов Армянской ССР. Изд.АН АрмССР, Ереван, 1981, 306 с.
2. Аբրեմյան Ր.Ա. Олесенность Севанского бассейна в прошлом. Бюллетень ботанического сада АН АрмССР, № 7, 1949, с.17-26.
3. Авакян Լ.Ա., Դավթյան Ա.Բ. Озерные и озерно-речные отложения. В кн.: Геология СССР, т.ХVIII, Армянская ССР, Недра, М., 1970, с.203-209.
4. Аванесян Ա.Ը. К вопросу о присутствии неоком-альбских отложений на южном склоне Севанского хребта (Малый Кавказ). Вестник МГУ, № 6, 1975, с.92-94.
5. Акопян Վ.Ռ. Биостратиграфия верхнемеловых отложений Армянской ССР. Изд.АН АрмССР, Ереван, 1978, 287 с.
6. Акопян Շ.Ռ. Аномальное магнитное поле и его геологическое истолкование. В кн.: Геология АрмССР, т.Х, Изд.АН АрмССР, Ереван, 1972, с.84-124.
7. Арзумян Ս.Կ., Վեցուն Ա.Տ., Դավթյան Ա.Բ. Неогеновая система. В кн.: Геология СССР, т.ХVIII, АрмССР, Недра, М., 1970, с.165-202.
8. Арутюняն Գ.Ը., Սոկолов Ծ.Ծ. Новые данные по стратиграфии и тектонике северо-восточного побережья оз. Севан. Изв.АН СССР, сер.геол., № 12, 1973, с.83-87.
9. Асланян Ա.Տ. Проблема происхождения озера Севан в свете современных данных. Изв.АН АрмССР, Науки о Земле, т.32, № 3, 1979, с.3-10.
10. Асланян Ա.Տ., Սատиен Մ.Ա. Зангезурский оғиолитовый пояс Малого Кавказа. ДАН АрмССР, № 4, 1977, с.220-226.

- II. Асланян А.Т.,
Сатиан М.А.
Тектонические условия становления олиолитовых зон. Изд.АН АрмССР, Ереван, 1987, 157 с.
12. Афанасьев Г.Д.
Донные отложения озера Севан. В сб.: Бассейн оз. Севан (Гокча), т. II, в. 2. Изд. АН СССР, Л., 1933, с. 53-154.
13. Багдасарян А.Б.
Климат Армянской ССР. Изд. АН АрмССР, Ереван, 1958, 140 с.
14. Багдасарян Г.П.,
Карапетян К.И.,
Гукасян Р.Х.
О стратиграфическом положении и возрасте манычарских лав. Изв. АН АрмССР, Науки о Земле, № 3, 1973, с. 10-17.
15. Балян С.П.
Структурная геоморфология Армянского нагорья и окаймляющих областей. Изд. ЕГУ, Ереван, 1969, 390 с.
16. Балян С.П.,
Бошнагян П.С.
Палеогеографические и некоторые вопросы гидрографии бассейна озера Севан и Ван. В кн.: Вопросы геологии Кавказа. Изд. АН АрмССР, Ереван, 1964, с. 37-48.
17. Ван Зейст В.,
Боттман С.
Растительность и климат Западного Ирана и Восточной Турции в голоцене. Затруднения при датировании. В сб.: Вопросы геологии голоцена. Изд. АН АрмССР, Ереван, 1985, с. 28-38.
18. Ван Зейст В.,
Уолдинг Х.
Пыльцевая диаграмма палеоценовых отложений озера Ван в Восточной Анатолии. В сб.: Вопросы геологии голоцена. Изд. АН АрмССР, Ереван, 1985, с. 39-60.
19. Варданянц Л.А.
О происхождении озера Севан. Изд. АН АрмССР, Ереван, 1948, 28 с.
20. Варданян А.А.,
Кирьянов В.Ю.,
Нечеева Т.В.,
Салдян Ю.В.
Вековые вариации магнитного поля Земли по голоценовым отложениям озера Севан. В сб.: Вопросы геологии голоцена. Изд. АН АрмССР, Ереван, 1985, с. 68-80.

21. Вебер В.В. Изучение процесса битумообразования в современных осадках оз. Севан. В кн.: Результаты комплексного исследования Севанской проблемы, т.П. Изд. АН АрмССР, Ереван, 1962, 85-99.
22. Веденоль К.Х. Геохимический обзор распределения цинка. В кн.: Проблемы геохимии. Наука, М., 1965, с.201-210.
23. Волков Н.Г. Карта изодиаф терриории УССР и методика ее составления. Тр. II конф. молодых геологов Ин-та геол. наук, Киев, 1964^а.
24. Габриелян А.А. Севано-Зангезурский глубинный разлом и его геологическое значение. ДАН СССР, т.106, № 3, 1956, с.511-513.
25. Габриелян А.А. Палеоген и неоген Армянской ССР. Изд. АН АрмССР, Ереван, 1964, 299 с.
26. Габриелян А.А., Адамян А.И., Акопян В.Т. и др. Тектоническая карта и карта интрузивных формаций Армянской ССР. Пояснительная записка. Митк, Ереван, 1968.
27. Габриелян А.А., Думитрашко Н.В. История развития рельефа. В кн.: Геоморфология, т. I, Геология АрмССР, Изд. АН АрмССР, Ереван, 1962, с.483-514.
28. Галстян А.Р. Особенности миграции хрома в зоне гипергенеза. Автореф. на соиск. уч. степ. канд. геол.-мин. наук, ЕГУ, Ереван, 1964, 21 с.
29. Гасанов Т.А. Офиолиты Малого Кавказа. Недра, М., 1985, 239 с.
30. Горетовская И.В. Изучение глубинного строения Армении по близким землетрясениям, регистрируемым станциями "Земля". В сб.: Геофизические поля и сейсмичность. Недра, М., 1975, с.50-62.
31. Григорян Р.А. Естественные леса и природная дендрофлора Севанского бассейна. В сб.: Флора, раститель-

- тельность и лесоразведение Севанского бассейна. Изд.АН АрмССР, 1974, с.5-37.
32. Григорян Ф.А. Минералогический и химический состав почв и подстилающих пород бассейна озера Севан. Автореферат дисс. на соиск.уч.ст. канд.геол.-мин.наук. Ереван, 1968, 32 с.
33. Григорьев В.Н., Соколов С.Д. Позднесенонский вулканизм Гочасского синклиниория (Малый Кавказ). Изв.АН СССР, сер.геол., № 10, 1978, с.43-54.
34. Гричук В.П. К проблеме колебаний увлажненности бассейна Каспийского моря в позднем голоцене. В сб.: Колебания увлажненности Араво-Каспийского региона в голоцене. Наука, кн., 1980, с.61-70.
35. Долуханова Н.И. Опыт применения гидрохимической съемки на медно-молибденовых месторождениях Армянской ССР. Изд.АН АрмССР, Ереван, 1958, 180 с.
36. Дьяконова-Савельева Е.Н., Афанасьев Г.Д. Геологические исследования в окрестностях Нор-Баязета в 1930 году. В сб.: Бассейн озера Севан, т.Ш, вып.2. Изд.АН СССР, Ленинград, 1933, с.251-288.
37. Егоркина Г.Б., Соколова И.А., Егорова Л.М. Глубинное строение ультрабазитовых поясов Армении. Сов.геол., № 3, 1976, с.127-133.
38. Жамагорцян В.Я., Читчян А.И. Некоторые данные по донным отложениям подводной части озера Севан. В кн.: Результаты комплексного исследования Севанской проблемы, т.П. Изд.АН АрмССР, Ереван, 1962, с.60-76.
39. Жемойда А.И., Казинцова Л.И., Тихомирова Л.Б. Комплекс радиолюрий Малого Кавказа. Изв.АН СССР, сер.геол., 1976, № 2, с.156-160.

40. Закариадзе Г.С.,
Книппер А.А.,
Соболев А.В. и др.
Особенности структурного положения и
состава вулканических серий офиолитов
Малого Кавказа. В кн.: Океанический
магматизм - эволюция, геологическая кор-
реляция. Наука, М., 1986, с.218-241.
41. Казарян Г.А.,
Карапетян С.Г.,
Харзян Э.Х.
Андинит-липаритовая формация. В кн.:
Магматические и метаморфические форма-
ции Армянской ССР. Изд.АН АрмССР, Ере-
ван, 1981, с.206-210.
42. Карапетян К.И.
Шаровидные и ленточные обособления в
трахиалипаратитах Гегамского нагорья (Ар-
мянская ССР). Труды ИГЕМ АН СССР, вып.
90, 1963, с.12-23.
43. Карапетян К.И.
Гегамское нагорье и некоторые вопросы
новейшего вулканизма Армении. В кн.:
Вулканические и вулкано-плутонические
формации. Наука, 1966, с.254-259.
44. Карапетян К.И.
Верхнеплиоцен-четвертичные магматиче-
ские формации и вулканизм Армении. Изв.
АН АрмССР, Науки о Земле, 1969, № 3,
с.3-14.
45. Карапетян К.И.
Трахиандезитовая формация. В кн.: Маг-
матические и метаморфические формации
Армянской ССР. Изд.АН АрмССР, Ереван,
1981, с.211-215.
46. Карапетян К.И.
Андинито-базальтовая формация. В кн.:
Магматические и метаморфические форма-
ции Армянской ССР. Изд.АН АрмССР, Ере-
ван, 1981, с.233-237.
47. Карапетян К.И.,
Саруханян Л.Б.
Об акцессорных минералах трахиандезито-
вой формации Гегамского нагорья. В кн.:
Магматизм и оруденение Армянской ССР.
Изд.АН АрмССР, Ереван, 1974, с.69-80.
48. Карапетян С.Г.
Центры извержений плиоценовых кислых
пород Армении. В кн.: Вулканические и

вулкано-плутонические формации. М., Наука, 1966, с.271-278.

49. Карапетян С.Г. Особенности строения и состава новейших липаритовых вулканов Армянской ССР. Изд. АН АрмССР, Ереван, 1972, 196 с.
50. Карапетян С.Г. Липаритовая формация. В кн.: Магматические и метаморфические формации Армянской ССР. Изд.АН АрмССР, Ереван, 1981, с.222-226.
51. Каракаян А.С., Харазян Э.Х., Аветисян С.А. Хонарасар-Цхукская региональная зона активных сдвиговых дислокаций. Изв.АН Арм. ССР, Науки о Земле, № 4, 1989, с.45-49.
52. Киреев Н.А. Гидрографические работы на озере Севан. Мат.по иссл.оз.Севан и его бассейна. Часть У, Ленинград, 1933, 130 с.
53. Книппер А.Л. Океаническая кора в структуре Альпийской складчатой области. Наука, М., 1975, 208с.
54. Ломизе М.Г. Тектонические условия геосинклинального вулканизма. Недра, М., 1983, 194 с.
55. Лятти С.Я. Грунты озера Севан и его бассейна. Материалы по исследованию озера Севан и его бассейна, ч.IУ, вып.4, Тифлис, 1932, 42с.
56. Магакьян И.Г., Mkrtchyan C.C. Взаимосвязь структуры, магматизма и металлогении на примере Малого Кавказа. Изв.АН АрмССР, геол.-географ.науки, № 4, 1957, с.67-77.
57. Милановский Е.Е. Новые данные о строении неогеновых и четвертичных отложений бассейна оз.Севан (к вопросу о возрасте и происхождении так называемой "сарыквинской толщи"). Изв.АН СССР, сер.геолог., № 4, 1952, с.110-119.
58. Милановский Е.Е. История формирования Севанской впадины в свете представлений о неотектонике Ма-

лого Кавказа. Труды IV географ. конф. по изуч. Кавказа и Закавказья. Изд. АН АрмССР, Ереван, 1957, с. 120-140.

59. Милановский Е.Е. Новейшая тектоника Севанской впадины. Бюлл. Моск. об-ва испыт. природы, Отд. геологии, т. XXXV (5), 1980, с. 5-61.
60. Милановский Е.Е. Севанская котловина. В кн.: Геология Армянской ССР, т. I, Геоморфология. Изд. АН АрмССР, Ереван, 1962, с. 115-136.
61. Милановский Е.Е. Новейшая тектоника Кавказа. Недра, № 1, 1968, 483 с.
62. Мириджанян Р.Т. Тепловой поток через базит-гипербазитовый комплекс пород в районе южного побережья озера Севан. Изв. АН АрмССР, Науки о Земле, № 6, 1976, с. 86-89.
63. Митоян Р.А. Особенности распределения брома в породах некоторых позднетретичных бассейнов центральной Армении. Изв. АН АрмССР, Науки о Земле, № 1, 1982, с. 58-61.
64. Минеральные воды. Геология Армянской ССР, т. IX. Изд. АН АрмССР, Ереван, 1969, 523 с.
65. Мхитарян Р.Г., Сатиан М.А. Ассоциация глинистых минералов в донных осадках оз. Севан. В сб.: Вопросы геологии четвертичного периода Армении. Изд. АН АрмССР, Ереван, 1983, с. 60-66.
66. Мнацаканян А.О. Раскопки курганов на побережье озера Севан в 1956 году. Сов. археология, № 2, 1957, с. 146-151.
67. Мнацаканян А.О. Древние повозки из курганов бронзового века. Сов. археология, № 2, 1960, с. 146-153.
68. Мнацаканян А.О. Лчашенские курганы. Краткие сообщения Института археологии АН СССР, № 85, 1961, с. 73-83.

69. Мнацаканян А.О. Основные этапы развития материальной культуры Лчашена. Историко-филологический журнал АН АрмССР, № 2 (29), 1965, с.95-114.
70. Нейштадт М.И. К вопросу о некоторых понятиях и разделении голоценов. В сб.: Вопросы геологии голоцена. Изд.АН АрмССР, Ереван, 1985, с.20-27.
71. Никольский Ю.И., Сироткина Т.Н., Милай Т.А. Некоторые черты тектоники и истории геологического развития территории Армении по данным геофизики. В сб.: Методы радиоактивной геофизики, вып.12, Недра, Л., с.76-91, 1971.
72. Оганесян Ш.С. Гравитационное поле и его геологическое истолкование. В кн.: Геология Арм. ССР, т.Х, Изд.АН АрмССР, Ереван, 1972, с.49-83.
73. Оровецкий Ю.П., Егоркина Г.В. Глубинный магматический диапризм центральной Армении. Изв.АН АрмССР, Науки о Земле, 1983, № 5, с.41-46.
74. Осипова И.Б., Арменакан К.Х. О глубинном строении Среднеэраксинской впадины по данным аппаратуры "Черепаха". Изв.АН АрмССР, Науки о Земле, № 6, 1979, с.30-39.
75. Остроумова А.С. Базальт-тракитовая формация Малого Кавказа. В кн.: Щелочные вулканические формации Армянской ССР. Изд.АН АрмССР, Ереван, 1981, с.206-210.
76. Паффенгольц К.Н. Стратиграфия четвертичных лав Восточной Армении. Записки Рос.мин.общ-ва, ч. I , № 2, с.237-259.
77. Паффенгольц К.Н. Бассейн озера Гокча (Севан) (геологический очерк). Труды Всесоюз.геолразвед. общ. НКТП СССР, вып.219, Ленинград, 1934, 105 с.

78. Ренгартен В.П.
Региональная стратиграфия, т.6, Стратиграфия меловых отложений Малого Кавказа. Изд.АН СССР, М., 1959, 540 с.
79. Саркисян С.Г.
Петрографо-минералогические исследования бассейна озера Севан. Изд.АН АрмССР, Ереван, 1982, 154 с.
80. Сатиан М.А.
Степанян Ж.О.
Жемагорцян В.Н.
Открытие вулканических шлаков и пеплов среди донных осадков озера Севан. Изв. АН АрмССР, Науки о Земле, т.ХХI, № 3, 1968, с.62-71.
81. Саркисян Г.А.,
Ананян Э.В.,
Танашян М.В.
Караханян А.С.
О рудоконтролирующей роли Пембак-Саринского разлома (Севанский хребет). Изв. АН АрмССР, Науки о Земле, № 3, 1982, с.13-19.
82. Саркисян О.А.
Палеоген Севано-Ширакского синклиниория. Изд.Митк, Ереван, 1966, 177 с.
83. Сатиан М.А.
Позднемеловой литогенез офиолитовых зон Армянской ССР (Малый Кавказ). Изд.АН АрмССР, Ереван, 1979, 168 с.
84. Сатиан М.А.
Офиолитовые прогибы Мезотетиса. Изд.АН АрмССР, Ереван, 1984, 195 с.
85. Сатиан М.А.
Металлоносные силициты. В кн.: Кремнистые породы фанерозоя территории Армянской ССР. Изд.АН АрмССР, Ереван, 1987, с.95-114.
86. Сатиан М.А.
О геохимии донных осадков и геологическом строении акватории оз.Севан. Изв. АН Армении, Науки о Земле, № 2, 1990, с.3-15.
87. Сатиан М.А.,
Агемалян В.А.
К прогнозу подланового строения южной части Гегамского нагорья. Изв.АН АрмССР, Науки о Земле, 1969, № 2, с.96 - 104.

88. Сетиан М.А.,
Кирегян Э.А.,
Мкртчян Г.М.,
Мартirosian M.Y.
О распределении молибдена в отложениях
Большого Севана. Изв.АН АрмССР, геол.-
географ.науки, 1962, № 2, с.31-34.
89. Сетиан М.А.,
Яшвили Л.П.
О проявлении марганцевых руд в породах
кремнисто-вулканогенной формации Севанского
хребта. ДАН АрмССР, т.ХХII, № 2, 1976,
с.119-121.
90. Саядян Ю.В.
Человек и среда в послеледниковое время в
бассейне озера Севан и сопредельных областях.
В сб.: Вопросы геологии четвертичного
периода Армении. Изд.АН АрмССР, Ереван,
1982, с.67-74.
91. Саядян Ю.В.
Севан - природный "климатограф" голоцена.
В сб.: Вопросы геологии голоцена. Изд.АН
АрмССР, Ереван, 1985, с.61-67.
92. Саядян Ю.В.,
Алешинская З.В.
Первая радиоуглеродная датировка и условия
личашенских археологических памятников.
ДАН АрмССР, т.54, № I, 1972, с.43-50.
93. Саядян Ю.В.,
Алешинская З.В.,
Рябова Е.П.
Голоценовые отложения западного побережья
озера Севан. Изв.АН АрмССР, Науки о Земле,
№ 6, 1974, с.3-10.
94. Саядян Ю.В.,
Алешинская З.В.
Последелниковые отложения и археология по-
бережья озера Севан. В сб.: Геология чет-
вертичного периода. Изд.АН АрмССР, Ереван,
1977, с.71-109.
95. Страхов Н.М.,
Бродская Н.Г.,
Князева Л.М.
Образование осадков в современных водоемах.
Изд.АН СССР, Москва, 1954, 792 с.
96. Тахтаджян А.Л.
Ботанико-географический очерк Армении.
Труды Ботанического института АрмФАН,
т.П, 1941, 180 с.

97. Трифонов В.Г.,
Караканян А.С.,
Кожурин А.И.
Спитакское землетрясение как проявление
современной тектонической активности.
Геотектоника, № 6, 1990, с.46-50.
98. Федоров П.В.
Плейстоцен Понто-Каспия. Наука, М.,
1978, 166 с.
99. Ханзадян Э.В.
Культура Армянского нагорья в III тысячелетии до н.э. (на армянском языке). Изд. АН АрмССР, Ереван, 1967, 116 с.
100. Ханзадян Э.В.
Тарни IV, результаты раскопок 1949 –
1966 гг. (на армянском языке). Изд. АН АрмССР, Ереван, 1969, 116 с.
101. Хесин Б.Э.
Геофизическая характеристика тектономагматических зон Азербайджана. Геотектоника, № 6, 1968, с.61-69.
102. Шелковников А.Б.
Облесенность берегов оз. Севан в прошлом. В сб.: Бассейн озера Севан, т. I. Изд. АН СССР, Л., 1929, с.431-440.
103. Шихалибейли Э.Ш.
Геологическое строение и история тектонического развития восточной части Большого Кавказа. т. I, 2 и 3, Баку. Изд. АН АзербССР, 1964, 1966, 1967 (304 с., 263 с., 237 с.).

О Г Л А В Л Е Н И Е

Введение	5
Глава I. ГЕОЛОГИЧЕСКОЕ СТРОЕНИЕ И ОСАДКИ АКВАТОРИИ ОЗЕРА	
СЕВАН	7
I.1. О разрезе донных осадков оз. Севан (Сетиан М.А.)	7
I.2. Минеральный состав донных осадков (Степанян Ж.О., Сетиан М.А.)	10
I.3. Глинистые минералы донных осадков (Мхитарян Р.А., Сетиан М.А.)	14
I.4. Вулканические шлеки и пеплы (Сетиан М.А., Сте- панян Ж.О.)	18
I.5. Некоторые особенности геохимии донных осадков (Сетиан М.А., Мкртчян Г.М.)	22
I.5.1. О распределении Mo, Cu, Zn, Pb, Mn, Cr, Ni, Mg и некоторых других микроэлементов в донных осад- ках	22
I.6. Микрофаунистическое исследование донных осадков (Бубикян С.А.)	42
I.7. Геологическая интерпретация строения дна озера Севан по акустическим и гравиметрическим данным (Сетиан М.А.)	43
Глава 2. О ГЕОЛОГИЧЕСКОМ СТРОЕНИИ ПРЕДГОРНЫХ РАВНИН	52
2.1. Стратиграфия и литология моласс среднего (?) - позднего миоцена (Кургинян Э.Н., Бубикян С.А.)	52
2.2. Стратиграфия плиоценовых отложений (Бубикян С.А. Чубарян Г.А.)	65
2.3. Глинисто-кремнистые озерные и речные отложения плейстоцена долины р. Дэкнагет (Сетиан М.А.) ...	78
2.4. Стратиграфия голоценовых отложений (Саядян Ю.В.)	79
2.5. К вопросу о тектоническом строении предгорных равнин (Чубарян Г.А., Сетиан М.А.)	87
Глава 3. ГЕОЛОГИЧЕСКОЕ СТРОЕНИЕ ОБРАМЛЕНИЯ (Амарян В.М., Се- тиан М.А., Харязян Э.Х., Чубарян Г.А.)	94

3.1. Формации позднеплиоцен-четвертичных вулканогенных образований (Карапетян К.И.)	106
3.2. Геоморфология западной части бассейна озера Севан (Мурадян П.Л.)	112
3.3. Подлеворий рельеф и распределение глубинного водного стока Гегамского и Варденисского вулканических нагорий (по данным геофизических исследований) (Минесян Р.С.)	117
Глава 4. АКТИВНАЯ ТЕКТОНИКА И СЕЙСМИЧНОСТЬ (Караханян А.С., Баласанян В.С.)	123
4.1. О палеосейсмической активности в акватории озера Севан (Сетиан М.А.)	128
Глава 5. ИСТОРИЯ ГЕОЛОГИЧЕСКОГО РАЗВИТИЯ БАССЕЙНА ОЗЕРА СЕВАН (Сетиан М.А., Чубарян Г.А.)	132
5.1. Доплиоценовая история геологического развития	132
5.2. История геологического развития бассейна озера Севан в плиоцене-плейстоцене	144
5.3. История геологического развития озера Севан в голоцене	148
5.3.1. О климате голоцена (Саядян Ю.В.)	153
Глава 6. О ПОЛЕЗНЫХ ИСКОПАЕМЫХ БАССЕЙНА ОЗЕРА СЕВАН (Кургян Э.Н., Сетиан М.А., Чилингярян Г.В.)	162
ЗАКЛЮЧЕНИЕ (Сетиан М.А.)	166
Литература	169

Бюллетень химико-технологической информации № 151
от 22.03.1985 г. (А.В. Ашотов), издаваемый
Государственным научно-исследовательским институтом
автомобильных и тракторных масел и смазок
имени академика С.И. Пантелеймона (ГИИАТМ) на базе
Государственного научно-исследовательского института
автомобильных и тракторных масел и смазок им. академика
С.И. Пантелеймона Министерства промышленности и
науки СССР (ГИИАТМ). ГИИАТМ входит в состав
Государственного научно-исследовательского института
автомобильных и тракторных масел и смазок им. академика
С.И. Пантелеймона (ГИИАТМ), расположенного в г. Ереване.
ГИИАТМ является центром научно-исследовательской и
технической работы по проблемам разработки и внедрения
новых технологий и методов производства автомобильных
и тракторных масел и смазок, а также по изучению
и применению новых технологий и методов производства
автомобильных и тракторных масел и смазок. ГИИАТМ
является центром научно-исследовательской работы по
разработке и внедрению новых технологий и методов
производства автомобильных и тракторных масел и смазок.
ГИИАТМ является центром научно-исследовательской работы по
разработке и внедрению новых технологий и методов
производства автомобильных и тракторных масел и смазок.
ГИИАТМ является центром научно-исследовательской работы по
разработке и внедрению новых технологий и методов
производства автомобильных и тракторных масел и смазок.

Заказ 15

Тираж 100

Отпечатано на ротапринтном участке Центра научной информаций
по общественным наукам НАН РА.

Адрес: Ереван-1, ул. Абовяна, 15.

5307